

หุ่นยนต์แขนกลแพดอัตโนมัติ

TWIN ROBOT ARM

นายจิรภัทร จันทร์ทอง รหัส 53362532
นายณัฐพล ดีเกตุ รหัส 53362686
นายปริญญา เบตสนา รหัส 53362860

ที่อยู่บ้านเลขที่ บริเวณ	บ้านที่ 19, หมู่ 57
แขวง	แขวงทรายบิน
เขต	เขตบึงกุ่ม
โทรศัพท์บ้าน	16563842
โทรศัพท์มือถือ	110
บ้านเลขที่บ้าน	บ้านเลขที่ 521 ชั้นที่ 7

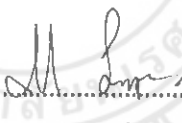
ปริญญานิพนธ์นี้เป็นส่วนหนึ่งของการศึกษาหลักสูตรปริญญาวิศวกรรมศาสตรบัณฑิต
สาขาวิชาวิศวกรรมไฟฟ้า ภาควิชาวิศวกรรมไฟฟ้าและคอมพิวเตอร์
คณะวิศวกรรมศาสตร์ มหาวิทยาลัยแม่ฟ้า
ปีการศึกษา 2556

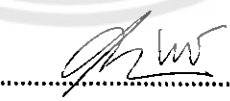


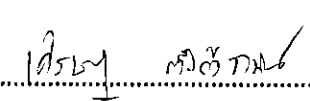
ใบรับรองปริญญาบัณฑิต

ชื่อหัวข้อโครงการ	แผนกผลผลิตโน้มถี่	
ผู้ดำเนินโครงการ	นายจิรภัทร จันทร์ทอง รหัส 53362532	
	นายณัฐพงษ์ ดีเกตุ รหัส 53362686	
	นายปริญญา เบตสนา รหัส 53362860	
ที่ปรึกษาโครงการ	ดร.มุชิตา สงวนจันทร์	
สาขาวิชา	วิศวกรรมไฟฟ้า	
ภาควิชา	วิศวกรรมไฟฟ้าและคอมพิวเตอร์	
ปีการศึกษา	2556	

คณะกรรมการศาสตร์ มหาวิทยาลัยนเรศวร อนุมัติให้ปริญญาบัณฑิตบันทึกเป็นส่วนหนึ่งของการศึกษาตามหลักสูตรวิศวกรรมศาสตรบัณฑิต สาขาวิชาชีวกรรมไฟฟ้า


ที่ปรึกษาโครงการ
(ดร.มุชิตา สงวนจันทร์)


กรรมการ
(ผู้ช่วยศาสตราจารย์ ดร.สุวรรณ พลพิทักษ์ชัย)


กรรมการ
(อาจารย์เสริมสุชา ตั้งคำวานิช)

ชื่อหัวข้อโครงการ	หุ่นยนต์แขนกลแฟดอัต โนมติ		
ผู้ดำเนินโครงการ	นายจิรภัทร จันทร์ทอง	รหัส 53362532	
	นายณัฐพล ดีเกดุ	รหัส 53362686	
	นายปริญญา เอกสนาน	รหัส 53362860	
ที่ปรึกษาโครงการ	ดร.มุติชา สงวนนนทร์		
สาขาวิชา	วิศวกรรมไฟฟ้า		
ภาควิชา	วิศวกรรมไฟฟ้าและคอมพิวเตอร์		
ปีการศึกษา	2556		

บทคัดย่อ

ปริญนานิพนธ์ฉบับนี้เกี่ยวกับการสร้างหุ่นยนต์แขนกลที่มี 5 ข้อต่อความคุณผ่านในโครงคอนโทรลเลอร์ให้สามารถหยนต์ขึ้นและวางสิ่งของได้ หุ่นยนต์แขนกลนี้สามารถเคลื่อนที่ได้โดยใช้มอเตอร์กระแสตรงผ่านการควบคุมคำแนะนำของแต่ละข้อต่อ โดยใช้ทัวร์นาล์หัส เพื่อทำให้ข้อต่อเคลื่อนที่ไปยังตำแหน่งที่ต้องการ ได้ กระบวนการการทำงานของระบบหุ่นยนต์แขนกลแฟดอัตนี้จะมีการใช้หุ่นยนต์แขนกลที่เหมือนกันสองตัวในการหยนต์ขึ้นสิ่งของที่เคลื่อนที่บนรางเลื่อนสายพาน ตัวหนึ่งจะตึงอยู่ตอนต้นของรางเลื่อนสายพานเพื่อทำการหยนต์สิ่งของไปวางไว้บนสายพาน อีกตัวหนึ่งจะตึงอยู่ที่ตอนปลายของรางเลื่อนสายพานเพื่อทำการหยนต์สิ่งของออกจากสายพาน จากการทดลองการทำงานของระบบนี้แสดงให้เห็นว่าหุ่นยนต์แขนกลสามารถหยนต์ขึ้นและวางวัสดุได้ตรงตามเป้าหมายที่ตั้งของวัตถุนั้น

Project title	Twin Robot Arm		
Name	Mr. Jiraphat Janthong	ID. 53362532	
	Mr. Nuttapon Deegade	ID. 53362686	
	Mr. Parinya Khetsanan	ID. 53362860	
Project advisor	Miss Mutita Songjun, Ph.D.		
Major	Electrical Engineering		
Department	Electrical and Computer Engineering		
Academic year	2012		

Abstract

This project is about to construct the two identical robot arm which have **five links controlled by microcontroller**. These robots can pick and place the object on the conveyor. The **robot arm can move by using the dc motor at each link**. The position of the link can be controlled by encoder to move the link to the desired position correctly. The operation of the system is: one robot arm is at the beginning of the conveyor to place the object on the conveyor and the other robot arm is at the end of the conveyor to pick the object from the conveyor. The experiments show that the twin robot arm system can pick and place the object at the desired position correctly.

กิตติกรรมประกาศ

คณะผู้จัดทำต้องขอขอบพระคุณอาจารย์ที่ปรึกษาคือ ดร.นฤทธิา สงวนจันทร์ เป็นอย่างสูง สำหรับคำแนะนำและการให้คำปรึกษาที่เป็นประโยชน์ต่อโครงการ รวมถึงกำลังใจที่มีให้ตลอดการทำงานจึงทำให้โครงการนี้สำเร็จลุล่วงไปได้ตามเป้าประสงค์ และขอขอบพระคุณอาจารย์ศรียรูป ตั้งก้าวานิชที่ช่วยสละเวลาในการให้คำปรึกษาที่เป็นประโยชน์อย่างยิ่งในการทำโครงการ และขอขอบพระคุณผู้ช่วยศาสตราจารย์ ดร.สุภาวรรณ พลพิทักษ์ชัย ที่ให้เกียรติสละเวลามาเป็นกรรมการและช่วยตรวจสอบรูปเล่มปริญญาในพิพิธภัณฑ์ คณะผู้จัดทำขอขอบพระคุณทั้งสามท่านเป็นอย่างสูง

นอกจากนี้ทางคณะผู้จัดทำต้องขอคุณภาควิชาไว้วางใจ ไฟฟ้าและคอมพิวเตอร์ที่เป็นสถานที่ประสานงานที่สะดวกความรู้ และให้มีอุปกรณ์และเครื่องมือที่ใช้ในการทำโครงการ ทำให้โครงการสำเร็จลุล่วงไปได้ด้วยดี

และสุดท้ายต้องขอขอบพระคุณคุณพ่อคุณแม่และคนในครอบครัวทุกคนที่เคยให้กำลังใจ คอยผลักดันให้ก้าวเดินอย่างมั่นคงเสมอมา จนทุกอย่างสำเร็จลุล่วงมาได้จนถึงวันนี้ ต้องขอขอบพระคุณทุกท่านเป็นอย่างสูงด้วยใจ

นายธิรภัทร จันทร์ทอง
นายณัฐพล ดีเกตุ
นายปริญญา เขตสนาน

สารบัญ

	หน้า
ใบรับรองบริษัทภายนอก	ก
บทคัดย่อภาษาไทย	ข
บทคัดย่อภาษาอังกฤษ	ค
กิตติกรรมประกาศ	ง
สารบัญ	จ
สารบัญตาราง	ฉ
สารบัญรูป	ฉ
บทที่ 1 บทนำ	1
1.1 ที่มาและความสำคัญของโครงการ	1
1.2 วัตถุประสงค์ของโครงการ	2
1.3 ขอบเขตของโครงการ	2
1.4 ขั้นตอนและแผนการดำเนินงาน	2
1.5 แผนปฏิบัติงานตลอดโครงการ	3
1.6 งบประมาณที่ใช้	3
บทที่ 2 ทฤษฎีและหลักการที่เกี่ยวข้อง	4
2.1 โครงสร้างทางภาษาพของหุ่นยนต์เบนกอล	4
2.2 รูปแบบและลักษณะการทำงานของหุ่นยนต์เบนกอล	7
2.2.1 การแบ่งประเภทของหุ่นยนต์เบนกอล	7
2.2.2 หลักการทำงานของหุ่นยนต์เบนกอล	10
2.3 ระบบควบคุมในโครคอนโทรลเลอร์	15
2.3.1 คุณสมบัติของบอร์ดในโครคอนโทรลเลอร์	16
2.4 มอเตอร์ไฟฟ้ากระแสตรงและการควบคุม	17
2.4.1 การทำงานของมอเตอร์ไฟฟ้ากระแสตรง	17
2.4.2 การควบคุมทิศทางการเคลื่อนที่ของมอเตอร์ไฟฟ้ากระแสตรง	18
2.4.3 การควบคุมความเร็วของมอเตอร์ไฟฟ้ากระแสตรง	19
2.4.4 การควบคุมตำแหน่งของมอเตอร์ไฟฟ้ากระแสตรง	21

สารบัญ (ต่อ)

บทที่ 3 การออกแบบและการสร้างหุ่นยนต์แขนกลอัตโนมัติ.....	24
3.1 การออกแบบและการสร้างหุ่นยนต์แขนกลอัตโนมัติ	25
3.2 วงจรที่ใช้ในหุ่นยนต์แขนกลอัตโนมัติ.....	28
3.2.1 วงจรส่วนจ่ายไฟ	28
3.2.2 วงจรส่วนขับเคลื่อนมอเตอร์	29
3.2.3 ระบบควบคุมแบบป้อนกลับ.....	30
3.2.4 วงรรมัติเพล็กซ์.....	30
3.3 ขั้นตอนการทำงานของหุ่นยนต์แขนกล.....	31
3.3.1 การทำงานของหุ่นยนต์แขนกลอัตโนมัติตัวที่ 1	31
3.3.2 การทำงานของหุ่นยนต์แขนกลอัตโนมัติตัวที่ 2	32
บทที่ 4 ผลการดำเนินโครงการ	34
4.1 กระบวนการการทำงานของหุ่นยนต์แขนกลอัตโนมัติ	34
4.2 ผลการทดลองการทำงานของหุ่นยนต์แขนกลอัตโนมัติ	35
4.2.1 การทดลองความแม่นยำในการหมุนของมอเตอร์ในแนวระนาบ.....	35
4.2.2 การทดลองความสามารถของมือจับหุ่นยนต์	37
4.2.3 การทดลองความแม่นยำในการเคลื่อนย้ายวัสดุจากแนวระดับหนึ่งไป ยังอีกแนวระดับหนึ่ง.....	39
4.2.4 การทดลองความแม่นยำในการจับสิ่งของบนสายพานลำเลียง โดย แขนกลสองตัว.....	41
บทที่ 5 สรุปผลและข้อเสนอแนะ	43
5.1 สรุปผลการทดลองการทำงานของหุ่นยนต์แขนกลอัตโนมัติ.....	43
5.2 ปัญหาและข้อเสนอแนะ	43
5.2.1 ปัญหาที่พบจากการทำโครงการ	43
5.2.2 ข้อเสนอแนะ	44
5.2.3 การพัฒนาต่อ	45
เอกสารอ้างอิง.....	46

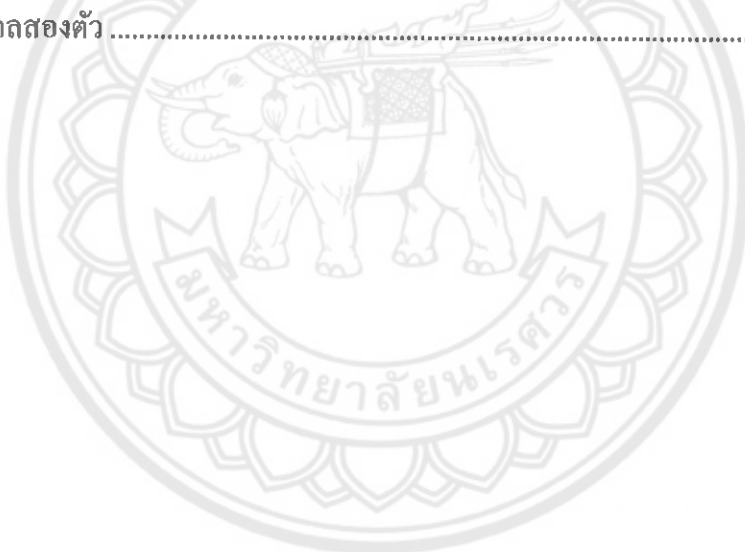
สารบัญ (ต่อ)

ภาคผนวก ก รายละเอียดของวงจรรวมเบอร์ L298.....	47
ภาคผนวก ข รายละเอียดของเซ็นเซอร์ก้านปู	54
ภาคผนวก ค รายละเอียดของวงจรรวมเบอร์ CD4051-3B.....	60
ภาคผนวก ง รายละเอียดของไมโคร โปรเซสเซอร์ รุ่น AT89C51AC3	65
ประวัติผู้ดำเนินโครงการ.....	71



สารบัญตาราง

ตารางที่	หน้า
1.1 แผนปฏิบัติงาน	3
2.1 หลักการทำงานของข้อต่อแบบหมุนແບນເຄື່ອນ	7
2.2 ຕອງການຄວາມຄຸມທີ່ພາການມອເຫດຮັກໄຟຟ້າກະແສຕຮງ	18
4.1 ພັດທະນາທົດລອງຄວາມແມ່ນຍຳໃນກາຮ່ານຂອງສຽງໜຸ່ນຍິນຕີໃນແນວວະນານ	36
4.2 ພັດທະນາທົດລອງຄວາມແມ່ນຍຳໃນກາຮ່ານຂອງແບນທ່ອນບນໃນແນວວະດັບ	36
4.3 ພັດທະນາທົດລອງຄວາມແມ່ນຍຳໃນກາຮ່ານຂອງແບນທ່ອນດ່າງໃນແນວວະດັບ	37
4.4 ພັດທະນາທົດລອງການຈັບສິ່ງຂອງຂອງນີ້ອີຈັບໜຸ່ນຍິນຕີ	38
4.5 ພັດທະນາທົດລອງການເຄື່ອນຫຼາຍວັດຖຸຈາກແນວວະດັບໜຶ່ງໄປຢັ້ງແນວວະດັບໜຶ່ງ	40
4.6 ພັດທະນາທົດລອງຄວາມແມ່ນຍຳໃນການຈັບສິ່ງຂອງບນສາຍພານແລະເວລາໃນກາຮ່ານຂອງ ແບນກລສອງຕົວ	41



สารบัญรูป

รูปที่	หน้า
2.1 การทำงานของหุ่นยนต์แขนกล	4
2.2 ส่วนต่างๆของหุ่นยนต์แขนกลเปรียบเทียบกับมนุษย์	5
2.3 รูปแบบของข้อต่อแบบต่างๆ	5
2.4 (ก) แขนกลสองข้อต่อ (ข) แขนกลสามข้อต่อ (ค) พูม่า 560 (PUMA 560) ที่ปลาย แขนตัวแทนและทิศทางเดิบากัน.....	6
2.5 (ก) รูปแบบของหุ่นยนต์แบบคาร์ทีเซียน (ข) พื้นที่การทำงานของหุ่นยนต์แบบคาร์ทีเซียน และการประยุกต์ใช้งานของหุ่นยนต์ประเภทนี้	8
2.6 (ก) รูปแบบของหุ่นยนต์แบบทรงกระบอก (ข) พื้นที่การทำงานของหุ่นยนต์แบบทรง กระบอก	8
2.7 (ก) รูปแบบของหุ่นยนต์แบบทรงกลม (ข) พื้นที่การทำงานของหุ่นยนต์แบบทรงกลม	9
2.8 (ก) รูปแบบของหุ่นยนต์สการ่า (ข) พื้นที่การทำงานของหุ่นยนต์สการ่า	9
2.9 (ก) รูปแบบของหุ่นยนต์แบบแขนข้อต่อ (ข) พื้นที่การทำงานของหุ่นยนต์แขนข้อต่อ	10
2.10 โครงสร้างพื้นฐานของระบบควบคุม	12
2.11 แผนผังของระบบควบคุมแบบป้อนกลับ	13
2.12 ระบบควบคุมแบบป้อนกลับที่ใช้ในการหมุนmotorไปยังตำแหน่งที่ผู้ควบคุมกำหนด	13
2.13 (ก) สัญญาณอินพุต R(t) (ข) เปลี่ยนค่าจากศูนย์ไปเป็น R ในทันทีทันใด (ค) ค่าสัญญาณ เอาท์พุต	14
2.14 แผนผังของระบบควบคุมแบบป้อนกลับ	15
2.15 วงจรเอชบริดจ์ (H-Bridge)	18
2.16 วงจรควบคุมความเร็วของมอเตอร์กระแสตรงแบบใช้ตัวด้านบนอนุกรม	19
2.17 กราฟแสดงคุณสมบัติของวงจรควบคุมความเร็วของมอเตอร์กระแสตรงแบบใช้ ตัวด้านบนอนุกรม	19
2.18 กราฟแสดงคุณสมบัติของวงจรควบคุมความเร็วของมอเตอร์กระแสตรงคัวบิวช เปลี่ยนค่าแรงดัน	20
2.19 สัญญาณการมอคุลเดชันความกว้างของสัญญาณพัลส์ซึ่งแสดงค่าความตื้นเชิงที่ต่างๆกัน	21
2.20 ตัวเข้ารหัสแบบหมุน (Rotary Encoder)	21
2.21 การสร้างสัญญาณพัลส์ของตัวเข้ารหัสแบบหมุน	22
2.22 พัลส์ของตัวเข้ารหัสแบบหมุนแบบสองเฟส	22

สารบัญรูป(ต่อ)

2.23 การตรวจเช็คสัญญาณพัลส์ของตัวเข้ารหัสแบบหมุน.....	23
2.24 ลักษณะสัญญาณพัลส์ของตัวเข้ารหัสแบบหมุนทั้งสองเฟส	23
3.1 แผนภาพแสดงการทำงานรวมของระบบ	24
3.2 ภาพแสดงการทำงานของหุ่นยนต์แขนกลบนสายพานลำเลียง	25
3.3 รูปแบบและขนาดของส่วนฐานของหุ่นยนต์แขนกล	25
3.4 รูปแบบและขนาดส่วนเอวของหุ่นยนต์แขนกล	26
3.5 รูปแบบและขนาดส่วนแขนท่อนบนของหุ่นยนต์แขนกล	26
3.6 รูปแบบและขนาดส่วนแขนท่อนล่างของหุ่นยนต์แขนกล.....	27
3.7 รูปแบบตัววนมือจับของหุ่นยนต์แขนกล	27
3.8 รูปแบบของหุ่นยนต์แขนกล	28
3.9 วงจรภาคจ่ายไฟ	29
3.10 วงจรขึ้นลงเตอร์โดยวงจรรวมเบอร์ L298.....	29
3.11 ระบบควบคุมแบบข้อมูลขั้นตอนกลับของตัวคอนโทรลเลอร์	30
3.12 วงจรภายในของวงจรรวมเบอร์ CD4051BE	31
3.13 แผนภาพแสดงกระบวนการทำงานของหุ่นยนต์แขนกลอัตโนมัติตัวที่ 1	32
3.14 แผนภาพแสดงกระบวนการทำงานของหุ่นยนต์แขนกลอัตโนมัติตัวที่ 2	33
4.1 ลักษณะตำแหน่งเริ่มต้นการทำงานของหุ่นยนต์แขนกลอัตโนมัติ	34
4.2 ลักษณะการหมุนในแนวระนาบ	35
4.3 การทดลองจับสิ่งของมือจับ	38
4.4 การทำงานของหุ่นยนต์ในการจับสิ่งของต่างระดับ	39
4.5 การทำงานของหุ่นยนต์ในการวางสิ่งของต่างระดับ	40
4.6 การทำงานของหุ่นยนต์ในการจับสิ่งของบนสายพานลำเลียงวางและถึงของบนสายพาน	41

บทที่ 1

บทนำ

1.1 ที่มาและความสำเร็จของโครงการ

ในปัจจุบันการคิดค้นวิจัยในเรื่องการทำท่าหุ่นยนต์เครื่องจักรกลที่สามารถนำมาใช้งานแทนมนุษย์ ในด้านต่าง ๆ นั้นเริ่มนิยมการค้นคว้าและวิจัยกันอย่างแพร่หลายและกว้างขวางมากขึ้น ทั้งด้าน ความสามารถ รูปร่างที่มีขนาดเล็กลง ลดอุปนิสัยในการทำงาน โดยขอบเขตการ ทำงานเหล่านี้จะขึ้นอยู่กับประเภทและลักษณะการทำงาน โดยมนุษย์เป็นผู้กำหนดขอบเขตขึ้นมา ดังนั้น จึงมีการพัฒนาขึ้นความสามารถของหุ่นยนต์ให้มีประสิทธิภาพในการทำงานสูงขึ้น ด้วยเหตุนี้หุ่นยนต์จึง มีบทบาทสำคัญในการอุตสาหกรรมมากไม่ว่าจะอุตสาหกรรมขนาดใหญ่ ขนาดเล็กหรือแม้กระทั่ง ในบ้านเรือนก็ตาม เนื่องจากหุ่นยนต์มีประสิทธิภาพในการทำงานสูงแม่นยำในการทำงานทำให้เกิด ความผิดพลาดและความสูญเสียของชิ้นงานน้อยลง และในบางลักษณะงานมีอันตรายความเสี่ยงสูงที่ เกินขีดจำกัดการทำงานของมนุษย์ อาทิ เช่น พื้นที่ที่มีอุณหภูมิสูง ข้อจำกัดของพื้นที่ในการทำงานที่ มนุษย์ไม่สามารถเข้าไปปฏิบัติงานได้ การทำงานที่เกี่ยวข้องกับสารเคมีที่เป็นอันตรายต่อมนุษย์ ทั้งนี้ รวมไปถึงลักษณะการทำงานที่บานปลายและต่อเนื่องที่มนุษย์ไม่สามารถจะปฏิบัติงานนั้นได้ นอกจากนี้ หุ่นยนต์ยังเข้ามามีบทบาทในงานด้านการแพทย์โดยได้นำหุ่นยนต์แขนกลเข้ามายิ่งร่วมในการช่วย ในการผ่าตัดคน ไขเนื้องจากหุ่นยนต์นั้นมีความสามารถในการทำงานที่มีความละเอียดสูง โดยปัจจัย หลักของการนำหุ่นยนต์มาใช้งานแทนมนุษย์ก็คือการทำงานที่มีความเสี่ยงสูงต้องการความแม่นยำ รวดเร็ว อย่างไรก็ตามขีดจำกัดของหุ่นยนต์เมื่อเทียบกับมนุษย์แล้วนั้นบางครั้งหุ่นยนต์ก็ไม่สามารถทำ แทนมนุษย์ได้ โดยเฉพาะเรื่องไหวพริบปฏิภาณในการตัดสินรวมถึงหลักมนุษยธรรมซึ่งหุ่นยนต์ไม่มีกล ไกคุณคิดในด้านนี้ แต่อย่างไรก็ตามเทคโนโลยีด้านหุ่นยนต์ยังคงมีการพัฒนาความสามารถและ ขีดจำกัดของหุ่นยนต์ให้เพิ่มมากขึ้นสามารถเป็นส่วนหนึ่งแทนมนุษย์ในการตัดสินใจและการทำงานได อย่างมีประสิทธิภาพ

គំនួយទាំងនេះត្រូវបានរៀបចំឡើងដើម្បីធ្វើការស្នើសុំការងារទាំងអស់នៅក្នុងប្រព័ន្ធដែលបានរៀបចំឡើង។

1.2 วัตถุประสงค์ของโครงการ

ออกแบบและสร้างแขนกลอัตโนมัติโดยสามารถหยับวัตถุที่สีไม้ได้ตามฐานอกรากสายพาน สำเร็จ

1.3 ขอบเขตของโครงการ

1. สร้างต้นแบบของแขนกลอัตโนมัติ
2. เขียนโปรแกรมควบคุมแขนกลให้เคลื่อนไหวในทิศทางที่ต้องการ โดยโปรแกรมภาษาซี
3. แขนกลจะทำงานโดยการใช้มอเตอร์กระแสตรงเป็นดันคำลังในการขับเคลื่อน
4. ให้แขนกลทำงานโดยสามารถหยับขึ้นลงที่เลื่อนบนสายพานไปทางไว้อีกด้วยแขน โปรแกรมที่วางไว้ได้ถูกต้องและแม่นยำ
5. ทุนบนต์สามารถจับวัตถุทรงลูกบาศก์ขนาด $7 \times 7 \times 7$ ลูกบาศก์เซนติเมตร
6. ทุนบนต์สามารถจับวัตถุที่มีน้ำหนักไม่เกิน 500 กรัม
7. ทุนบนต์สามารถจับสิ่งของได้ที่ละ 1 ชิ้น
8. มือจับต้องรองรับวัตถุทุกรูปทรง

1.4 ขั้นตอนและแผนการดำเนินงาน

1. ศึกษาทฤษฎีของระบบควบคุมไมโครคอนโทรลเลอร์และการประยุกต์ใช้งาน
2. ศึกษาทฤษฎีของมอเตอร์กระแสตรง วงจรควบคุมมอเตอร์กระแสตรง และวงจรอินฟอร์เพส
3. ศึกษาฐานะของโครงสร้างทางกลของหุ่นยนต์แขนกลอัตโนมัติ
4. ออกแบบและสร้างแบบละเอียดของหุ่นยนต์แขนกลอัตโนมัติ และจำลองการเคลื่อนไหวของหุ่นยนต์แขนกลอัตโนมัติ
5. สร้างต้นแบบหุ่นยนต์แขนกลอัตโนมัติ
6. เขียนโปรแกรมควบคุมการเคลื่อนไหวของหุ่นยนต์แขนกลอัตโนมัติ
7. ทดสอบหุ่นยนต์แขนกลอัตโนมัติ และปรับปรุงแก้ไขข้อผิดพลาดของการเคลื่อนไหวจากโปรแกรม
8. สรุปผลและจัดทำรายงาน

1.5 แผนปฏิบัติงานตลอดโครงการ

โครงการสร้างแบบทุ่นยนต์อัตโนมัติ มีแผนปฏิบัติงานดังตารางที่ 1.1

ตารางที่ 1.1 แผนปฏิบัติงาน

การปฏิบัติงาน	เดือน									
	เม.ย.	พ.ค.	มิ.ย.	ก.ค.	ส.ค.	ก.ย.	ต.ค.	พ.ย.	ธ.ค.	ม.ค.
1.ออกแบบและสร้างแขนหุ่นยนต์										
2.ศึกษาวงจรอินเตอร์เฟสและทฤษฎีของมอเตอร์กระแสตรง				↔						
3.ศึกษาทฤษฎีพื้นฐานไมโครคอนโทรลเลอร์					↔					
4.เขียนโปรแกรมเพื่อควบคุมแขนหุ่นยนต์						↔				
5.ทดสอบแขนหุ่นยนต์ในการจับชิ้นงาน							↔			
6.สรุปผลการทำงาน จัดรูปเล่มโครงการ									↔	

1.6 งบประมาณที่ใช้

รายละเอียดงบประมาณที่ของโครงการมีดังนี้

1. วัสดุไฟฟ้าและคอมพิวเตอร์	5,000	บาท
2. วัสดุสำหรับทำโครงสร้างหุ่นยนต์	4,000	บาท
3. จัดทำเล่มเบรนช์ลีน (เก้าพันแปดครึ่อยบาทถ้วน)	800	บาท
รวมเป็นเงินทั้งสิ้น (เก้าพันแปดครึ่อยบาทถ้วน)	<u>9,800</u>	บาท
หมายเหตุ: ถ้าจะดีทุกรายการ		

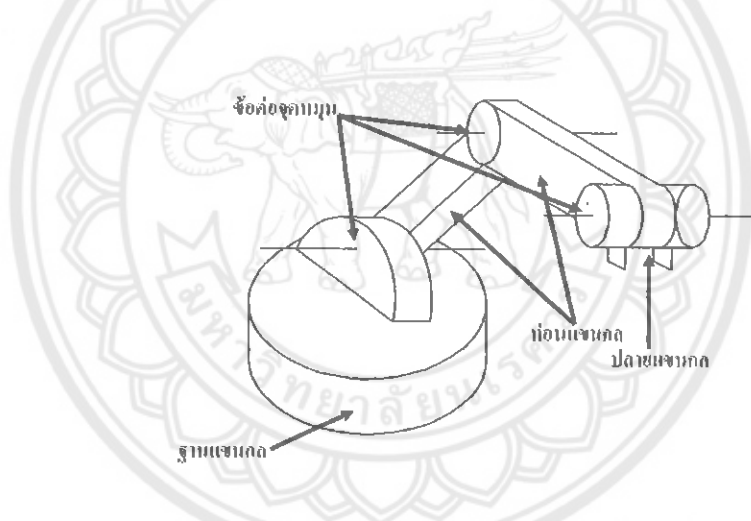
บทที่ 2

ทฤษฎีและหลักการที่เกี่ยวข้อง

ในบทนี้จะรวมหลักการและทฤษฎีขององค์ประกอบต่างๆที่มีความจำเป็นต่อการทำงานของหุ่นยนต์แขนกล ซึ่งในแต่ละองค์ประกอบนั้นจะทำงานโดยมีความสัมพันธ์ซึ่งกันและกันได้แก่ ส่วนโครงสร้างหุ่นยนต์ ระบบขับเคลื่อนหุ่นยนต์ และระบบควบคุมหุ่นยนต์

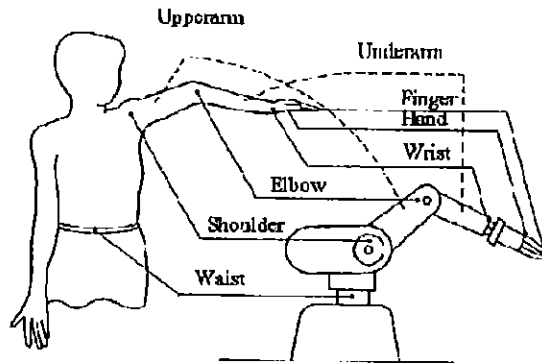
2.1 โครงสร้างทางกายภาพของหุ่นยนต์แขนกล

ลักษณะทางกายภาพของหุ่นยนต์แขนกลเมื่อแบ่งประเภทตามการเคลื่อนที่ หุ่นยนต์แขนกลจัดอยู่ในประเภท หุ่นยนต์ที่ติดตั้งอยู่กับที่ไม่สามารถเคลื่อนที่ໄ้ด้วยหุ่นยนต์แขนกลส่วนใหญ่จะมีส่วนประกอบขั้นสำคัญ ได้แก่ ฐาน (Base) ของหุ่นยนต์ท่อนชิ้นส่วนที่เป็นแขนกล (Link) ข้อต่อจุดหมุน (Joint) ของชิ้นส่วนที่ต่อกัน และปลายของหุ่นยนต์ที่ใช้ทำงาน (End-effectors) เช่น มือกีบขัน (Gripper) หัวเชื่อม อุปกรณ์ประกอบชิ้นส่วนปืนพ่นสี หัวเจาะ ฯลฯ ชิ้นส่วนหลักของแขนกลแสดงดังรูปที่ 2.1



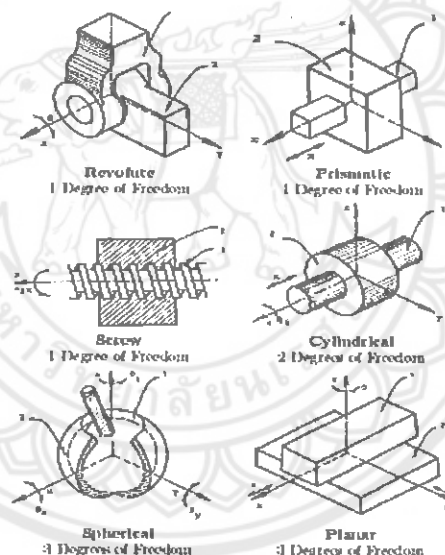
รูปที่ 2.1 ภาพแสดงการทำงานของหุ่นยนต์แขนกล

การทำงานของหุ่นยนต์แขนกลเบริชเทียบเทียนกับแขนของมนุษย์โดยทั่วไปจะมีข้อต่อ 6 ข้อต่อโดยคล้ายกับแขนของมนุษย์ที่เริ่มนับจากหัวไว้หลัง ข้อศอก และมือ ในหุ่นยนต์จะมีฐานหุ่นคล้ายมือเพื่อรับโครงสร้างที่มีการเคลื่อนที่ เราเรียกข้อต่อจุดหมุนว่าเป็นองศาอิสระ (Degrees of Freedom: DOF) หมายถึงมันสามารถที่จะเคลื่อนไหวได้อย่างอิสระภายใต้ระยะจุดหมุนที่หมุนໄ้ด้วยเบริชเทียบกับแขนมนุษย์ที่สามารถยกแขนให้เคลื่อนที่จากตำแหน่งไปสู่ตำแหน่งหนึ่ง แขนกลก็เหมือนกับแขนสามารถทำการเคลื่อนที่ได้จากจุดหนึ่งไปสู่จุดหนึ่งในระยะขอบเขตที่มีการเคลื่อนที่ โดยแสดงการเบริชเทียบในการทำงานของแขนกลกับแขนของมนุษย์ดังรูปที่ 2.2



รูปที่ 2.2 ภาพแสดงส่วนต่างๆของหุ่นยนต์แขนกลเบรีชบเทบกับมนุษย์

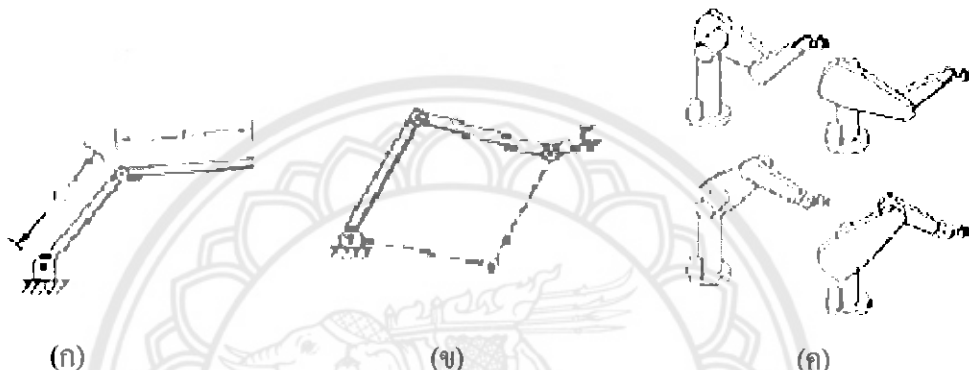
ซึ่งข้อต่อของหุ่นยนต์แขนกลแบ่งได้เป็นหลายแบบ แต่ละแบบก็จะอนุญาตให้เกิดการเคลื่อนที่ของท่อนแขนที่ต่อตัวกันไปซึ่งอยู่กับความเหมาะสมในการควบคุมและใช้งาน โดยข้อต่อที่นิยมใช้งานแสดงดังรูปที่ 2.3



รูปที่ 2.3 รูปแบบของข้อต่อแบบต่างๆ

ในการสร้างแขนกลโดยทั่วไป ข้อต่อที่นิยมใช้มากที่สุดคือข้อต่อแบบหมุน(Revolute joint) และข้อต่อแบบเลื่อน (Prismatic joint) สำหรับข้อต่อแบบหมุน ท่อนแขนสองท่อนถูกยึดติดกันที่จุดหมุนซึ่งอยู่บนท่อนแขนโดยแต่ละท่อนสามารถหมุนได้รอบจุดหมุนนี้ เราสามารถออกตำแหน่งของสองท่อนแขนที่สัมพันธ์กันด้วยมุมที่ท่อนแขนหมุนไปส่วนข้อต่อแบบเลื่อนนั้นท่อนแขนสองท่อนติดอยู่ด้วยกันในลักษณะเดียวกันกับเสาอากาศวิทยุ共振器ที่ยึดคงไว้โดยท่อนแขนแต่ละท่อนสามารถเลื่อนเข้าออกได้ในหนึ่งทิศทางเราสามารถระบุตำแหน่งที่สัมพันธ์กันของสองท่อนแขนได้จากระยะเลื่อนเข้าออกคงคล่อง จะเห็นได้ว่าข้อต่อแบบหมุนและข้อต่อแบบเลื่อนมีองค์ประกอบของการเคลื่อนที่

เป็นหนึ่ง เราเรียกตัวแปรที่กำหนดการเคลื่อนที่นี้ซึ่งได้แก่ นูนหมุนของข้อต่อแบบหมุนและระบบเดื่อนของข้อต่อแบบเดื่อนว่า เป็นพารามิเตอร์ของข้อต่อ การมีองค์ความรู้ของการเคลื่อนที่เป็นหนึ่งทำให้ง่ายในการออกแบบและวิเคราะห์ข้อต่อทั้งสองแบบ จึงถูกใช้มากที่สุดในการสร้างแขนกล โดยแขนกลที่มีองค์ความรู้สูงๆ ก็สามารถสร้างขึ้น ได้โดยการประกอบท่อนแขนหลายท่อนด้วยข้อต่อสองแบบนี้ แขนกลทำงานด้วยการเคลื่อนที่ของท่อนแขนที่สัมพันธ์กันเพื่อให้ปลายแขน (end effector) ไปอยู่ในตำแหน่งและทิศทางที่เหมาะสมเพื่อเครื่องมือที่ติดอยู่ที่ปลายแขนจะได้ทำงานที่ต้องการ ได้โดยสะดวก และมีประสิทธิภาพตัวอย่างในรูปที่ 2.4 แสดงให้เห็นถึงความจำเป็นที่ต้องจัดการให้ปลายแขนอยู่ในตำแหน่งและทิศทางที่เหมาะสม



รูปที่ 2.4 (ก) แขนกลสองข้อต่อ (ข) แขนกลสามข้อต่อ (ค) พูม่า 560 (PUMA 560) ที่ปลายแขนตำแหน่งและทิศทางเดียวกัน

การคำนวณว่าปลายแขนจะอยู่ที่ตำแหน่งและทิศทางใดจึงเป็นเรื่องสำคัญการคำนวณดังกล่าวอาศัยการกำหนดให้ท่อนแขนแต่ละท่อนมีพิกัดส่วนตัวที่เราจะเรียกว่าเฟรมเพื่อประกอบไปด้วยจุดกำเนิดและเวกเตอร์แกน โดยเฟรมที่กล่าวถึงจะอยู่ติดกับท่อนแขนที่เป็นเข้าของแขนหรืออีกนัยหนึ่งก็คือแต่ละท่อนแขนจะอยู่นิ่งไม่ขยับเชื่อมโยงกับเฟรมของมันสำหรับท่อนแขนที่เกิดจาก การเรียงต่อกัน ไปเรียนรู้เริกห่อนแขนที่อยู่ในรากศีรษะกับพื้นฐาน (Base) และเริกห่อนตัดตามชื่อ ส่วนของแขนได้แก่ไหล่ (shoulder) ข้อศอก (elbow) แขนห่อนบน (forearm) และข้อมือ (wrist) เป็นต้น ตำแหน่งและทิศทางการวางตัวของท่อนแขนหนึ่งๆ เมื่อเทียบกับเฟรมของฐานจึงขึ้นอยู่กับตำแหน่งและทิศทางของท่อนแขนก่อนๆ ด้วยความสามารถคำนวณตำแหน่งและทิศทางของปลายแขน ได้ด้วยการใช้การแปลงเอกพันธ์ โดยทำการคูณเมทริกซ์การแปลงแบบซ้ายไปขวาพิจารณาจากฐานไปจนถึงปลายแขน

2.2 รูปแบบและลักษณะการทำงานของหุ่นยนต์แขนกล

2.2.1 การแบ่งประเภทของหุ่นยนต์แขนกล

โดยทั่วไปการแบ่งประเภทของหุ่นยนต์แขนกลจะแบ่งตามลักษณะรูปทรงของพื้นที่การทำงาน (Envelope Geometric) ซึ่งหุ่นยนต์แขนกลที่ใช้ในอุตสาหกรรมนี้ ในส่วนของข้อต่อ (Joint) ที่ใช้ในขั้นพื้นฐานมี 2 แบบด้วยกันดังที่กล่าวมาแล้ว คือ

- ข้อต่อแบบหมุน
- ข้อต่อแบบตัวเลื่อน

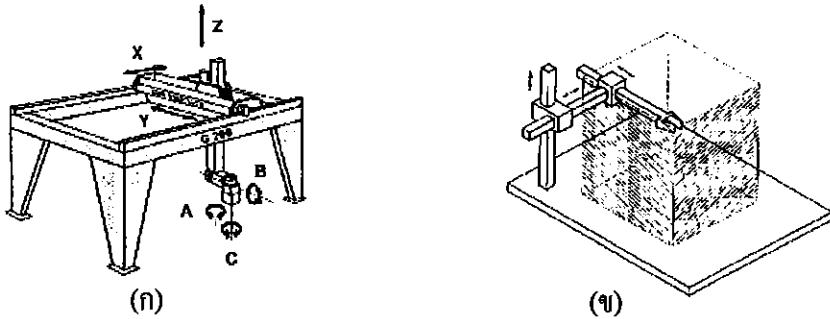
โดยหลักการทำงานของข้อต่อแต่ละแบบแสดงดังตารางที่ 2.1

ตารางที่ 2.1 หลักการทำงานของข้อต่อแบบหมุนและแบบเลื่อน

ชนิด	ลักษณะ	หมายเหตุ
Revolute (R)		เป็นการหมุนรอบแกน (Rotary)
Prismatic (P)		การเคลื่อนที่เชิงเส้น (Linear motion)

ข้อต่อ (Joint) ทั้งสองแบบเมื่อนำมาต่อเข้าด้วยกันอย่างน้อย 3 แกนหลักจะได้พื้นที่ทำงาน (Work envelope) ที่มีลักษณะแตกต่างกัน ไปด้วยความสามารถในการแบ่งประเภทของหุ่นยนต์แขนกลได้ดังต่อไปนี้

2.2.1.1 หุ่นยนต์แบบคาร์ทีเซียน (Cartesian (Gantry) Robot) แกนทั้ง 3 ของหุ่นยนต์จะเคลื่อนที่เป็นแบบเชิงเส้น (Prismatic) ถ้าโครงสร้างมีลักษณะคล้าย Overhead Crane จะเรียกว่าเป็นประเภทหุ่นยนต์โครงสร้างตั้งตึงของ (Gantry Robot) แต่ถ้าหุ่นยนต์ไม่มีขาตั้งหรือขาเป็นแบบอื่น เรียกว่า ประเภทหุ่นยนต์คาร์ทีเซียนซึ่งรูปแบบและพื้นที่การทำงานแสดงดังรูปที่ 2.5 (ก) รูปแบบของหุ่นยนต์แบบคาร์ทีเซียน (ข) พื้นที่การทำงานของหุ่นยนต์แบบคาร์ทีเซียนตามลำดับ

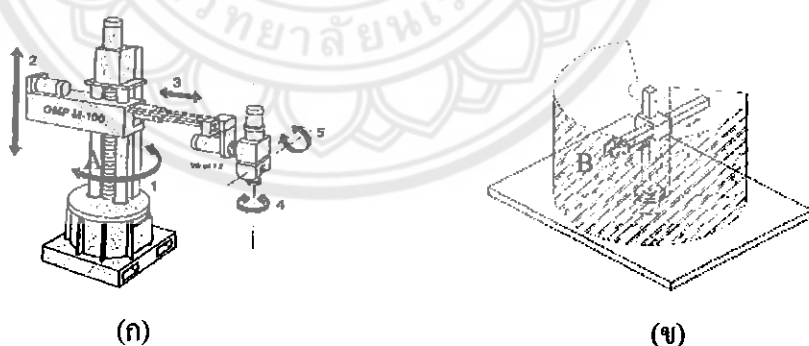


รูปที่ 2.5 (ก) รูปแบบของหุ่นยนต์แบบคาร์ทีเซียน (ข) พื้นที่การทำงานของหุ่นยนต์แบบคาร์ทีเซียนและ การประยุกต์ใช้งานของหุ่นยนต์ประเภทนี้

การประยุกต์ใช้งาน

เนื่องจาก โครงสร้างของหุ่นยนต์มีความแข็งแรงคลอดแนวการเคลื่อนที่ ดังนั้นจึงเหมาะสมกับงาน เคลื่อนย้ายของหนักๆ หรือเรียกว่า หยิบยกชิ้นงาน (Pick-and-Place) เช่น โหลดชิ้นงานเข้าเครื่องจักร (Machine loading) ใช้เก็บชิ้นงาน (Stacking) นอกจากนี้ยังสามารถใช้ในงานประกอบ (Assembly) ที่ไม่ ต้องการเข้าถึงในลักษณะที่มีมุมหนาม เช่น ประกอบอุปกรณ์อิเล็กทรอนิกส์ และชิ้นส่วนทดสอบ (Test) ต่างๆ

2.2.1.2 หุ่นยนต์แบบทรงกระบอก (Cylindrical robot) หุ่นยนต์ประเภทนี้จะมีแกนที่ 2 (ให้หลัง) และแกนที่ 3 (ข้อศอก) เป็นแบบเลื่อนส่วนแกนที่ 1 (เอว) จะเป็นแบบหมุนทำให้การเคลื่อนที่ได้ พื้นที่การทำงานเป็นรูปทรงกระบอก ดังแสดงในรูปที่ 2.6 (ก) รูปแบบของหุ่นยนต์แบบทรงกระบอก (ข) พื้นที่การทำงานของหุ่นยนต์แบบทรงกระบอก



รูปที่ 2.6 (ก) รูปแบบของหุ่นยนต์แบบทรงกระบอก (ข) พื้นที่การทำงานของหุ่นยนต์แบบทรงกระบอก

การประยุกต์ใช้งาน

โดยทั่วไปจะใช้ในการหยนยกชิ้นงาน หรือป้อนชิ้นงานเครื่องจักร เพราะสามารถเคลื่อนที่เข้าบวิเณที่เป็นช่องโพรเจกต์ ได้สะดวก

2.2.1.3 หุ่นยนต์แบบทรงกลม (Spherical Robot (Polar)) มีสองแกนที่เคลื่อนในลักษณะการหมุน (Revolute) คือแกนที่ 1 (เอว) และแกนที่ 2 (ไหล่) ส่วนแกนที่ 3 (ข้อศอก) จะเป็นลักษณะของการเคลื่อนที่แนวเส้นตรงดังรูปที่ 2.7

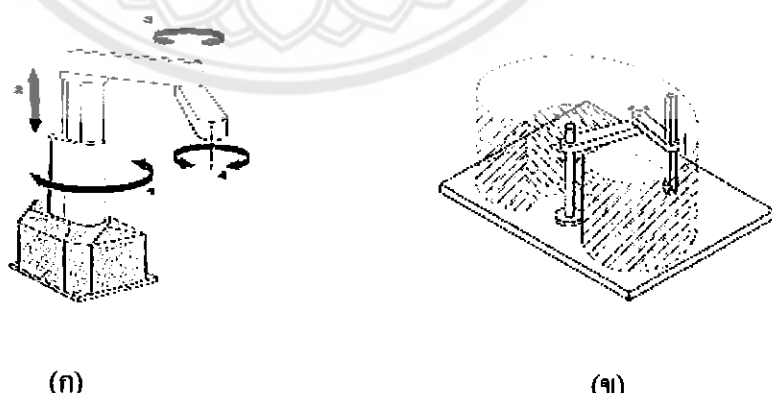


รูปที่ 2.7 (ก) รูปแบบของหุ่นยนต์แบบทรงกลม (ล) พื้นที่การทำงานของหุ่นยนต์แบบทรงกลม

การประยุกต์ใช้งาน

ใช้ในการที่มีการเคลื่อนที่ในแนวตั้ง (Vertical) เพียงเล็กน้อย เช่นการ โหลดชิ้นงานเข้าออกจากเครื่องปั๊ม (Press) หรืออาจใช้งานเชื่อมจุด (Spot Welding)

2.2.1.4 หุ่นยนต์สカラ (SCARA) หุ่นยนต์สカラ (Selective Compliance Assembly Robot Arm; SCARA) จะมีลักษณะแกนที่ 1 (เอว) และแกนที่ 3 (ข้อศอก) หมุนรอบแกนแนวตั้ง และแกนที่ 2 จะเป็นลักษณะการเคลื่อนที่ขึ้นลง (Prismatic) ดังรูปที่ 2.8

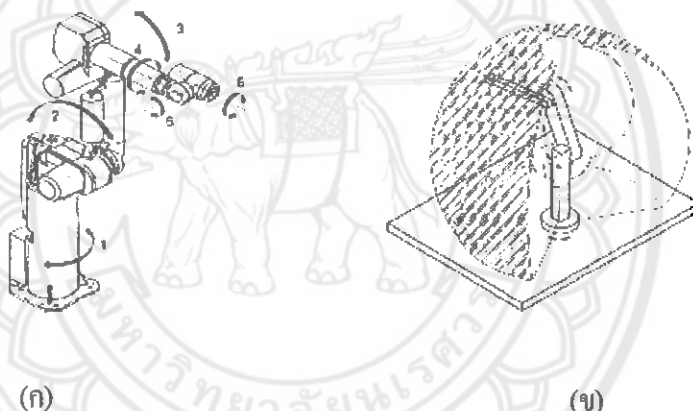


รูปที่ 2.8 (ก) รูปแบบของหุ่นยนต์สカラ (ล) พื้นที่การทำงานของหุ่นยนต์สカラ

การประยุกต์ใช้งาน

เนื่องจากการเคลื่อนที่ในแนวระนาบและขึ้นลง ได้ร่วดเร็วจึงเหมาะสมกับงานประกอบชิ้นส่วนทางอิเล็กทรอนิกส์ซึ่งต้องการความรวดเร็ว และการเคลื่อนที่กีไม่ต้องการการหมุนมากนักแต่จะไม่เหมาะสมกับงานประกอบชิ้นส่วนทางกล (Mechanical part) ซึ่งส่วนใหญ่การประกอบจะอาศัยการหมุน (rotation) ในลักษณะมุมต่างๆ นอกจากนี้หุ่นยนต์สามารถเข้ามายังหน้ากับงานตรวจสอบ (Inspection) งานบรรจุภัณฑ์ (Packaging)

2.2.1.5 หุ่นยนต์แบบแขนข้อต่อ (Articulated Arm (Revolute) Robot) ทุกแกนการเคลื่อนที่จะเป็นแบบหมุนรูปแบบการเคลื่อนที่จะคล้ายกับแขนมนุษย์ ซึ่งจะประกอบด้วยช่วงเอว ห่องแขนบน ห่องแขนล่าง ข้อมือ รูปแบบและการเคลื่อนที่ทำให้ได้พื้นที่การทำงานดังรูปที่ 2.9



รูปที่ 2.9 (ก) รูปแบบของหุ่นยนต์แบบแขนข้อต่อ (ข) พื้นที่การทำงานของหุ่นยนต์แบบแขนข้อต่อ

การประยุกต์ใช้งาน

หุ่นยนต์ประเภทนี้สามารถใช้งานได้กว้างขวาง เพราะสามารถเข้าถึงตำแหน่งต่าง ๆ ได้ดี เช่น งานเชื่อมแบบจุด (Spot Welding) งานเชื่อมแบบเส้น (Path Welding) งานยกของงานตัด งานทากาวงาน ที่มีการเคลื่อนที่ยาก ๆ เช่น งานพ่นสี งานอุดกันรั่ว (Sealing) ฯลฯ

2.2.2 หลักการทำงานของหุ่นยนต์แขนกล

การทำงานของหุ่นยนต์แขนกลประกอบด้วย 2 ส่วนใหญ่ๆ ได้แก่ระบบทางกลของหุ่นยนต์และระบบควบคุมหุ่นยนต์ระบบทางกลหมายถึงส่วนที่เป็นโครงสร้างและส่วนที่ให้กำลังขับเคลื่อนหุ่นยนต์ส่วนระบบควบคุมประกอบด้วยระบบบังคับการทำงานหุ่นยนต์ ระบบป้อนข้อมูล กลับตอบสนองการสอนหุ่นยนต์ให้ทำงานตามชุดคำสั่ง

2.2.2.1 ระบบทางกลของหุ่นยนต์แขนกลระบบทางกลของหุ่นยนต์อุตสาหกรรมที่สำคัญมี 3 ประการ คือ ลักษณะโครงสร้างของหุ่นยนต์อุปกรณ์ให้กำลังขับเคลื่อนหุ่นยนต์ และมือหุ่นยนต์

1. ลักษณะโครงสร้างของหุ่นยนต์แขนกลเนื่องจากหุ่นยนต์แขนกลได้รับการออกแบบสร้างขึ้นมาเพื่อทำหน้าที่แทนมนุษย์ ดังนั้nlักษณะการออกแบบจึงมักจะเป็นส่วนบนของลำตัวมนุษย์ ประกอบด้วยหัว ไหล่ แขน และมือ โดยปกติแล้วมักออกแบบเป็นแบบเดียวในบางแบบได้ ออกแบบให้แขนกลเคลื่อนที่อยู่บนทางเดื่อน ได้ซึ่งอาจจำแนกโครงสร้างของหุ่นยนต์ได้ 4 แบบ คือ

ก. โครงสร้างการที่เชื่บต่อจาก (Cartesian or rectangular) เป็นโครงสร้างที่ประกอบด้วยส่วนต่างๆ ที่วางไว้ตั้งจากซึ่งกันและกัน 3 ส่วน ซึ่งทำให้สามารถเคลื่อนที่ไปบังทุกที่ ต้องการได้

ข. โครงสร้างทรงกระบอก (Cylindrical) มีแขนกลเป็นหลัก แขนนั้นสามารถเคลื่อนที่ขึ้นลงหมุนรอบแกนและสามารถบิดและหดได้

ก. โครงสร้างเชิงข้าม (Polar) มีลำตัวที่บิดได้ มีแขนที่หมุนและยืดหดได้

ง. โครงสร้างมนุษย์ (Anthropomorphic) เป็นโครงสร้างที่เลียนแบบโครงสร้างของมนุษย์ ในหุ่นยนต์แขนกลมีลักษณะเป็นส่วนบนของลำตัวมนุษย์ ประกอบด้วย ไหล่ แขนท่อนบน แขนท่อนล่าง ข้อมือและมือ

2. อุปกรณ์ให้กำลังขับเคลื่อนของหุ่นยนต์แขนกลในการเคลื่อนไหวของหุ่นยนต์ และ การหมุนข้อต่อที่ใช้อุปกรณ์ที่เป็นต้นกำลังเรียกว่า “แอคชิวเอเตอร์(Actuators)” เป็นอุปกรณ์ที่ใช้ ขับเคลื่อนขึ้นส่วนหุ่นยนต์ ซึ่งอุปกรณ์แอคชิวเอเตอร์มีหลายประเภท ปัจจุบันมีอุปกรณ์ที่ให้กำลัง ขับเคลื่อนหุ่นยนต์อยู่ 3 ชนิด คือ มอเตอร์ไฟฟ้า นิวแมติก และไฮดรอลิก

ก. มอเตอร์ไฟฟ้า คือ อุปกรณ์ขับเคลื่อนที่แปลงพลังงานไฟฟ้าให้เป็นพลังงานงานกล ซึ่งหมุนรอบตัวเองได้ เป็นอุปกรณ์ที่ใช้สะดวก ง่ายต่อการควบคุมและให้คำแนะนำที่แม่นยำ ปัญหา สำคัญคือมีกำลังจำกัด และมีปัญหาในการนำหุ่นยนต์ที่ขับเคลื่อนด้วยไฟฟ้าไปใช้ในบริเวณที่มีวัตถุ ไวไฟ เช่น งานพ่นสี เป็นต้น

ข. นิวแมติก (Pneumatic) เป็นระบบที่ขับเคลื่อนทางตรง ทางไปสัมหรือหมุนได้ด้วย แรงอัดของลม เป็นอุปกรณ์ที่ราคาถูก และง่ายต่อการควบคุม ปัญหาสำคัญอยู่ที่การควบคุมความเร็ว และ ตำแหน่ง

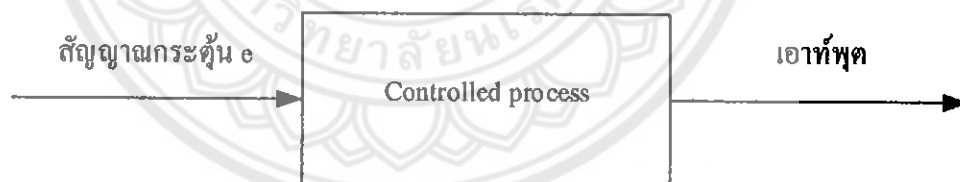
ค. ไฮดรอลิก (Hydraulic) เป็นระบบที่ขับเคลื่อนด้วยแรงอัดของน้ำมัน เป็นอุปกรณ์ที่ ราคาแพง ให้กำลังสูง มีอุปกรณ์อยู่หลายแบบที่สามารถเลือกใช้ให้เหมาะสมกับงานได้ เช่น การ เคลื่อนที่เป็นเส้นตรง หรือแบบหมุน เป็นต้น ระบบควบคุมมักใช้ไฟฟ้า แต่เนื่องจากอุปกรณ์ไฟฟ้าน้อย และใช้กำลังไฟฟ้ามากจึงสามารถใช้หุ่นยนต์ที่ขับเคลื่อนด้วยระบบไฮดรอลิกกับบริเวณที่มีวัตถุไวไฟ ได้

3. มือหุ่นยนต์มือหุ่นยนต์จะขัดติดกับส่วนของหุ่นยนต์ที่เป็นข้อมือ (Wrist) ซึ่งสามารถดูหมุนได้รอบข้อมือ 3 แนวแกน คือแกนบิดในระนาบที่ตั้งฉากกับปลายแขนแกนเฉียงขึ้นลงจะหมุนในระนาบที่ตั้งฉากกับแนวระดับและแกนส่วนของหุ่นยนต์ในระนาบที่ขนานกับแกนในแนวระดับ อย่างไรก็ตามลักษณะการใช้งานส่วนใหญ่จะทำงานเพียง 2 ทิศทางเท่านั้น เช่นหุ่นยนต์ที่ใช้ในการเชื่อมในลักษณะที่สมมาตร จะให้ความอิสระของข้อมือเพียง 2 แกนเท่านั้น ซึ่งในกรณีงานที่ค่อนข้างซับซ้อนอาจใช้ถึง 3 แกน ข้อสำคัญของข้อมือ คือจะต้องสร้างให้มีความมั่นคงและมีน้ำหนักน้อยที่สุด

2.2.2.2 ระบบควบคุมหุ่นยนต์แขนกล

ระบบควบคุมเป็นส่วนที่สำคัญที่สุดของหุ่นยนต์ ทำหน้าที่เป็นสมองเก็บข้อมูล ถึงหุ่นยนต์ให้ทำงาน ตรวจสอบและควบคุมตำแหน่งการทำงาน ซึ่งในบางเครื่องสามารถตรวจสอบความผิดปกติของอุปกรณ์ภายในได้หุ่นยนต์จะทำงานได้ด้วยการควบคุมแบบอัตโนมัติโดยมีการกำหนดเป้าหมายและมีการควบคุมอุปกรณ์ให้ทำงานตามเป้าหมายที่กำหนด ได้ด้วยอุปกรณ์ควบคุมการทำงานของอุปกรณ์ควบคุมมี 2 แบบ คือ

1. การควบคุมแบบวงจรปิด (Close Loop) ในปัจจุบันนี้ระบบควบคุมอัตโนมัติได้เข้ามาเป็นทบทวนสำคัญต่อการพัฒนาความเริ่มต้นหุ่นยนต์ ตัวอย่างที่เห็นได้ชัดในชีวิตประจำวัน ได้แก่ระบบควบคุมในเครื่องปรับอากาศซึ่งจะถอยความคุณภาพภายในห้องให้คงที่ ในอุตสาหกรรม ได้มีการนำระบบควบคุมอัตโนมัติไปใช้ควบคุมคุณภาพของผลิตภัณฑ์ ควบคุมการทำงานของเครื่องจักร และอื่นๆอีกมากมาย เทคโนโลยีทางด้านนวัตกรรมและการผลิตอาชีวศึกษาปัจจุบันได้มีการนำระบบควบคุมไปใช้ในระบบนำวิศวะระบบควบคุมการผลิตใหม่ของเชื้อเพลิง เป็นต้น

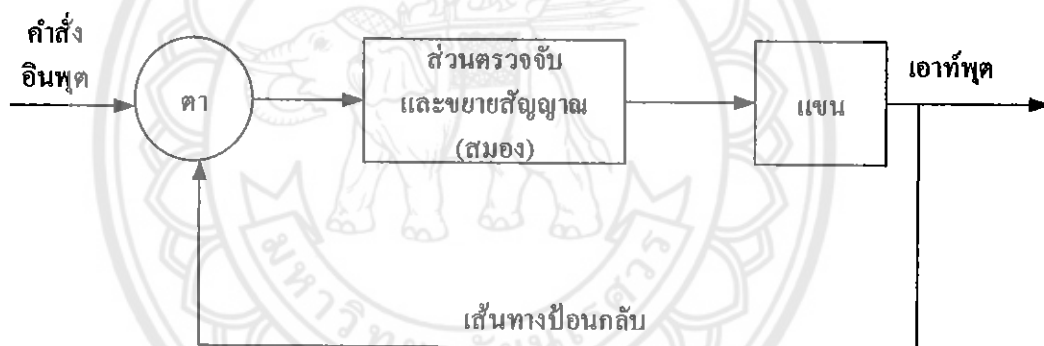


รูปที่ 2.10 โครงสร้างพื้นฐานของระบบควบคุม

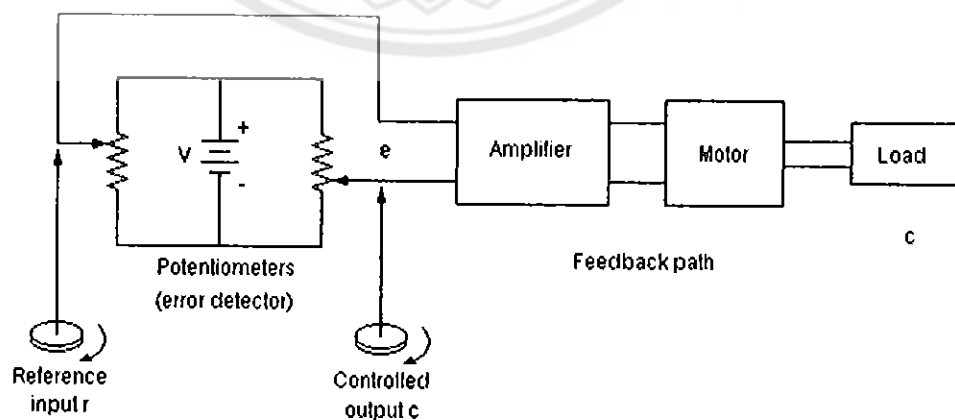
รูปที่ 2.10 แสดงถึงโครงสร้างพื้นฐานของระบบควบคุม โดยผลลัพธ์ที่ออกทางเอาท์พุต (แทนโดยตัวแปร c) จะถูกควบคุมโดยสัญญาณกระแส e ผ่านทางองค์ประกอบต่างๆซึ่งอยู่ภายใน controlled process ในการควบคุมพวงมาลัยของรถชนิด สัญญาณกระแส e ได้แก่ ตำแหน่งของพวงมาลัย ส่วนตัว pareo ที่พุต c ได้แก่ ทิศทางของล้อหน้าในส่วนของกระบวนการควบคุมจะประกอบด้วยกลไกต่างๆ ของพวงมาลัย เช่น การลดเพื่อง และรวมถึงลักษณะการเคลื่อนที่ของล้อตัวอย่าง

- ระบบควบคุมแบบวงปีกหรือระบบควบคุมแบบป้อนกลับ

จากหัวข้อที่แล้วจะเห็นว่าเมื่อปัจจัยภายนอกมานิอิทธิพลต่อระบบจะทำให้ผู้ควบคุมไม่สามารถควบคุมเอาท์พุตให้เป็นไปตามต้องการได้ ในหัวข้อนี้ได้แก้ไขโดยการส่งสัญญาณเอาท์พุต $c(t)$ ป้อนกลับมาเปรียบเทียบกับสัญญาณสั่งการหรือสัญญาณอ้างอิง r จะได้ค่าความคลาดเคลื่อนระหว่างสัญญาณเอาท์พุตกับสัญญาณอ้างอิงทางด้านอินพุตเพื่อนำไปสร้างสัญญาณกระตุ้น e และส่งต่อไปแก้ไขค่าความคลาดเคลื่อน (error) ของเอาท์พุตให้น้อยลง ระบบที่กล่าวมานี้เรียกว่าระบบควบคุมแบบป้อนกลับ กิจกรรมส่วนใหญ่ที่มนุษย์ปฏิบัติในชีวิตประจำวันนั้นเป็นตัวอย่างหนึ่งของระบบควบคุมแบบป้อนกลับที่ซับซ้อน เช่น ในการใช้ตะเกียงกินถูกขึ้นเข้าไป สมองของมนุษย์จะสั่งการให้เข็นข้างที่ถือตะเกียงนำถูกขึ้นเข้าไป ตำแหน่งของถูกขึ้นที่เป็นเอาท์พุตจะถูกป้อนกลับมาข้างทางของมนุษย์เพื่อเปรียบเทียบระหว่างถูกขึ้นกับปาก ในที่นี้สัญญาณอ้างอิง r คือตำแหน่งของปาก ส่วนสัญญาณเอาท์พุต c คือตำแหน่งของถูกขึ้น ถ้าระหว่างทางยังมีค่าความคลาดเคลื่อนอยู่สมองก็จะบังคับสั่งให้เข็นเคลื่อนที่ต่อไปเพื่อให้ถูกขึ้นเข้าใกล้ปากมากยิ่งขึ้น จนกระทั่งค่าความคลาดเคลื่อนเป็นศูนย์ก็จะสั่งให้แนบทุก ดังแสดงในรูปที่ 2.11 แสดงถึงแผนผังของระบบควบคุมแบบป้อนกลับ

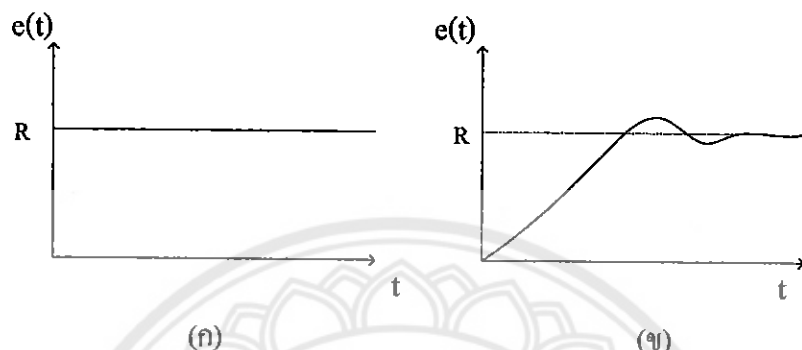


รูปที่ 2.11 แผนผังของระบบควบคุมแบบป้อนกลับ



รูปที่ 2.12 ระบบควบคุมแบบป้อนกลับที่ใช้ในการหมุนอเตอร์ไปยังตำแหน่งที่ผู้ควบคุมกำหนด

รูปที่ 2.12 เป็นระบบควบคุมแบบป้อนกลับที่ใช้ในการหมุนมอเตอร์ไปยังตำแหน่งที่ต้องการ กำหนดในระบบนี้จะใช้ไฟแทนชีวิมิเตอร์ตรวจจับค่าความคลาดเคลื่อนระหว่างตำแหน่งของมอเตอร์จริงๆ ที่เป็นเอาท์พุต และตำแหน่งของมอเตอร์ที่กำหนดโดยศูนย์ควบคุมซึ่งเป็นสัญญาณอินพุตอ้างอิง ค่าความคลาดเคลื่อนจะเปลี่ยนเป็นค่าแรงดันไฟฟ้า $e(t)$ และวิ่งไปข่ายแรงดันเพื่อขับมอเตอร์ให้หมุนไปยังทิศทางที่ทำให้ตำแหน่งของมอเตอร์มีค่าความคลาดเคลื่อนน้อยลง



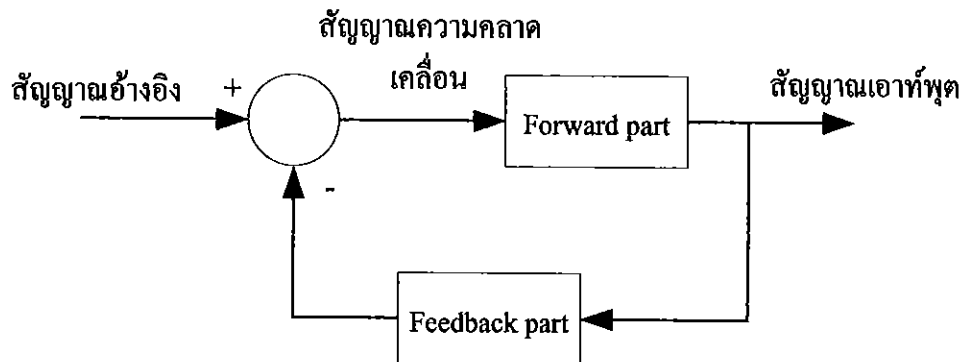
รูปที่ 2.13 (ก) สัญญาณอินพุต $r(t)$ เปลี่ยนค่าจากศูนย์ไปเป็น R ในทันทีทันใด (ข) ค่าสัญญาณเอาท์พุต

เมื่อลองให้สัญญาณอินพุต $r(t)$ เปลี่ยนค่าจากศูนย์ไปเป็น R ในทันทีทันใดดังรูป (ก) ค่าสัญญาณเอาท์พุตจะมีลักษณะดังรูป (ข) เนื่องมาจากความเร็วของการตอบสนองทางกลและทางไฟฟ้าจะทำให้ตำแหน่งของเอาท์พุตไม่เปลี่ยนแปลงอย่างทันทีทันใด แต่จะค่อยๆ วิ่งเข้าสู่ตำแหน่งที่กำหนดโดยอินพุต และอาจจะมีการแกว่งไปมารออบๆ ตำแหน่งที่กำหนดโดยอินพุต การแกว่งนี้จะค่อยๆ ลดลงจนกระทั่งเอาท์พุตอยู่ในตำแหน่งที่กำหนด โดยอินพุตอย่างคงที่ก่อนที่จะหยุดลง

สิ่งที่ต้องระวังในระบบควบคุมแบบป้อนกลับคือความไม่เสถียรของระบบ ถ้าหากสัญญาณ $e(t)$ ถูกขยายมากเกินไปก็อาจจะทำให้เกิดการแก้ไขค่าความคลาดเคลื่อนของเอาท์พุตแบบ "เกินความจริง" และเอาท์พุตจะแกว่งในลักษณะที่สูงออกโดยไม่มีขอบเขต แต่ถ้าสัญญาณ $e(t)$ ถูกขยายน้อยเกินไปก็จะทำให้เอาท์พุตมีค่าไม่ตรงกับค่าที่กำหนดโดยอินพุตเมื่อเอาท์พุตเข้าสู่สภาวะคงทัว ดังนั้นผู้ออกแบบระบบควบคุมแบบป้อนกลับจึงต้องหาจุดที่เหมาะสมระหว่างปัจจัยสองอย่างคือ ความเที่ยงตรง และความเสถียร ซึ่งนั่นจึงทำให้สองนี้เป็นผลผันกัน

-ส่วนประกอบพื้นฐานของระบบควบคุมแบบป้อนกลับ

จากหลักการพื้นฐานของระบบควบคุมแบบป้อนกลับสามารถถกถ่วงได้ว่า ระบบควบคุมแบบป้อนกลับประกอบด้วยเส้นทางหรือวงรอบของสัญญาณป้อนกลับซึ่งเป็นสัญญาณเอาท์พุตตั้งแต่หนึ่งวงรอบเข้าไป แล้วนำสัญญาณป้อนกลับนี้มาปรับเทียบกับสัญญาณสั่งการหรือสัญญาณอ้างอิง จะได้ผลต่างระหว่างสัญญาณทั้งสองเป็นค่าสัญญาณความคลาดเคลื่อน เพื่อนำไปควบคุมสัญญาณเอาท์พุตให้มีค่าตามที่กำหนดโดยสัญญาณอ้างอิง



รูปที่ 2.14 แผนผังของระบบควบคุมแบบป้อนกลับ

รูปที่ 2.14 แสดงแผนผังของระบบควบคุมแบบป้อนกลับ ระบบควบคุมนี้ประกอบด้วยส่วน forward (forward path) ส่วนป้อนกลับ (feedback path) และส่วนตรวจจับค่าความคลาดเคลื่อน (error-sensing device) ส่วนตรวจจับค่าความคลาดเคลื่อนนี้จะเปรียบเทียบค่าสัญญาณอินพุตอ้างอิงกับค่าสัญญาณเอาท์พุตจริงๆ หรือค่าที่เป็นฟังก์ชันของสัญญาณเอาท์พุต แล้วส่งสัญญาณที่เกิดจากผลต่างของสัญญาณทั้งสองนี้ออกไป

2. การควบคุมแบบวงจรเปิด (Open Loop) เป็นระบบควบคุมที่เอาท์พุตของระบบไม่มีผลต่อการควบคุมเลยนั่นคือในกรณีของระบบควบคุมแบบวงจรเปิดนั้น เอาท์พุตของระบบจะไม่ถูกวัด หรือถูกป้อนกลับมาเพื่อเปรียบเทียบกับอินพุต โดยการควบคุมแบบวงจรเปิดนั้นอุปกรณ์ควบคุมจะดำเนินการโดยมิได้ตรวจสอบเป้าหมาย เช่น ถ้าหาก เกยเดิน ได้ ก้าวละ 50 เซนติเมตร เมื่อได้รับคำสั่งให้เดินเป็นระยะทาง 5 เมตร นาย ก ที่จะเดินไป 10 ก้าว อย่างนี้เรียกว่า นาย ก เดินโดยใช้การควบคุมแบบวงจรเปิด ซึ่งอาจเกิดความผิดพลาดขึ้นได้ แต่ถ้าหาก ใช้ไม้เมตรวัดระยะทางที่เดินไป 10 ก้าวนั้น ดูว่าได้ 5 เมตรถูกต้องหรือไม่ถ้าไม่ถูกต้อง นาย ก จะเดินหน้าหรือยกขาหลังให้ได้ระยะทาง 5 เมตร พอดีอย่างนี้เรียกว่า นาย ก เดินโดยใช้การควบคุมแบบวงจรเปิด จะเห็นได้ว่าหุ่นยนต์ที่มีการควบคุมแบบวงจรเปิดจะสร้างได้ยากกว่า แต่ให้ผลที่แน่นอน

2.3 ระบบควบคุมไมโครคอนโทรลเลอร์

ในเรื่องของการควบคุมระบบการทำงานของหุ่นยนต์เพื่อให้หุ่นยนต์ทำงานเป็นระบบและเป็นขั้นตอนตามที่ต้องการ เราจะใช้ระบบควบคุมในไมโครคอนโทรลเลอร์มาเป็นตัวควบคุมการทำงานของหุ่นยนต์ โดยจะใช้ในไมโครคอนโทรลเลอร์ที่มีหน่วยประมวลผลกลาง(CPU) ในตระกูล MCS-51 เบอร์ 89C51AC3 ของบริษัทแอทเมล (ATMEL) ซึ่งในไมโครคอนโทรลเลอร์รุ่มนี้มีจุดเด่น คือ เรื่องของความเร็วในการประมวลผลซึ่งสามารถทำงานได้ด้วยความถี่สูงสุด 60 เมกกะเฮิรตซ์ ที่ 12 สัญญาณนาฬิกา (Clock) ต่อ 1 แมชชีนไซเคิล (Machine Cycle) นอกจากนี้แล้วยังมีความเพียงพอรองรับด้วยอุปกรณ์พื้นฐานต่างๆ ที่จำเป็นต่อการใช้งาน ไม่ว่าจะเป็นหน่วยความจำสำหรับเก็บข้อมูลแบบ EEPROM

(Electrically Erasable Programmable Read-Only Memory) ขนาด 2 กิโลไบต์ หรือหน่วยความจำใช้งานแบบแรม (RAM) ซึ่งมีมากถึง 2304 ไบต์ (2048+256) ส่วนในด้านของอุปกรณ์ต่อภายนอก (Peripheral) นั้นก็นับว่าครบถ้วนเหมาะสมแก่การนำไปประยุกต์ใช้งานเกี่ยวกับการควบคุมและประมวลผลต่างๆ ได้เป็นอย่างดี โดยการออกแบบโครงสร้างของบอร์คนี้จะเน้นเรื่องขนาดของบอร์ดให้มีขนาดเล็กเพื่อให้ง่ายต่อการนำไปประยุกต์ใช้งาน และสะดวกต่อการพัฒนาโปรแกรม

2.3.1 คุณสมบัติของบอร์ดในโครงข่าย AT89C51AC3

เลือกใช้ไมโครโปรเซสเซอร์ระดับ MCS51 เบอร์ AT89C51AC3 ของบริษัทแอทธิเมลเป็นไมโครโปรเซสเซอร์ ประจำบอร์ด โดยเลือกใช้แหล่งกำเนิดสัญญาณนาฬิกาแบบอสซิลเลเตอร์ (Oscillator Module) ค่า 29.4912 เมกกะเฮิรตซ์ ซึ่งสามารถกำหนดการทำงานของไมโครโปรเซสเซอร์ให้ทำงานในโหมดความเร็ว 2 เท่า (X2 Mode) ได้ ทำให้ไมโครโปรเซสเซอร์สามารถประมวลผลหัวบ่วงเร็วสูงสุดที่ 58.9824 เมกกะเฮิรตซ์ โดยคุณสมบัติเด่นๆ ของไมโครโปรเซสเซอร์ได้แก่ มีหน่วยความจำแฟลช (Flash) สำหรับเขียนโปรแกรมขนาด 64 กิโลไบต์ มีอีพีร็อม (EEPROM) ขนาด 2 กิโลไบต์ สำหรับเก็บข้อมูล และสามารถเขียนซ้ำได้กว่า 1 ล้านครั้ง มีพอร์ตอินพุต/เอาต์พุตขนาด 8 บิต จำนวน 5 พอร์ต (P0, P1, P2, P3 และ P4 (5Bit))

- มีแรม (RAM) ใช้งาน 2304 ไบต์ (ERAM 2048 ไบต์ + IRAM 256 ไบต์)
- มีวงจรสำหรับพอร์ตตีอีสารอนุกรมแบบอะซิงโกรนัส (Universal Asynchronous Receiver Transmitter; UART) จำนวน 1 พอร์ต และมีวงจรสำหรับพอร์ตตีอีสารอนุกรมต่อ กับ อุปกรณ์ภายนอก (Serial Peripheral Interface; SPI) จำนวน 1 พอร์ต
 - มีวงจรอตัวตั้งเวลาและตัวนับ (Timer/Counter) ขนาด 16 บิต จำนวน 3 ชุด
 - มีวงจรแปลงสัญญาณอนาล็อกเป็นดิจิทอล (Analog Digital Converter; ADC) ขนาด 10 บิต จำนวน 8 ช่อง (ใช้ Port-P1 โดยกำหนดจากโปรแกรม)
 - มีวงจรウォชด็อก (Watchdog), พาวเวอร์-ออนรีเซ็ต (Power-ON Reset), แกพเจอร์/คอมแพร์ (Capture/Compare) และวงจรmonitoring ความกว้างของสัญญาณพัลส์ (Pulse Width Modulation; PWM)
 - มีชุดต่อสัญญาณอินพุต/เอาต์พุตแบบทีทีแอล (TTL; Transistor-Transistor Logic) แบบヘader 2x5 (Header 2x5) จำนวน 5 ชุด (P0, P1, P2, P3 และ P4)
 - มีชุดต่อจอแสดงผลแอลซีดี (LCD) แบบ Header 2x7 รองรับการเชื่อมต่อ กับ อักษรและตัวอักษร (LCD Character) (เชื่อมต่อแบบ 4 บิต)
 - มีชุดต่อใช้งานพอร์ตตีอีสารอนุกรม (RS232) สำหรับใช้งาน และพอร์ตอีที-ดาวน์โหลด (ET-DOWNLOAD) สำหรับดาวน์โหลดผ่านพอร์ตตีอีสารอนุกรม

- มีหลอดแอลอีดี (LED) แสดงสถานะแหล่งจ่ายไฟ และเซลฟ์-เทส (Self-Test) สำหรับใช้ทดสอบการทำงานของบอร์ด
- ใช้แหล่งจ่ายไฟกระแสตรงขนาด 5 โวลต์
- ขนาดพีซีบี (PCB Size) เส้นผ่าศูนย์กลาง 8 x 6 เซนติเมตร

2.4 มอบหมายไฟฟ้ากระแสตรงและการควบคุม

มอบหมายไฟฟ้าคือเครื่องกลไฟฟ้า (Electromechanical Energy) ที่ทำหน้าที่เปลี่ยนพลังงานไฟฟ้า (Electric Energy) ให้เป็นพลังงานกล (Mechanical Energy) ในรูปของการเคลื่อนที่แบบหมุน มอบหมายไฟฟ้ามีโครงสร้างเบื้องต้นที่สำคัญ 2 ส่วนคือ ส่วนแม่เหล็กถาวรและส่วนของขดลวดตัวนำ ซึ่งมีโครงสร้างคล้ายกับเครื่องกำเนิดไฟฟ้าการทำงานของมอบหมายไฟฟ้าอาศัยสนามแม่เหล็ก 2 ชุดที่เกิดขึ้นได้แก่ สนามแม่เหล็กถาวร และสนามแม่เหล็กไฟฟ้าของขดลวดตัวนำส่งผลให้เกิดการผลักดันกันขึ้น ของสนามแม่เหล็กทั้งสองทำให้ขดลวดตัวนำที่วางอยู่กลางแม่เหล็กถาวรเกิดการหมุนเคลื่อนที่ไปได้

2.4.1 การทำงานของมอบหมายไฟฟ้ากระแสตรง

มอบหมายไฟฟ้ากระแสตรงประกอบด้วยแม่เหล็กถาวร 2 ชิ้นวางอยู่ระหว่างขดลวดตัวนำเมื่อมีการผ่านกระแสไฟฟ้าเข้าไปขึ้นขดลวดในสนามแม่เหล็กจะทำให้เกิดแรงแม่เหล็กซึ่งมีสัดส่วนของแรงขึ้นกับกระแสแรง โดยแรงจะเกิดขึ้นเป็นมุมจากกับกระแสและสนามแม่เหล็ก ขณะที่ทิศทางของแรงกลับตรงกันข้ามกัน ถ้าหากกระแสของสนามแม่เหล็กไหลขึ้นกลับจะทำให้เกิดการเปลี่ยนแปลงของกระแสและสนามแม่เหล็กเป็นผลทำให้ทิศทางของแรงเปลี่ยนไป ด้วยคุณสมบัตินี้ทำให้มอบหมายกระแสตรงกลับทิศทางการหมุนได้ ซึ่งสนามแม่เหล็กของมอบหมายส่วนหนึ่งเกิดขึ้นจากแม่เหล็กถาวรซึ่งจะถูกยึดติดกับแผ่นเหล็กหรือเหล็กกล้า โดยปกติส่วนนี้จะเป็นส่วนที่ยึดอยู่กับที่เหลขดลวดเหนือน้ำจะพ้นอยู่กับส่วนที่เป็นแกนหมุนของมอบหมาย

ซึ่งโครงงานนี้จะเป็นการออกแบบและสร้างระบบควบคุมตำแหน่งของมอบหมายไฟฟ้ากระแสตรงโดยใช้ไมโครคอนโทรลเลอร์ ตระกูล ตระกูล PIC โดยความเร็ว และตำแหน่งที่ต้องการจะถูกป้อนเข้าไปให้กับไมโครคอนโทรลเลอร์ทางพอร์ตอนุกรม โดยจะใช้โปรแกรมอินเตอร์เฟส (Visual Basic) เป็นตัวติดต่อรับส่งค่า และในการควบคุมให้มอบหมายหมุนตามความเร็วไปยังตำแหน่งที่ต้องการนั้นจะผ่านวงจรขั้บหมอบหมายอีกว่างซึ่งจะใช้ไมโครคอนโทรลเลอร์เป็นตัวสร้างมอเตอร์ควบคุมการวิ่งของสัญญาณพัลส์ (Pulse Width Modulation; PWM) ในการขับหมอบหมาย และในส่วนการตรวจสอบตำแหน่งจะใช้ตัวเข้ารหัส (Encoder) ส่งค่ากลับมายังไมโครคอนโทรลเลอร์ จากนั้นจะส่งค่ามาแสดงยังโปรแกรมอินเตอร์เฟสทางคอมพิวเตอร์

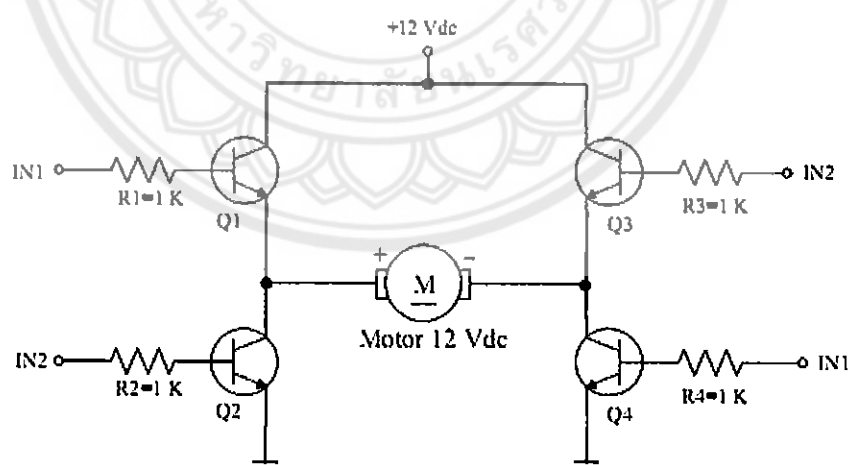
2.4.2 การควบคุมทิศทางการเคลื่อนที่ของมอเตอร์ไฟฟ้ากระแสตรง

หลักในการควบคุมมอเตอร์กระแสตรงนั้นคำสั่งที่ใช้ในการควบคุมทิศทางของมอเตอร์ จะใช้ข้อมูลเป็นลอจิก “0” และลอจิก “1” จากพอร์ตของหัวในโครค่อนไทรอลเดอร์ โดยจากตารางที่ 2.2 จะเขียนคำสั่งโดยใช้พอร์ต P0 ให้ P0.0 เป็นลอจิก “1” และ P0.1 เป็นลอจิก “0” ทำให้มอเตอร์หมุนตามเข็มนาฬิกา และเมื่อสลับพอร์ต P0.0 และ P0.1 ให้เป็นลอจิก “0” และลอจิก “1” ตามลำดับ จะทำให้มอเตอร์หมุนกลับทิศเป็นหมุนวนเข็มนาฬิกา และถ้าให้ทั้งสองพอร์ตเป็นลอจิก “0” จะทำให้มอเตอร์หยุดหมุน

ตารางที่ 2.2 ลอจิกควบคุมทิศทางมอเตอร์ไฟฟ้ากระแสตรง

ไม่โครค่อนไทรอลเดอร์	0.7	0.6	0.5	0.4	0.3	0.2	0.1	0.0	รหัสฐานสิบหก
หมุนตามเข็มนาฬิกา	0	0	0	0	0	0	0	1	H01
หมุนวนเข็มนาฬิกา	0	0	0	0	0	0	1	0	H02
หยุดหมุน	0	0	0	0	0	0	0	0	H00

เราสามารถควบคุมทิศทางการหมุนของมอเตอร์ได้โดยการใช้วงจรที่เรียกว่า เอชบริดจ์ (H-bridges) ซึ่งวงจรจะมีลักษณะดังรูปที่ 2.15



รูปที่ 2.15 วงจรเอชบริดจ์ (H-Bridges)

จากวงจรรูปที่ 2.15 การควบคุมให้มอเตอร์หมุนตามเข็มนาฬิกาโดยจะส่งลอจิก “1” ให้ทرانซิสเตอร์ Q1 และ Q4 ส่งลอจิก “0” ให้ทرانซิสเตอร์ Q2 และ Q3 ที่ขาเบนซ์ของทرانซิสเตอร์ทำให้ทرانซิสเตอร์ Q1 และ Q4 นำกระแสส่วนทرانซิสเตอร์ Q2 และ Q3 ไม่นำกระแส และถ้าต้องการให้มอเตอร์หมุน

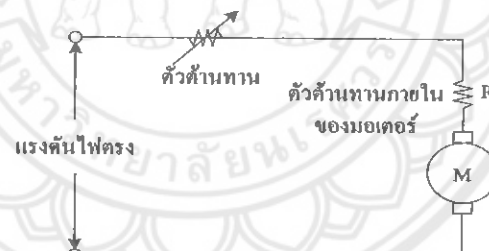
กลับทิศคือหยุนกวนเข็มนาฬิกา จะต้องส่งลอดจิก “1” ให้ทราบซิสเตอร์ Q2 และ Q3 ส่งลอดจิก “0” ให้ทราบซิสเตอร์ Q1 และ Q4 ที่ข้าเบสของทราบซิสเตอร์ ทำให้ทราบซิสเตอร์ Q2 และ Q3 นำกระแสส่วนทราบซิสเตอร์ Q1 และ Q4 ไม่นำกระแสส่วนໄดโอดทั้ง 4 ตัวมีหน้าที่ควบคุมทิศทางการไหลของกระแสจะที่ทราบซิสเตอร์ร่าน้ำและไม่นำกระแส

นอกจากวงจรเอชบีรีซแล้วปัจจุบันได้มีการนำเอาวงจรควบคุมทิศทางการเคลื่อนที่ของมอเตอร์มาไว้ในไอซีเพียงตัวเดียว ได้แก่ ไอซีเบอร์ L298, L293D, TA7279P เป็นต้น ซึ่งทำให้มีความสะดวกในการใช้งานมากขึ้น

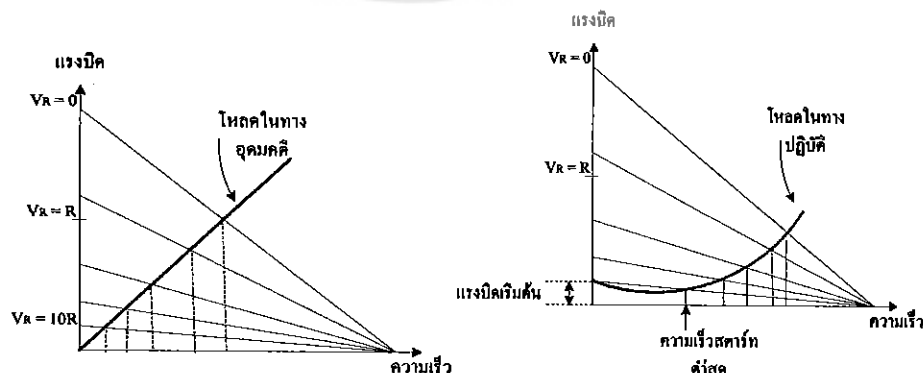
2.4.3 การควบคุมความเร็วของมอเตอร์ไฟฟ้ากระแสตรง

ระบบการควบคุมมอเตอร์ไฟฟ้ากระแสตรงขึ้นพื้นฐานสามารถแบ่งออกได้เป็นการควบคุมทั้งหมด 4 รูปแบบได้แก่

- การควบคุมด้วยตัวด้านท่านที่ปรับค่าได้เป็นรูปแบบพื้นฐานที่สุดของการควบคุมมอเตอร์คือ ใช้ตัวด้านท่านปรับค่าได้อัตโนมัติกับมอเตอร์ โดยตัวด้านท่านที่ปรับค่าได้จะเป็นตัวกำหนดความเร็วในการหมุนของมอเตอร์ การบังคับแบบนี้ไม่มีประสิทธิภาพ เพราะกำลังไฟสูญเสียไปในตัวความด้านท่าน มักนิยมใช้กับมอเตอร์ทั่วไป แต่การบังคับแบบนี้ให้คุณสมบัติการ starters ที่ (ให้แรงบิดสูงที่ความเร็วต่ำ) แต่จะให้ความเร็วสูงมากเมื่อมอเตอร์อยู่ในภาวะที่มีโหลดน้อยๆ ดังนั้นการบังคับแบบนี้มีประโยชน์เฉพาะภาวะที่แรงด้านคงที่ เช่น การบังคับความเร็วของเครื่องจักรเบนฟ้า เป็นต้น

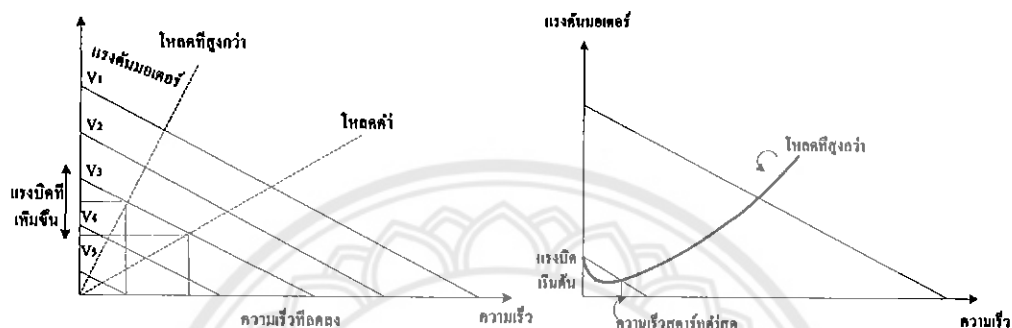


รูปที่ 2.16 วงจรควบคุมความเร็วของมอเตอร์กระแสตรงแบบใช้ตัวด้านท่านอัตโนมัติ



รูปที่ 2.17 กราฟแสดงคุณสมบัติของวงจรควบคุมความเร็วของมอเตอร์กระแสตรงแบบใช้ตัวด้านท่านอัตโนมัติ

2. การควบคุมด้วยวิธีเปลี่ยนค่าแรงดัน วิธีการนี้คือว่าวิธีการแรกแต่งซับซ้อนกว่าต้องใช้อุปกรณ์อิเล็กทรอนิกส์ที่ท้อตราชายาทำลังสูง และมอเตอร์จะถูกป้อนด้วยแรงดันที่เปลี่ยนแปลงค่าได้จากแหล่งจ่ายที่มีอินพีเดนซ์ต่ำ ข้อดีของการควบคุมวิธีนี้คือ ถ้าความเร็วลดลงจากผลของแรงบิดแรงดันที่ป้อนให้กับมอเตอร์จะเพิ่มขึ้นเพื่อรักษาระดับความเร็ว ส่วนข้อเสียจากการควบคุมวิธีนี้คือ เมื่อมอเตอร์มีความเร็วต่ำแรงดันที่ป้อนให้กับมอเตอร์จะมีค่าคำนวณกัน



รูปที่ 2.18 กราฟแสดงคุณสมบัติของวงจรควบคุมความเร็วของมอเตอร์กระแสตรงด้วยวิธีเปลี่ยนค่าแรงดัน

3. การควบคุมด้วยตัวต้านทานที่ปรับค่าไม่ได้ การควบคุมแบบนี้สามารถขับดึงมอเตอร์ได้ความเร็ว 10:1 และให้การเร็วถูกต้อง (Regulate) ที่ดีกว่ากระแสถูกปล่อยให้ฟลัดคงที่ ผลของคุณสมบัติ ความเร็วและแรงบิดได้รับการปรับปรุงดีขึ้นกว่าการบังคับด้วยความต้านทานที่ปรับค่าได้ และให้การเร็วถูกต้องที่ได้ดีขึ้นตลอดช่วงความเร็วที่กว้างกว่า

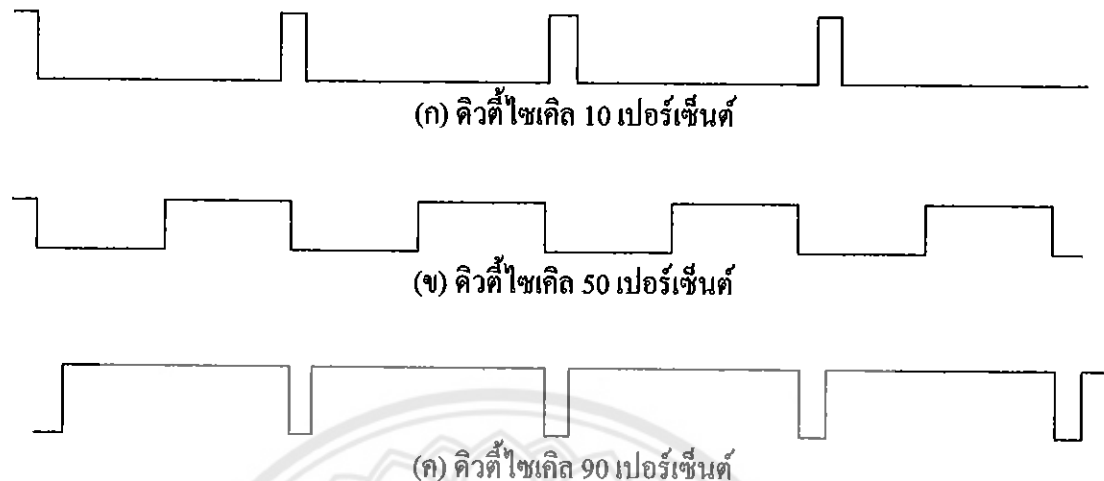
4. การควบคุมแบบมอคูลีชันความกว้างของสัญญาณพัลส์ (Pulse Width Modulation; PWM) การมอคูลีชันความกว้างของสัญญาณพัลส์ (Pulse Width Modulation; PWM) คือ เทคนิคสำหรับควบคุมวงจรทางค้านขยายคัวร์โอดิจิทัลโดยใช้สัญญาณเอาท์พุตแบบดิจิตอลของไมโครโปรเซสเซอร์ ควบคุมการทำงานของสัญญาณการมอคูลีชันความกว้างของสัญญาณพัลส์ดังรูปที่ 2.19 จะแสดงสัญญาณการมอคูลีชันความกว้างของสัญญาณพัลส์ที่แตกต่างกัน 3 สัญญาณ ซึ่งมีลักษณะการทำงานคือ

-รูปที่ 2.19 (ก) แสดงสัญญาณการมอคูลีชันความกว้างของสัญญาณพัลส์ที่ 10% คิวต์ไซเคิล (duty cycle) คือ สัญญาณในการทำงาน (ON) จะเป็น 10% ของความสัญญาณ และ จะหยุดทำงาน (OFF) เป็น 90% ของความสัญญาณ

-รูปที่ 2.19 (ข) แสดงสัญญาณการมอคูลีชันความกว้างของสัญญาณพัลส์ที่ 50% คิวต์ไซเคิลคือ สัญญาณในการทำงานจะเป็น 50% ของความสัญญาณ และ จะหยุดทำงานเป็น 50% ของความสัญญาณ

-รูปที่ 2.19 (ค) แสดงสัญญาณการมอคูลีชันความกว้างของสัญญาณพัลส์ที่ 90% คิวต์ไซเคิลคือ สัญญาณในการทำงานจะเป็น 90% ของความสัญญาณ และ จะหยุดทำงานเป็น 10% ของความสัญญาณ

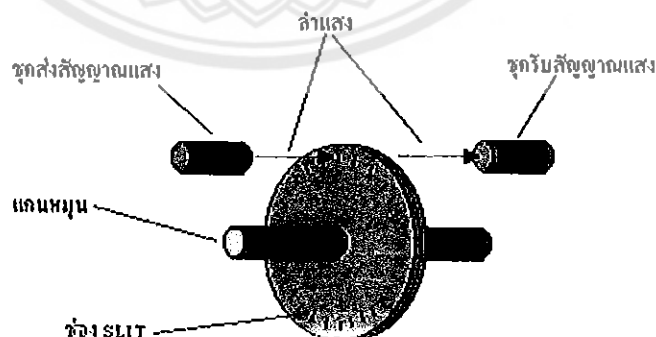
หมายเหตุ : On = High Level Off = Low Level



รูปที่ 2.19 แสดงสัญญาณการมอเตอร์ขั้นความกว้างของสัญญาณพัลส์ซึ่งแสดงถ้าดิวตี้ไซเคิลที่ต่างๆ กัน

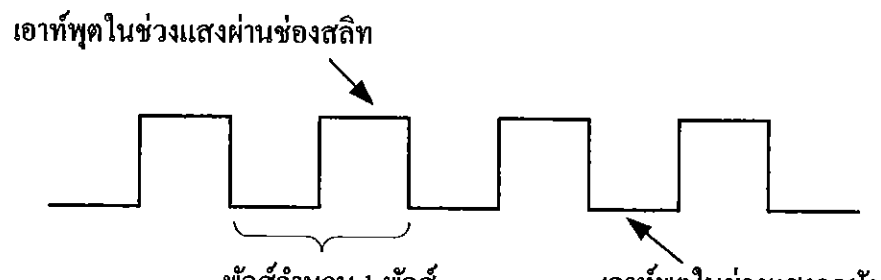
2.4.4 การควบคุมตำแหน่งของมอเตอร์ไฟฟ้ากระแสตรง

ในการควบคุมตำแหน่งของมอเตอร์นั้น เนื่องจากการเคลื่อนที่ของมอเตอร์เป็นการเคลื่อนที่แบบหมุนดังนั้นเราจึงนำเอาตัวเข้ารหัสแบบหมุน (Rotary Encoder) เข้ามาใช้และอ่านค่าออกมานะเพื่อตรวจสอบทิศทางและตำแหน่งของการเคลื่อนที่เพื่อนำมาทำการเปรียบเทียบตำแหน่งการเคลื่อนที่กับค่าอินพุตโดยหลักการทำงานของตัวเข้ารหัสแบบหมุนมีดังนี้ ตัวเข้ารหัสแบบหมุนมีลักษณะเป็นแผ่นกลมมีแกนอยู่ตรงกลางและที่แผ่นกลมจะมีช่องเล็กที่แสงสามารถส่องผ่านได้เป็นจำนวนมากเราเรียกช่องนี้ว่า ช่องสลิท (Slit) ซึ่งที่ด้านหนึ่งของแผ่นกลมนี้จะมีตัวส่งแสงอินฟราเรด (Infrared) ไปยังตัวรับสัญญาณแสงอินฟราเรดซึ่งจะอยู่ในด้านตรงกันข้ามดังรูปที่ 2.20



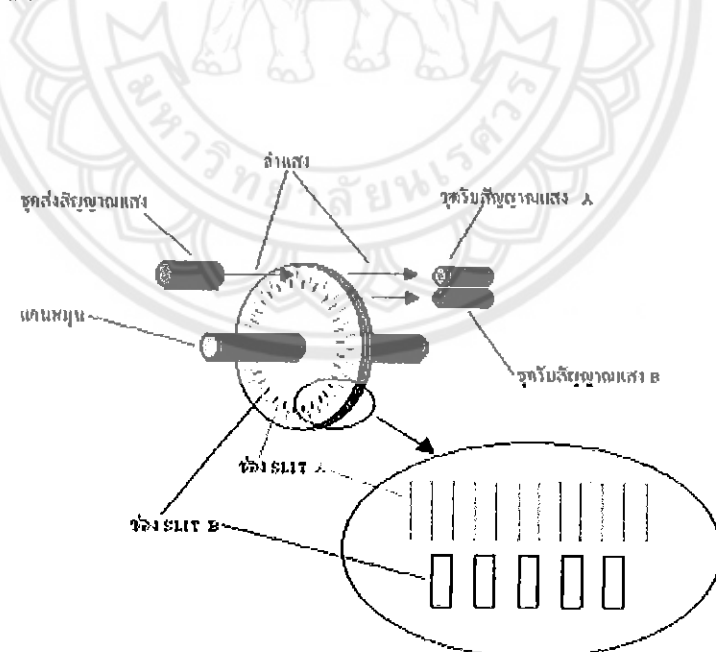
รูปที่ 2.20 ภาพแสดงตัวเข้ารหัสแบบหมุน (Rotary Encoder)

เมื่อหมุนแกนหมุนทำให้แผ่นกลมหมุนไปตัดคำแสงอินฟราเรด ดังนั้นชุดรับแสงอินฟราเรดจึงมีแสงมากกระทบเป็นช่วงๆ ตามจังหวะที่แสงผ่านช่องสlit ทำให้ สัญญาณเอาท์พุตของชุดรับแสง อินฟราเรดมีลักษณะเป็นพัลส์ (Pulse) ดังรูปที่ 2.21



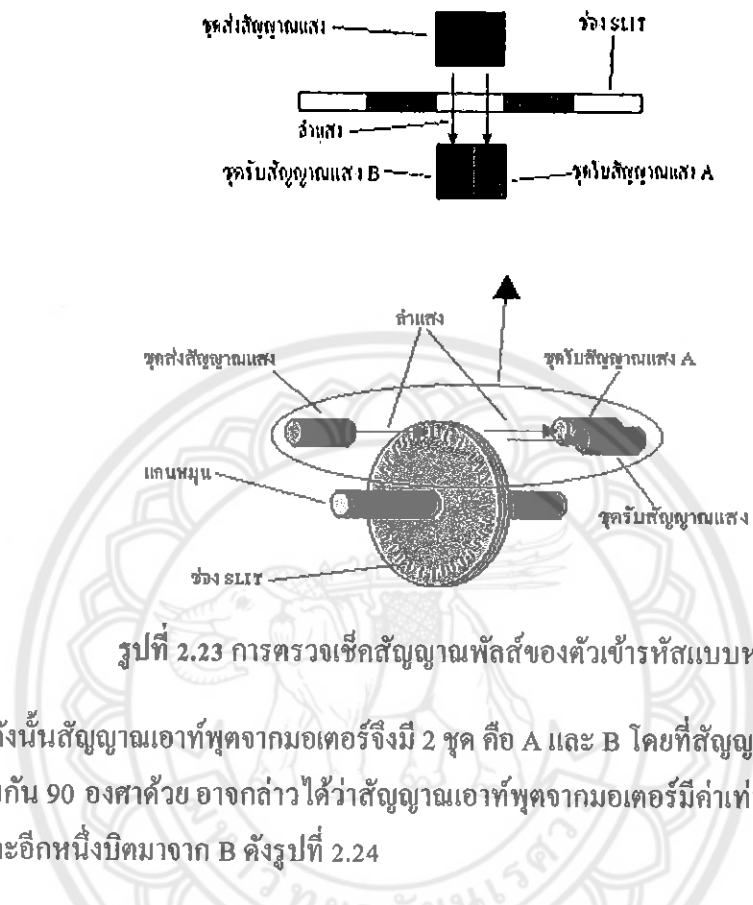
รูปที่ 2.21 การสร้างสัญญาณพัลส์ของตัวเข้ารหัสแบบหมุน

จำนวนพัลส์ที่ได้ออกมาจะเป็นตัวที่บ่งชี้ว่ามอเตอร์หมุนไปกี่องศาหรือกีรอบซึ่งเราสามารถคำนวณได้ จากสูตรจำนวนรอบที่มอเตอร์หมุนไปเท่ากับจำนวนพัลส์ โดยที่ค่าความละเอียดของตัวเข้ารหัสแบบหมุนนั้นนิยมใช้หน่วยเป็นพัลส์ต่อรอบ (Pulse /round หรือ ppr) เช่น 1000 พัลส์ต่อรอบก็หมายถึงว่าเมื่อมอเตอร์หมุนไป 1 รอบจะมีสัญญาณพัลส์ออกมา 1000 พัลส์เป็นต้น ส่วนในเรื่องที่ว่าเราจะทราบได้อย่างไรว่ามอเตอร์หมุนไปพิศทางใดนั้นส่วนใหญ่แล้วจะใช้วิธีสร้างช่องสไลท์เป็น 2 ชุดเหลือมกัน 90 องศา ดังรูปที่ 2.22



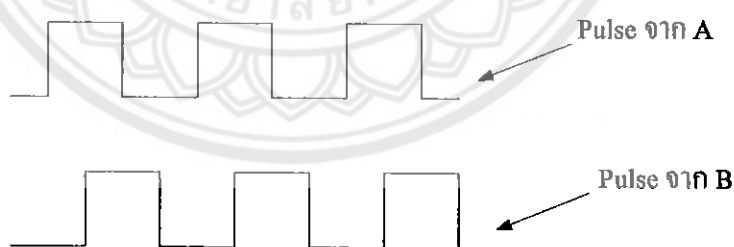
รูปที่ 2.22 พัลส์ของตัวเข้ารหัสแบบหมุนแบบสองเฟล

หรืออาจใช้ร่องสลิทเพียง 1 ชุด แต่มีการจัดวางชุดรับสัญญาณแสงดังรูปที่ 2.23 แต่ข้อสำคัญก็คือจะต้องมีมุมเฟส (Phase) ต่างกัน 90 องศา



รูปที่ 2.23 การตรวจเช็คสัญญาณพัลส์ของตัวเข้ารหัสแบบหมุน

ดังนี้น้ำสัญญาณเอาท์พุตจากมอเตอร์จะมี 2 ชุด กึ่ง A และ B โดยที่สัญญาณพัลส์จาก A และ B ที่จะเหลื่อมกัน 90 องศาด้วย อาจกล่าวได้ว่าสัญญาณเอาท์พุตจากมอเตอร์มีค่าเท่ากับ 2 บิตคือหนึ่งบิตมาจาก A และอีกหนึ่งบิตมาจาก B ดังรูปที่ 2.24



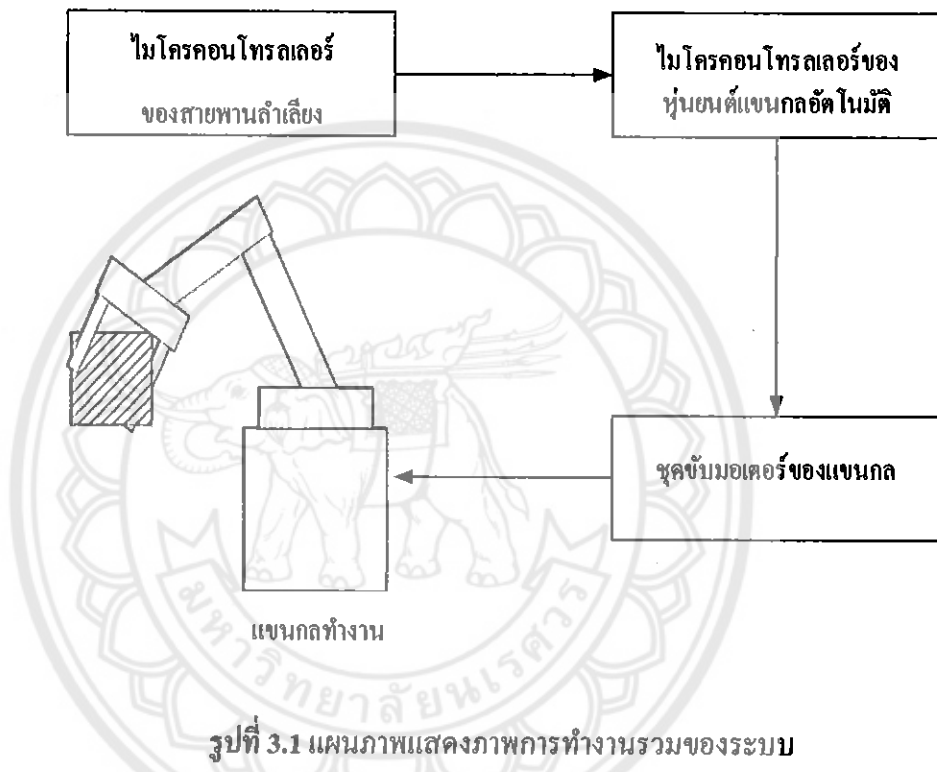
รูปที่ 2.24 ลักษณะสัญญาณพัลส์ของตัวเข้ารหัสแบบหมุนทั้งสองเฟส

ถ้าเราให้พัลส์ในช่วงขาขึ้น (High) มีค่าเป็น “1” และพัลส์ในช่วงขาลง (Low) มีค่าเป็น “0” เราสามารถใช้ค่าดังกล่าวมาคำนวณหาทิศทางที่มอเตอร์หมุนได้ด้วยใช้วิธีการทางคณิตศาสตร์คือการนำค่าที่อ่านได้มาทำการเอ็กซ์กูลซีฟออร์ (Exclusive OR, XOR) กัน โดยการนำบิตทางขวาของค่าเก่ามาเอ็กซ์กูลซีฟออร์กับบิตทางซ้ายของค่าใหม่ที่อ่านได้

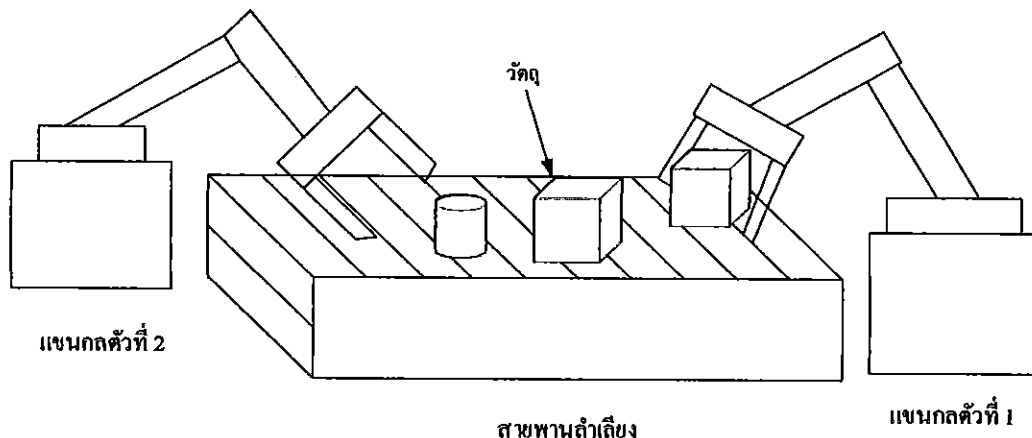
บทที่ 3

การออกแบบและการสร้างหุ่นยนต์แขนกลอัตโนมัติ

ในบทนี้จะเป็นการบอกรถึงการออกแบบขั้นตอนต่างๆในการสร้างหุ่นยนต์แขนกลอัตโนมัติ รวมไปถึงบอกรถว่าต่างๆที่ใช้ในการสร้างหุ่นยนต์แขนกลอัตโนมัติโดยการทำงานของหุ่นยนต์แขนกลแสดงดังรูปที่ 3.1



ในระบบการแสดงผลการทำงานของหุ่นยนต์แขนกลอัตโนมัติจะประกอบไปด้วย แขนกล 2 ตัวสายพานลำเลียง และสิ่งของที่ต้องการลำเลียง โดยแขนกลตัวแรกจะทำหน้าที่หยັງกล่องมาว่างไว้บนสายพานลำเลียงอย่างเดียว หลังจากนั้นแขนกลตัวที่สองจะทำการนำหัวที่ตรวจสอบว่ามีวัสดุที่ต้องการตามที่ตั้งค่าไว้ออกมาจากสายพาน โดยในการขับเคลื่อนการตรวจสอบนี้ได้ทั้งรูปทรงและสีของวัสดุที่ต้องการหยັງออกจากสายพานลำเลียง โดยแสดงดังรูปที่ 3.2

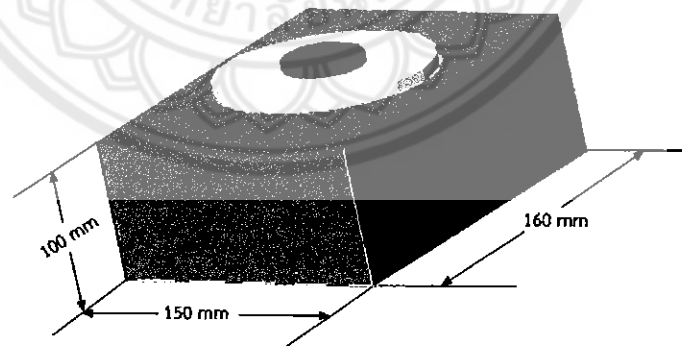


ดังรูป 3.2 ภาพแสดงการทำงานของหุ่นยนต์แบบกลบนสายพานสำลี

จากรูปแบบก่อตัวที่ 1 จะทำหน้าที่หินวัตถุลงมาในสายพานสำลี เมื่อวัตถุถูกสำลีไปบนสายพาน แบบก่อตัวที่ 2 จะทำหน้าที่ตรวจจับวัตถุและหินวัตถุที่ต้องการออกจากสายพาน

3.1 การออกแบบและการสร้างหุ่นยนต์แบบกลอัตโนมัติ

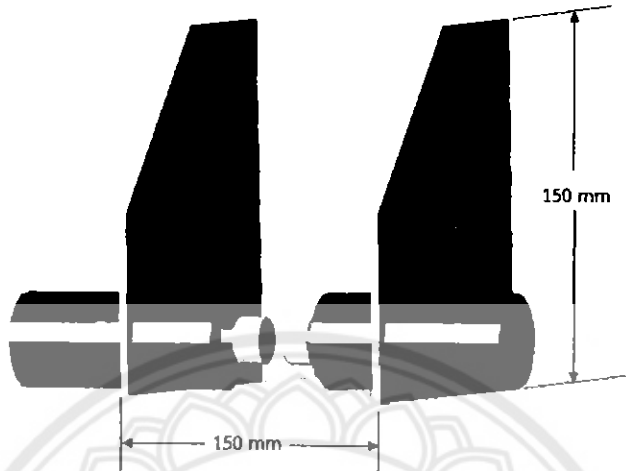
การออกแบบโครงสร้างของหุ่นยนต์แบบกลอัตโนมัตินั้นจะออกแบบหุ่นยนต์มีพื้นที่การทำงานครอบคลุมทุกทิศรอบตัวหุ่นยนต์ซึ่งมีรูปแบบคล้ายกับหุ่นยนต์แบบแขนข้อต่อ (Articulated Arm) (Revolute) Robot โดยการเคลื่อนที่ทุกจุดจะเป็นแบบหมุนซึ่งโครงสร้างของหุ่นยนต์จะประกอบด้วยช่วงเอว แขนท่อนบน แขนท่อนล่าง และมือจับ ส่วนประกอบแต่ละส่วนจะใช้มอเตอร์ไฟฟ้ากระแสตรง หนึ่งตัวเป็นตัวให้กำลังขับเคลื่อน โดยขนาดและรูปแบบแต่ละส่วนได้ถูกออกแบบไว้ดังนี้



รูปที่ 3.3 รูปแบบและขนาดของล่วนฐานของหุ่นยนต์แบบกล

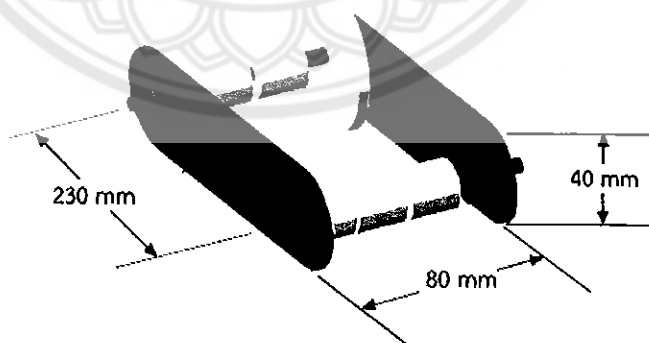
รูปที่ 3.3 เป็นรูปที่แสดงการออกแบบฐานของหุ่นยนต์แบบกลซึ่งออกแบบให้ฐานเป็นรูปสี่เหลี่ยมโดยฐานขั้นล่างเป็นสี่เหลี่ยมผืนผ้าขนาด 160×150 มิลลิเมตร ซึ่งให้เป็นพื้นที่สำหรับวาง

อุปกรณ์และวงจรควบคุมหุ่นยนต์ มีความสูง 100 มิลลิเมตร โดยส่วนกลางจะฐานเป็นส่วนของเพลา สำหรับยึดติดส่วนฐานกับส่วนเอวของหุ่นยนต์



รูปที่ 3.4 รูปแบบและขนาดส่วนเอวของหุ่นยนต์แขนกล

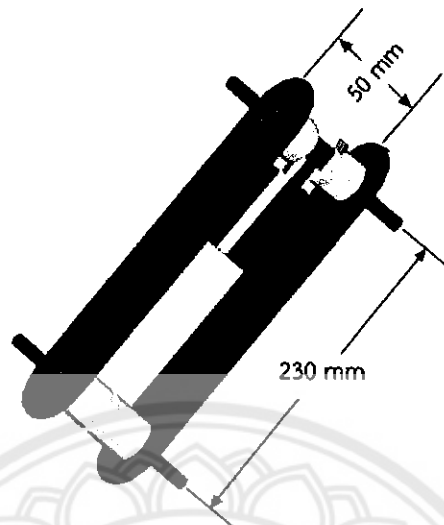
รูปที่ 3.4 เป็นรูปที่แสดงการออกแบบส่วนเอวของหุ่นยนต์แขนกลซึ่งเป็นส่วนที่อยู่ด้านนอก ด้านบนของส่วนฐานหุ่นยนต์โดยจะออกแบบด้านล่างเป็นรูปสี่เหลี่ยมขนาด 150×150 มิลลิเมตร และมีความสูงขนาด 150 มิลลิเมตรจะมีการวางมอเตอร์ทั้งหมด 2 ตัว การเคลื่อนที่ของส่วนเอวนี้จะเป็นการเคลื่อนที่แบบหมุน โดยจะมีจุดหมุนอยู่ตรงกลางของพื้นที่ด้านล่างและเคลื่อนที่ไปพร้อมๆ กัน สามารถหมุนได้ 200 องศา



รูปที่ 3.5 รูปแบบและขนาดส่วนแขนท่อนบนของหุ่นยนต์แขนกล

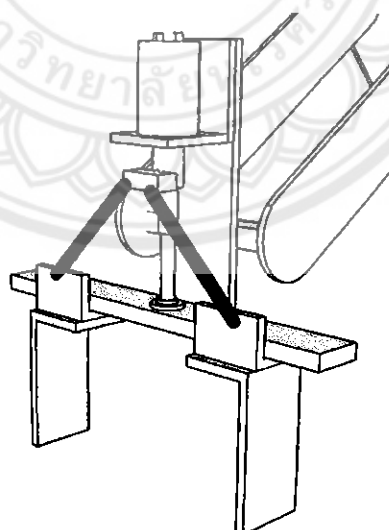
รูปที่ 3.5 เป็นรูปแสดงการออกแบบส่วนของท่อนแขนท่อนบนของหุ่นยนต์แขนกล โดยออกแบบเป็นแผ่นสี่เหลี่ยมตรงป้ายโถงกลมที่มีขนาดเท่ากัน วางฐานการซึ่งแต่ละแผ่นมีขนาด $80 \times$

40 มิลลิเมตร และเจาะร่องค้านปลายทั้งสองค้านสำหรับแกนของเพลาของเพื่องสายพานและเพื่องบนชิ้นส่วนนี้มีจุดหมุนที่แกนที่ต่อ กับเพื่องบนกับมอเตอร์



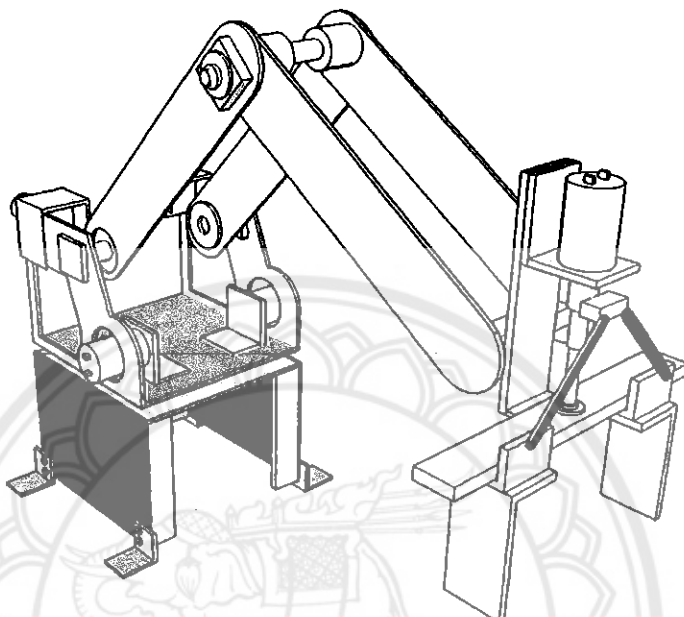
รูปที่ 3.6 รูปแบบและมีขนาดส่วนไหนท่อนล่างของหุ่นยนต์แขนกล

รูปที่ 3.6 เป็นรูปแสดงการออกแบบส่วนของแขนท่อนล่างของหุ่นยนต์แขนกลในส่วนนี้จะแบ่งออกเป็นสี่เหลี่ยมผืนผ้าปลายโถงกลมขนาดเท่ากัน 2 แผ่นวางขนาดกัน โดยมีขนาด 270x50 มิลลิเมตรและเจาะร่องค้านปลายทั้งสองค้านสำหรับแกนของเพลาของเพื่องสายพาน ซึ่งค้านปลายส่วนนี้จะมีเพื่องคงกอกที่ใช้ขั้มเคลื่อนมือจับสามารถหมุนขึ้นลงได้ 180 องศา



รูปที่ 3.7 รูปแบบส่วนมือจับของหุ่นยนต์แขนกล

รูปที่ 3.7 เป็นรูปแสดงการออกแบบเครื่องมือขับของหุ่นยนต์โดยจะออกแบบให้ส่วนที่เป็นกลไกการเคลื่อนที่มีขนาด $90 \times 10 \times 60$ มิลลิเมตร ความกว้างของมือที่ใช้ขับมีขนาด 80 มิลลิเมตร ซึ่งส่วนหน้าสัมผัสสามารถเดื่อนเข้าออกได้และจับวัสดุที่มีขนาด $0-80$ มิลลิเมตร เมื่อนำแต่ละชิ้นส่วนมาต่อกัน จะได้ลักษณะหุ่นยนต์แขนกลดังรูปที่ 3.8



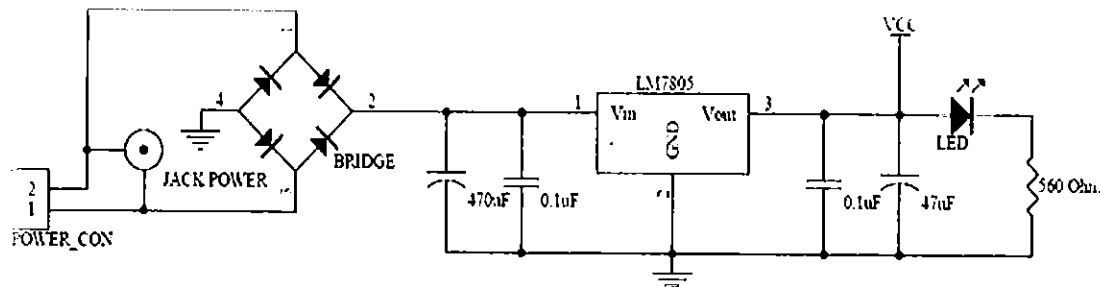
รูปที่ 3.8 รูปแบบของหุ่นยนต์แขนกล

3.2 วงจรที่ใช้ในหุ่นยนต์แขนกลอัตโนมัติ

วงจรที่ใช้ในการทำงานของหุ่นยนต์แขนกลนี้จะแบ่งออกเป็นวงจรส่วนจ่ายไฟวงจรส่วนควบคุมการเคลื่อนที่ และส่วนการควบคุมสัญญาณป้อนกลับ โดยวงจรที่ใช้มีดังนี้

3.2.1 วงจรส่วนจ่ายไฟ

ในส่วนของวงจรภาคจ่ายไฟนั้นจะใช้แหล่งจ่ายไฟกระแสสลับ 220 โวลต์ต่อผ่านหน้อแปลงเป็นกระแสสลับ 12 โวลต์ ผ่านวงจรเรียงกระแสและต่อเข้าวงจรรักษาแรงดันเพื่อจ่ายไฟให้กับส่วนต่างๆของหุ่นยนต์แขนกล

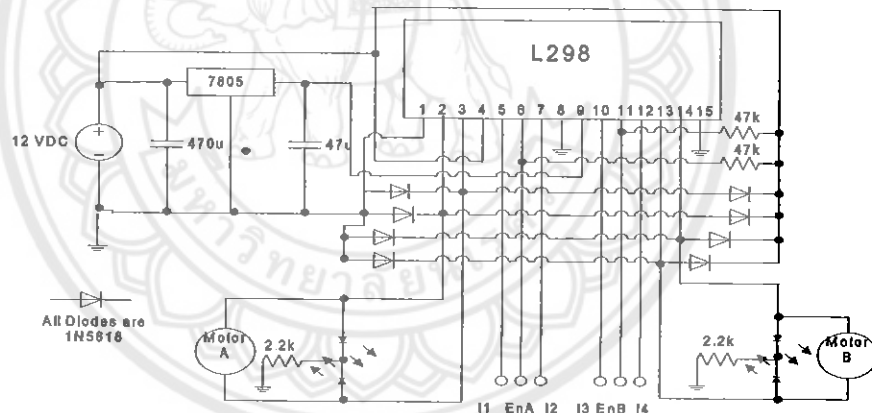


รูปที่ 3.9 วงจรภาคจ่ายไฟ

รูปที่ 3.9 Bridge Diode ทำหน้าที่แปลงไฟ ให้เป็นไฟ + ทำให้สามารถจ่ายไฟเข้าวงจรนี้เป็นไฟกระแสสลับ หรือไฟกระแสตรงที่ 9-12V ได้โดยไม่จำเป็นต้องกำเนิดถึงขั้วของการต่อไฟ

3.2.2 วงจรส่วนขับเคลื่อนมอเตอร์

ในส่วนของวงจรขับเคลื่อนจะใช้วงจร L298 ซึ่งในวงจรรวมหนึ่งทัวสามารถขับมอเตอร์ได้ 2 หัวโดยวงจรขับมอเตอร์

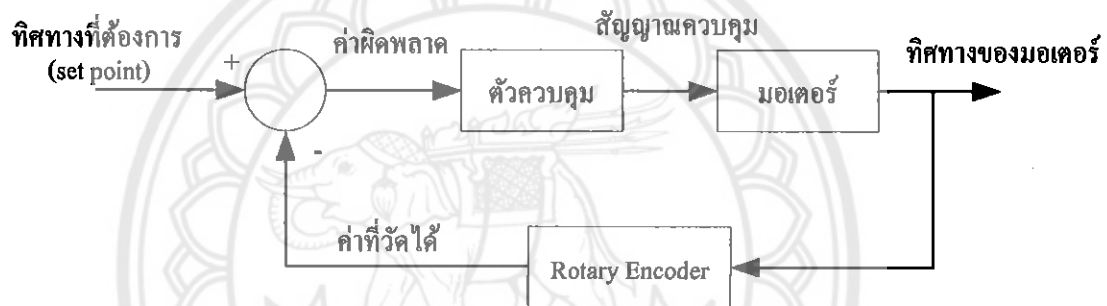


รูปที่ 3.10 วงจรขับมอเตอร์โดยวงจรรวมเบอร์ L298

จากรูปที่ 3.10 เป็นรูปแสดงวงจรขับมอเตอร์โดยใช้วงจรรวมเบอร์ L298 ซึ่งมีแหล่งจ่ายไฟกระแสตรงแรงดัน 12 โวลต์ จ่ายไฟให้มอเตอร์ทึ้งสองหัว และใช้วงจรรวมเบอร์ 7805 เพื่อรักษาแรงดันแรงดัน 5 โวลต์ จ่ายเป็นไฟเดี่ยงให้กับวงจรรวมขับมอเตอร์เบอร์ L298 โดยป้อนอินพุตที่ I1, I2, I3, I4 เพื่อกำหนดทิศทางการหมุนของมอเตอร์ทึ้งสองหัวและให้ขา En A, En B เป็นล็อจิก “1” เพื่อให้มอเตอร์ทำงาน

3.2.3 ระบบความคุณแบบป้อนกลับ

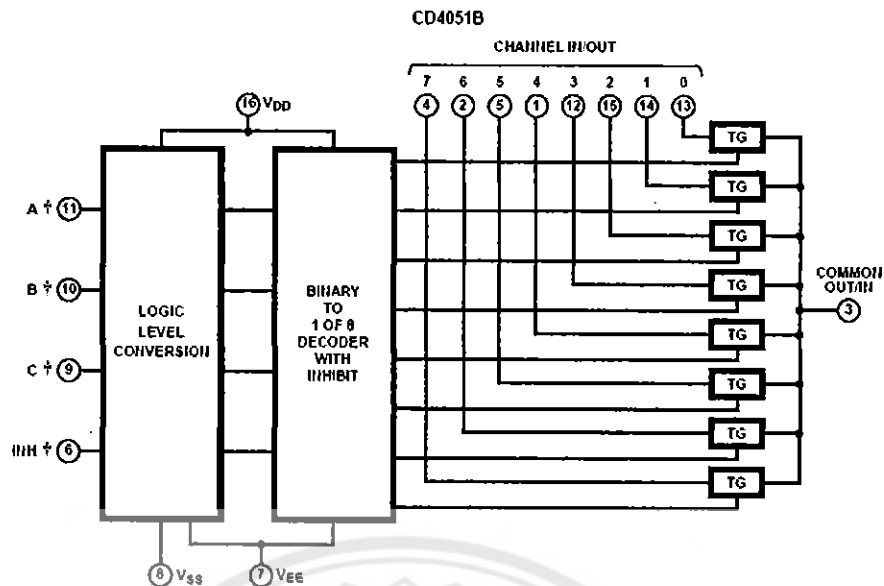
เป็นระบบควบคุมโดยจะเริ่มจากการป้อนค่าเป้าหมาย (Set point) ที่ต้องการซึ่งก็คือค่าแรงดันที่รับมาชุดควบคุมเปลี่ยนค่าแรงดันของคอนโทรลเลอร์ 1 เข้ามายังชั้มนิ่งพอยท์ (Summing point) ทางด้านบนกางส่วนทางด้านลับของชั้มนิ่งพอยท์จะรับค่าจากเอาท์พุตของกระบวนการ ในที่นี้คือค่าที่รับมาจากชุดควบคุมเปลี่ยนค่าแรงดันของแขนกล ซึ่งได้จากการประมวลผลและส่งสัญญาณไปยังชุดขับมอเตอร์เพื่อไปขับมอเตอร์ที่แขนกลค่าทั้ง 2 ที่เข้ามายังชั้มนิ่งพอยท์จะถูกหักล้างกันจนออกมาเป็นค่าความผิดพลาด ซึ่งจะทำการเปรียบเทียบค่า ถ้าค่าไม่ตรงกันค่าเป้าหมายให้ทำการควบคุมค่าแรงดันที่ออกทางเอาท์พุตซึ่งจะเปลี่ยนแปลงค่าไปเรื่อยๆ การทำงานจะวนลูปแบบนี้ไปเรื่อยๆจนกระทั่งค่าแรงดันที่รับมาจากชุดควบคุมเปลี่ยนค่าแรงดันของคอนโทรลเลอร์และค่าที่รับมาจากชุดควบคุมเปลี่ยนค่าแรงดันของคอนโทรลเลอร์เท่ากันเมื่อนำมาหักล้างกันค่าความผิดพลาดก็จะเหลือศูนย์ นั่นหมายความว่ากระบวนการการทำงานได้ตรงตามค่าเป้าหมายที่ต้องการพอดีดังรูปที่ 3.11



รูปที่ 3.11 ภาพแสดงระบบควบคุมแบบข้อมูลนับของตัวคอนโทรลเลอร์

3.2.4 วงศ์รมัตติเพล็กซ์กเซอร์

งรมมัลติเพล็กซ์อร์เป็นส่วนที่ใช้สำหรับเลือกสัญญาณจากตัวเข้าร์หัสเพื่อป้อนสัญญาณให้กับในโกรคอนโทรลเลอร์ เมื่อจากในโกรคอนโทรลเลอร์ไม่สามารถรับสัญญาณจากภายนอกพร้อมกันหลายสัญญาณได้ ดังนั้นจึงจำเป็นต้องมีตัวมัลติเพล็กซ์อร์เป็นตัวเลือกสัญญาณเพื่อป้อนให้ในโกรคอนโทรลเลอร์ที่จะสัญญาณ โดยวงจรมัลติเพล็กซ์อร์ที่ใช้นั้นจะเป็นวงจรรวมสำเร็จรูปเบอร์ CD4051BE ซึ่งมีลักษณะของวงจรภายในดังแสดงในรูปที่ 3.12



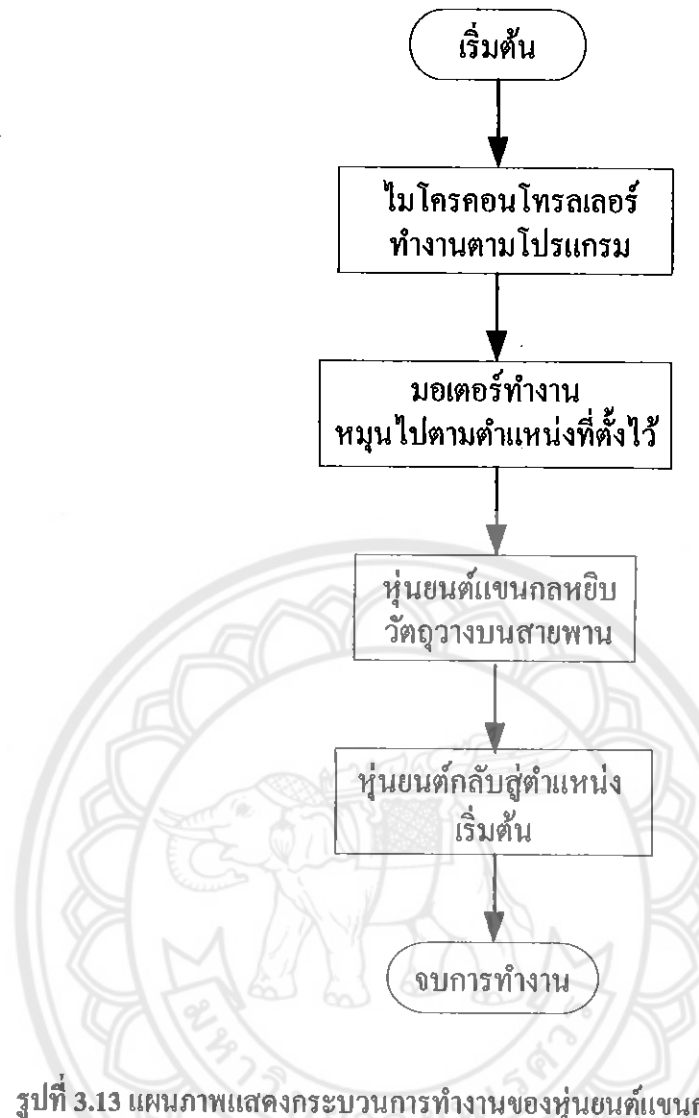
รูปที่ 3.12 วงจรภายในของจ่วงรวมเบอร์ CD4051BE

3.3 ขั้นตอนการทำงานของหุ่นยนต์แขนกล

หุ่นยนต์แขนกลอัตโนมัติแฟลกนี้จะประกอบไปด้วยหุ่นยนต์แขนกลที่ทำงานเหมือนกันทั้งหมด 2 ตัว โดยที่หุ่นยนต์ตัวที่ 1 จะทำหน้าที่ในการหินสิ่งของไปวางบนสายพาน และหุ่นยนต์ตัวที่ 2 จะทำหน้าที่ในการหินสิ่งของออกจากสายพาน โดยการทำงานนี้เป็นการจำลองการล่าเลียงสิ่งของภายในโรงงานอุตสาหกรรม โดยไม่ผ่านกระบวนการจำแนกสิ่งของใดๆทั้งสิ้น โดยที่หุ่นยนต์แขนกลทั้งสองตัวจะทำงานตามโปรแกรมที่เขียนไว้กับไมโครคอนโทรลเลอร์ให้ทำงานตามคำสั่งแบบอัตโนมัติ

3.3.1 การทำงานของหุ่นยนต์แขนกลอัตโนมัติตัวที่ 1

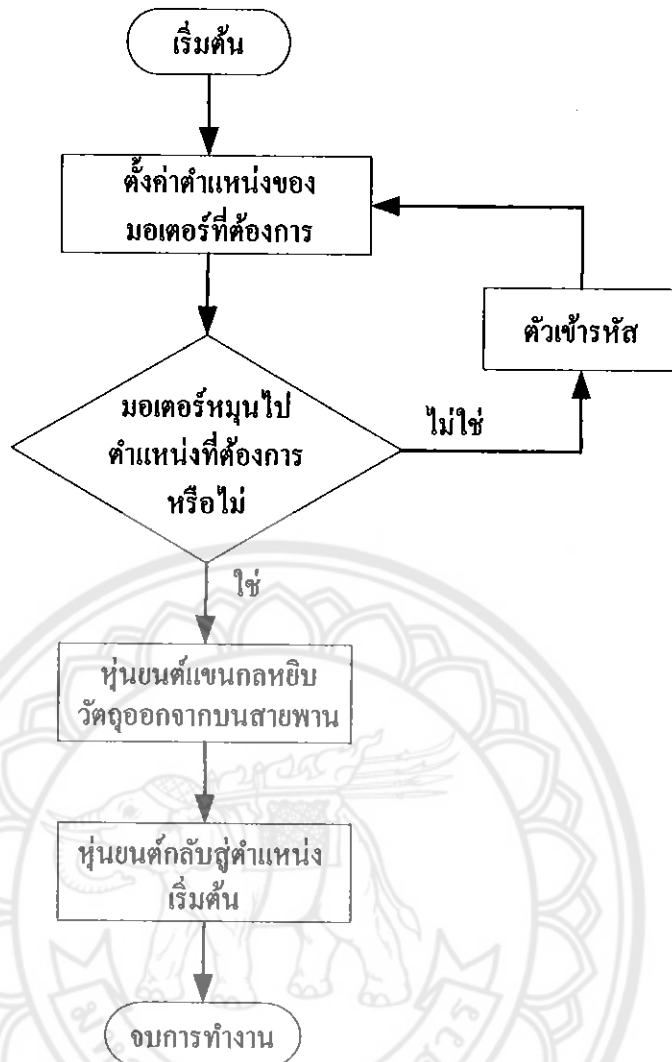
หุ่นยนต์ตัวที่ 1 จะมีการทำงานตามแผนภาพที่แสดงไว้ในรูปที่ 3.13 จากแผนภาพแสดงให้เห็นว่าหุ่นยนต์แขนกลอัตโนมัติตัวที่ 1 มีการทำงานโดยเริ่มต้นจากตำแหน่งเดิมเริ่มต้นของหุ่นยนต์ จากนั้นหุ่นยนต์จะทำงานตามโปรแกรมที่ตั้งไว้เพื่อให้ไปหินสิ่งของและนำไปวางลงบนสายพานลำเลียง และเมื่อหินสิ่งของนั้นแล้ว หุ่นยนต์จะกลับสู่ตำแหน่งเดิมของมัน เป็นอันสิ้นสุดกระบวนการทำงาน



รูปที่ 3.13 แผนภาพแสดงกระบวนการทำงานของหุ่นยนต์เขียนกล้ออัตโนมัติครั้วที่ 1

3.3.2 การทำงานของหุ่นยนต์เขียนกล้ออัตโนมัติครั้วที่ 2

หุ่นยนต์เขียนกล้ออัตโนมัติครั้วที่ 2 โดยให้หุ่นยนต์ทำงานตามโปรแกรมที่เขียนไว้ให้กับไมโครคอมพิวเตอร์ตามขั้นตอนที่หุ่นยนต์กำลังทำงานจะมีการตรวจสอบระยะทางเคลื่อนที่ของหุ่นยนต์ตลอดเวลาว่าเคลื่อนที่ไปยังตำแหน่งที่ถูกต้องหรือไม่ โดยจะนำสัญญาณพัลส์ที่ได้จากชุดหัวเข้ารหัสแบบหมุนสั่งผ่านวงจรแมตติเพล็กซ์หรือเพื่อเลือกสัญญาณที่จะนำไปสู่หุ่นยนต์ ไมโครคอมพิวเตอร์เพื่อตรวจสอบระยะทางเคลื่อนที่ของหุ่นยนต์ และการทำงานของมอเตอร์จะให้มอเตอร์ทำงานที่จะดึงกระบากหุ่นยนต์เริ่มจับสิ่งของจนถึงหุ่นยนต์วางสิ่งของเสร็จแล้วจึงเริ่มทำงานในรอบต่อไป โดยลักษณะการทำงานของหุ่นยนต์เป็นไปตามรูปที่ 3.14



รูปที่ 3.14 แผนภาพแสดงกระบวนการทำงานของหุ่นยนต์แขนกลอัตโนมัติตัวที่ 2

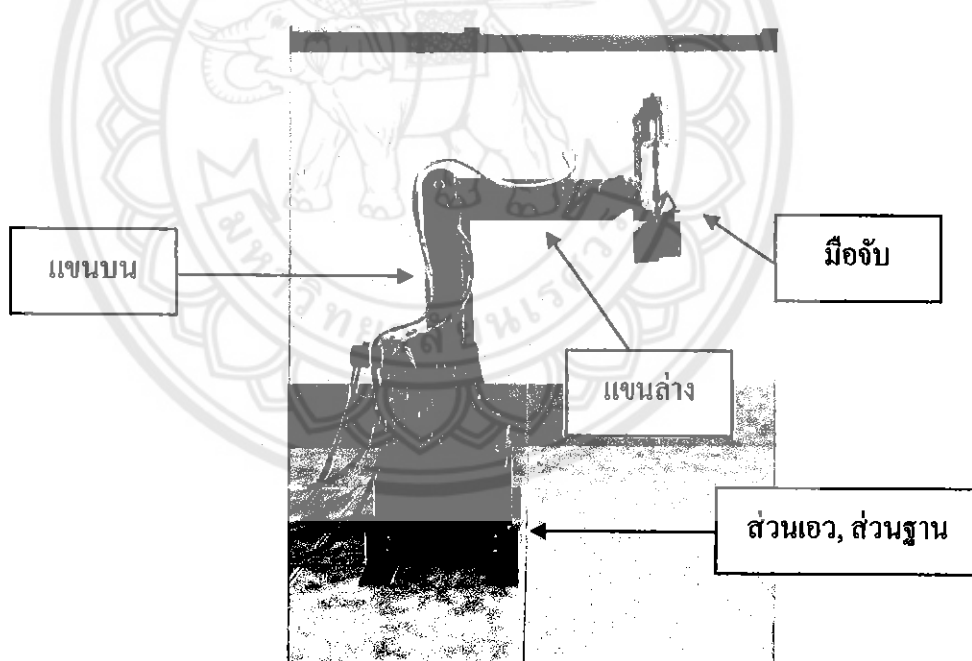
บทที่ 4

ผลการดำเนินการโครงการ

ขั้นตอนการทำงานของหุ่นยนต์แขนกลอัตโนมัติดังที่กล่าวแล้วในบทที่ 3 คือ เริ่มโปรแกรมความคุณให้กับไมโครคอนโทรลเลอร์ จากนั้นในไมโครคอนโทรลเลอร์จะทำงานตามโปรแกรมโดยขณะที่หุ่นยนต์กำลังทำงานนั้นจะมีการตรวจสอบการเคลื่อนที่จากตัวเข้ารหัสแบบหมุน (Rotary Encoder) ว่าเคลื่อนท้ายไปตัวไหนงที่ถูกต้องหรือไม่ โดยในส่วนของแขนกลนี้จะมีการควบคุมการทำงานโดยไมโครคอนโทรลเลอร์

4.1 กระบวนการการทำงานของหุ่นยนต์แขนกลอัตโนมัติ

กระบวนการทำงานของหุ่นยนต์จะเริ่มจากที่หุ่นยนต์อยู่ในตำแหน่งเริ่มต้น โดยแบ่งท่อนบนอยู่ในตำแหน่งตั้งจากกับฐานของหุ่นยนต์ แบ่งท่อนล่างอยู่ที่ตำแหน่งตั้งจากกับแบบท่อนบนหันด้านมือจับไปด้านหน้าและมือจับอยู่ในตำแหน่งที่หน้าสัมผัสของมือจับสัมผัสกันสนิทซึ่งลักษณะของตำแหน่งเริ่มต้นการทำงานแสดงดังรูปที่ 4.1



รูปที่ 4.1 ลักษณะตำแหน่งเริ่มต้นการทำงานของหุ่นยนต์แบนกลอต โนมตี

จากนั้นโปรแกรมจะสั่งให้หุ่นยนต์เริ่มทำงานโดยเริ่มจากการหมุนมองต่อร์ส่วนฐานไปยังตำแหน่งวัดถูกที่ตั้งไว้แล้วทำการเกลื่อนส่วนแขนท่อนบน แขนท่อนล่างและมือจับเพื่อทำการจับวัตถุ จากนั้นแขนท่อนบนและแขนท่อนล่างจะยกวัตถุขึ้นแล้วมองต่อร์ส่วนฐานจะหมุนให้วัตถุไปยังตำแหน่งที่ต้องการแล้วแขนท่อนและแขนท่อนล่างจะวางวัตถูลงแล้วมือจับก็จะปล่อยวัตถุนั้นออกแล้วจึงยกแขน

ขึ้นแล้วส่วนทั้งหมดก็จะกลับมาอยู่ในสถานะเริ่มต้นแล้วจึงเริ่มทำงานใหม่ไปเรื่อยๆ ขึ้นอยู่กับการออกแบบโปรแกรมควบคุม

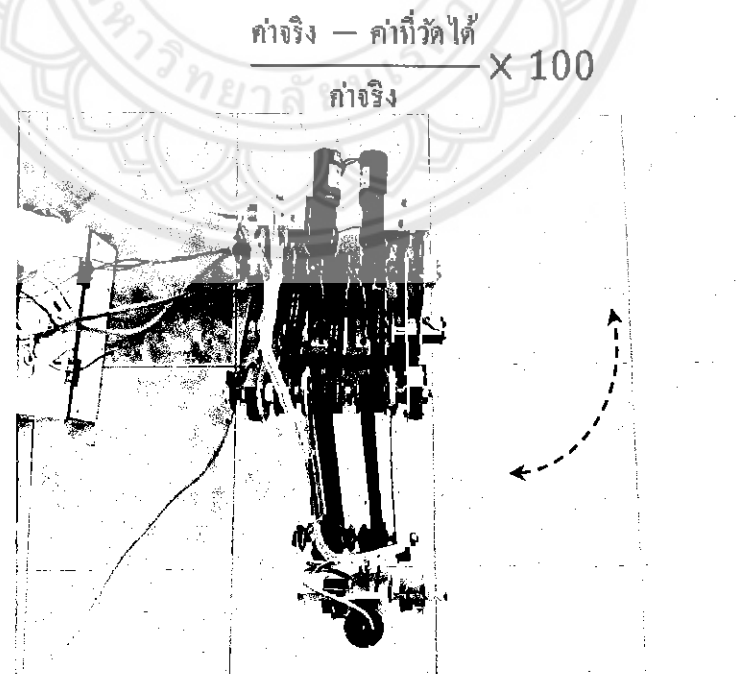
4.2 ผลการทดลองการทำงานของหุ่นยนต์แขนกลอัตโนมัติ

ในการทดลองการทำงานของหุ่นยนต์แขนกลอัตโนมัติ ได้ทำการตั้งข้อบ่งบอกการทำงานของหุ่นยนต์โดยให้หุ่นยนต์โดยให้หุ่นยนต์จับวัตถุจากตำแหน่งหนึ่งไปวางอีกตำแหน่งหนึ่ง โดยมีระห่างกัน 180 องศา การหมุนของมอเตอร์ทั้ง 4 ตัวที่ติดกับฐานหุ่นยนต์ ซึ่งเกณฑ์ในการวัดความสามารถของหุ่นยนต์ แขนกลอัตโนมัติที่ใช้ในการทดลองได้แก่ ความแม่นยำในการหมุนของมอเตอร์ ความแม่นยำในการเคลื่อนย้ายวัตถุ ความเร็วในการเคลื่อนย้ายวัตถุ โดยได้ทำการทั้งหมด 4 การทดลองดังต่อไปนี้

1. การทดลองความแม่นยำในการหมุนของมอเตอร์
2. การทดลองความสามารถของมือจับหุ่นยนต์
3. การทดลองความแม่นยำในการเคลื่อนย้ายวัตถุจากแนวระดับหนึ่งไปยังอีกระดับหนึ่ง
4. การทดลองความแม่นยำในการจับลิ้งของที่เลื่อนบนสายพาน

4.2.1 การทดลองความแม่นยำในการหมุนของมอเตอร์

การทดลองเป็นการทดลองโดยวัดความแม่นยำในการหมุนของมอเตอร์ทั้ง 4 ตัวที่ติดกับส่วนฐาน แขนท่อนบน แขนท่อนล่าง ซึ่งจะทำซ้ำกัน 5 รอบ โดยลักษณะการหมุนแสดงดังรูปที่ 4.2 และผลการทดลองสามารถแสดงดังตารางที่ 4.1, 4.2 และ 4.3 พร้อมเปรียบเทียบความคลาดเคลื่อนโดยรวมในแต่ละองศา



รูปที่ 4.2 ลักษณะการหมุนในแนวระนาบ

ตารางที่ 4.1 ผลการทดสอบความแม่นยำในการหมุนของฐานหุ่นบนต์ในแนวระนาบ

รอบที่	ระยะความคลาดเคลื่อน(องศา)		
	45	90	180
1	+3	+5	+10
2	+3	+5	+10
3	+3	+5	+10
4	+3	+5	+10
5	+3	+5	+10
เบอร์เซ็นต์ คลาดเคลื่อนเฉลี่ย	6.67%	5.56 %	5.56 %

จากการทดสอบความแม่นยำในการหมุนของมอเตอร์ จะเห็นได้ว่าการหมุนของมอเตอร์ในแนว
ระนาบนั้นมีความแม่นยำสูง เปอร์เซ็นต์คลาดเคลื่อนของแต่ละองศาอยู่ที่ 5 – 7 %

ตารางที่ 4.2 ผลการทดสอบความแม่นยำในการหมุนแบบท่อนบนในแนวระดับ

รอบที่	ระยะความคลาดเคลื่อน(องศา)		
	30	45	60
1	+1	+2	+3
2	+1	+2	+3
3	+1	+2	+3
4	+1	+2	+3
5	+1	+2	+3
เบอร์เซ็นต์ คลาดเคลื่อนเฉลี่ย	3.33%	4.44%	5%

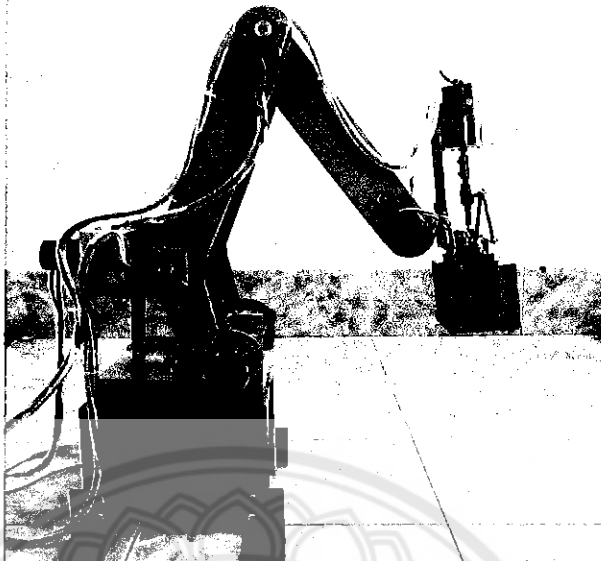
ตารางที่ 4.3 ผลการทดสอบความแม่นยำในการหมุนของแขนท่อนล่างในแนวระดับ

รอนที่	ระยะความคลาดเคลื่อน(องศา)		
	15	30	45
1	+1	+1	+1
2	+1	+1	+1
3	+1	+1	+1
4	+1	+1	+1
5	+1	+1	+1
เปอร์เซ็นต์ คลาดเคลื่อนเฉลี่ย	6.67%	3.33%	2.22%

จากการทดสอบความแม่นยำในการหมุนของมอเตอร์ จะเห็นได้ว่าการหมุนของมอเตอร์ในแนวระดับของแขนท่อนล่างและแขนท่อนบน เปอร์เซ็นต์คลาดเคลื่อนอยู่ที่ 2 – 6 % ซึ่งถือได้ว่ามีความแม่นยำสูง

4.2.2 การทดสอบความสามารถของมือจับหุ้นยนต์

การทดสอบนี้เป็นการทดสอบความสามารถในการทำงานของมือจับหุ้นยนต์ โดยจะทดสอบความสามารถในการจับวัตถุขนาดต่างๆ โดยวัดดูแต่ละชนิดจะมีรูปทรง ขนาด น้ำหนัก ที่แตกต่างกัน ออกนำไปโดยจะทำการทดสอบว่ามือจับของหุ้นยนต์จะสามารถจับลิ้งของที่มีรูปทรง ขนาด น้ำหนัก ได้บ้าง โดยเริ่มต้นให้มือจับหุ้นยนต์จับลิ้งของแล้วทำการยกขึ้นกางไว้ โดยลักษณะการจับแสดงดังรูปที่ 4.3 และผลการทดสอบที่ได้แสดงในตารางที่ 4.4



รูปที่ 4.3 การทดลองจับสิ่งของมือจับ

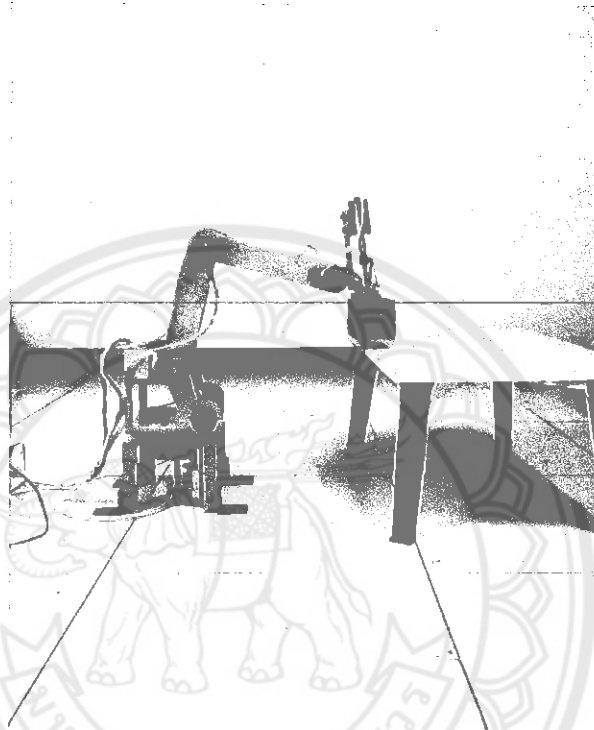
ตารางที่ 4.4 ผลการทดลองการจับสิ่งของมือจับหุ่นยนต์

วัตถุที่ทำการทดลอง	รูปทรงของวัตถุ	น้ำหนัก (กรัม)	ผลการทดลอง (ได้/ไม่ได้)
กล่องกระดาษ	สี่เหลี่ยม	50	ได้
กระป๋องศีสเปรย์	ทรงกระบอก	260	ได้
ม้วนสติ๊กเกอร์	วงกลม	320	ได้
กระป้องกาวยา	ทรงกระบอก	240	ได้
น้ำตาลทราย	ทรงกระบอก	500	ได้
เครื่องเจียรไฟฟ้า	ทรงกระบอก	1200	ไม่ได้
ขวดน้ำ (มีน้ำ)	ทรงกระบอก	1500	ไม่ได้
กระน้ำอัดลม(มีน้ำ)	ทรงกระบอก	350	ได้
อิฐ	สี่เหลี่ยม	700	ได้
ขวดชาเขียว	ทรงกระบอก	350	ได้

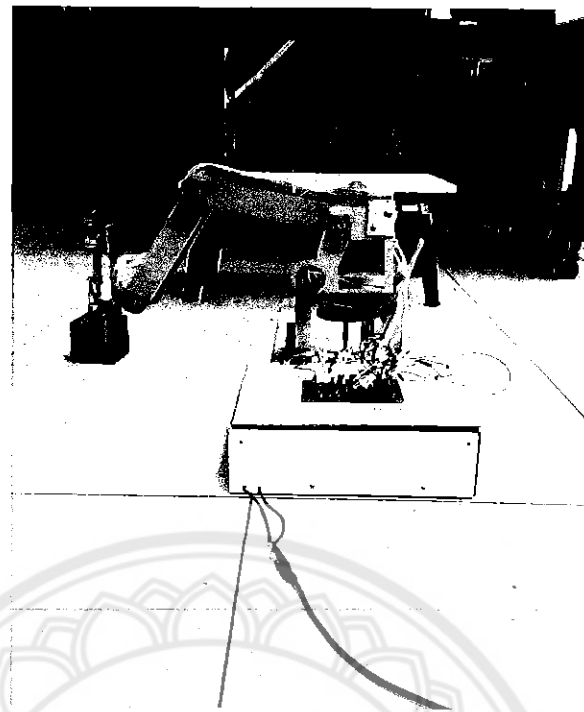
จากการทดลองการจับสิ่งของมือจับจะเห็นได้ว่ามือจับจะสามารถจับสิ่งที่มีน้ำหนักไม่เกิน 700 กรัม และจากการทดลองมือจับจะสามารถจับสิ่งของที่มีรูปทรงสี่เหลี่ยมได้ดีกว่ารูปทรงกระบอก

4.2.3 การทดลองความแม่นยำในการเคลื่อนย้ายวัตถุจากแนวระดับหนึ่งไปยังอีกระดับหนึ่ง

การทดลองนี้เป็นการทดลองการเคลื่อนย้ายวัตถุโดยให้หุ่นยนต์จับวัตถุจากชุดหนึ่งแล้วนำไปวางอีกตำแหน่งหนึ่งซึ่งอยู่ต่างระดับกัน (30 เซนติเมตร) และระบบการกระแสขัดในแนวระดับห่างกัน 60 เซนติเมตร ซึ่งจะทำการทดลองทั้งหมด 5 ครั้ง โดยจะรีเซ็ตหุ่นยนต์ให้อบูญในสถานะตำแหน่งเริ่มต้นทุกครั้ง โดยแสดงดังรูปที่ 4.4 และรูปที่ 4.5 และผลการทดลองแสดงในตารางที่ 4.5



รูปที่ 4.4 การทำงานของหุ่นยนต์ในการจับสิ่งของต่างระดับ



รูปที่ 4.5 การทำงานของหุ่นยนต์ในการตรวจสิ่งของต่างระดับ

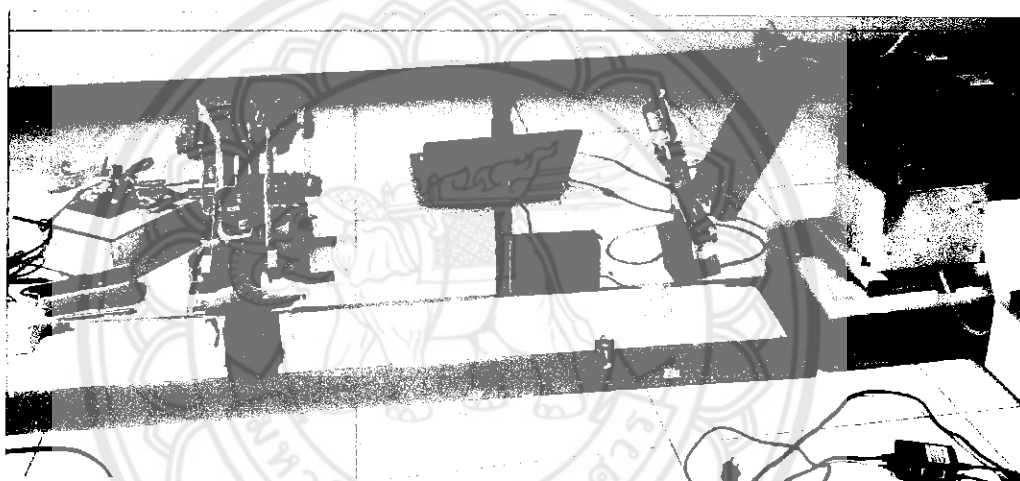
ตารางที่ 4.5 ผลการทดลองการเคลื่อนข้าวต่ำจากแนวระดับหนึ่งไปยังแนวระดับหนึ่ง

ครั้งที่	ส่วนฐาน 90 องศา (องศา)	แขนท่อน บน 450องศา (องศา)	แขนท่อนล่าง 30 องศา (องศา)	ระบบความคลาด เคลื่อนในแนว ระดับเฉลี่ย (เซนติเมตร)	เวลาการทำงาน (วินาที)
1	+5	+2	+1	0.7	95
2	+5	+2	+1	0.7	93
3	+5	+2	+1	0.7	96
4	+5	+2	+1	0.7	95
5	+5	+2	+1	0.7	95
เบอร์เซ็นต์ คลาดเคลื่อนเฉลี่ย	5.56 %	4.44%	3.33%	0.7	94.8

จากการทดลองเคลื่อนข้ายวดถูกในตำแหน่งที่ต่างระดับจะเห็นได้ว่าร้อยละความคลาดเคลื่อนของ การวางแผนอยู่ระหว่าง 0.7-0.8 เซนติเมตร ซึ่งเกิดมากจากความคลาดเคลื่อนในการหมุนของฐาน หุ้นยนต์ แบบท่อนบน แขนท่อนล่าง ส่งผลให้เกิดความคลาดเคลื่อนจากจุดที่กำหนดไว้

4.2.4 การทดลองความแม่นยำในการจับสิ่งของบนสายพานลำเลียง โดยแบนกลสองตัว

การทดลองนี้เป็นการทดลองความสามารถการทำงานความแม่นยำในการจับสิ่งของบน สายพานม้วงในไรอิกตำแหน่งที่ต้องการ ซึ่งจะทำการทดลอง 3 ครั้ง โดยจะกำหนดให้หุ้นยนต์อยู่ใน ตำแหน่งเริ่มต้นทุกครั้ง และจะทำการจับสิ่งของบนสายพานม้วงไว้ในตำแหน่งที่ต้องการ โดยมีแบนกล อีกด้วยที่หน้าที่ให้บินสิ่งของม้วงบนสายพานรวมทั้งในแต่ละรอบจะมีการจับระยะเวลาการทำงานของ หุ้นยนต์ในแต่ละรอบ โดยลักษณะการทำงานแสดงดังรูปที่ 4.6 และผลการทดลองแสดงในตารางที่ 4.6



รูปที่ 4.6 การทำงานของหุ้นยนต์ในการจับสิ่งของบนสายพานลำเลียงทางสิ่งของบนสายพาน

ตารางที่ 4.6 ผลการทดลองความแม่นยำในการจับสิ่งของบนสายพานและเวลาในการทำงานของแบน กลสองตัว

ครั้งที่	ระยะความคลาดเคลื่อนในแนวระดับ(เซนติเมตร)	เวลาการทำงาน(วินาที)
1	1.9	105
2	1.5	108
3	2.0	110

จากการทดลองความแม่นยำในการจับสิ่งของบนสายพานลำเลียงปรากฏว่าในการจับวัดถูกแต่ละ ครั้งมีความคลาดเคลื่อนน้อยมากกล่องบนสายพานลำเลียงมีความระเอียดสูงจึงให้คอมพิวเตอร์นิการ

ประมวลข้าบ้างครั้งกีหุดก่อนจุดที่กำหนดคบงครั้งกีหุดหลังจุดที่กำหนดทำให้เกิดความคลาดเคลื่อน บ้างเล็กน้อยจึงส่งผลทำให้จันวัตถุแต่ละครั้งมีความคลาดเคลื่อนตามนา

นอกจากนั้นยังมีปัญหาของการเคลื่อนที่ของแขนกลที่ใช้จับสิ่งของออก ซึ่งมีความคลาดเคลื่อนอยู่เล็กน้อยทำให้ความคลาดเคลื่อนมากขึ้นไปกว่าการทำงานเมื่อสิ่งของไม่ได้วางบนสายพานลำเลียง



บทที่ 5

สรุปผลและข้อเสนอแนะ

จากการที่ได้ศึกษา ออกแบบ ทดสอบ และทำการปรับปรุงชื่นงานขึ้นเป็นหุ่นยนต์แขนกล อัตโนมัติโดยใช้ระยะเวลาดำเนินโครงการ 2 ภาคการศึกษาทำให้ทราบถึงปัญหาที่เกิดขึ้นจากการทำหุ่นยนต์แขนกลในบทนี้จะเป็นการสรุปผลที่ได้จากการทดลองโครงการ พร้อมเสนอแนะแนวทางในการดำเนินโครงการนี้ไปพัฒนาให้มีประสิทธิภาพมากยิ่งขึ้นต่อไป

5.1 สรุปผลการทดลองการทำางานหุ่นยนต์แขนกลอัตโนมัติ

โครงการหุ่นยนต์แขนกลอัตโนมัติเป็นการออกแบบและสร้างหุ่นยนต์แขนกลต้นแบบ อัตโนมัติขึ้นมาเพื่อทำการศึกษาลักษณะโครงสร้างและหลักการทำงานของหุ่นยนต์แขนกลอัตโนมัติ และการพัฒนาหุ่นยนต์ให้มีประสิทธิภาพมากยิ่งขึ้น โดยหุ่นยนต์แขนกลสามารถทำงานได้เองโดยอัตโนมัติโดยการเขียนโปรแกรมให้กับไมโครคอนโทรลเลอร์เพื่อควบคุมการทำงานของหุ่นยนต์ซึ่งหุ่นยนต์แขนกลอัตโนมัติสามารถจับจังหวัดจากทุกด้านไปยังอีกด้านหนึ่งได้โดยอัตโนมัติและยังสามารถเคลื่อนย้ายวัสดุทั้งในระนาบเดียวกันหรือย้ายวัสดุจากแนวระดับหนึ่งไปยังอีกระดับหนึ่งได้ ทั้งนี้ขึ้นอยู่ กับการเขียนโปรแกรมควบคุม โดยพื้นที่การทำงานสามารถหมุนได้ 200 องศารอบคัวองในแนวระดับ และหมุนได้ 150 องศาในแนวตั้ง ทั้งนี้การทดลองได้ถูกเขียนโปรแกรมควบคุมหุ่นยนต์แขนกล อัตโนมัติเกลื่อนที่ในแนวระนาบ การทดลองขับสั่งของบนสายพานลำเลียงและอีกการทดลองคือการขับ สั่งของจากระนาบหนึ่งไปว่างยังอีกระนาบหนึ่งผลที่ได้คือ หุ่นยนต์แขนกลอัตโนมัติสามารถจับวัสดุไป ทางในตำแหน่งที่ต้องการได้ตามโปรแกรมที่ตั้งเอาไว้ แต่เนื่องจากความควบคุมการหมุนของอัตโนมัติ มี ความคลาดเคลื่อนอยู่บ้างจึงทำให้เกิดความคลาดเคลื่อนในการหยิบขึ้นและวางกล่องบ้างเป็นบางครั้ง

ผลการทดลองที่ได้ทำให้สามารถสรุปขอบเขตการทำงานหุ่นยนต์แขนกลอัตโนมัติว่าหุ่นยนต์ สามารถทำงานได้ในพื้นที่รอบๆ หุ่นยนต์โดยการกำหนดขอบเขตและระยะเวลาการทำงานขึ้นอยู่กับ เขียนโปรแกรมควบคุมซึ่งจากผลการทดลองนั้นหุ่นยนต์แขนกลอัตโนมัติยังมีพิเศษพลาดบ้างบางจุด คือวัสดุ คังน้ำเงินมีการศึกษาและพัฒนาข้อด้อยของหุ่นยนต์เพื่อให้หุ่นยนต์มีศักยภาพที่สามารถเป็น ต้นแบบในการสร้างหุ่นยนต์แขนกลอัตโนมัติเพื่อใช้งานจริงได้

5.2 ปัญหาและข้อเสนอแนะ

5.2.1 ปัญหาที่พบจากการทำโครงการ

จากการเริ่มออกแบบสร้างและการทำการทดลองการทำางานของหุ่นยนต์แขนกลอัตโนมัติ เกิดปัญหาที่ทำการดำเนินโครงการต้องยกพร่องหลายปัญหาด้วยกันซึ่งสามารถจำแนกเป็นข้อๆ ได้ดังนี้

1. อุปกรณ์ที่ทำตัวโครงสร้างของหุ่นยนต์ห้าได้หากตามท้องตลาดและมีราคาแพงจึงทำให้เสียเวลาในหาวัสดุมาทำตัวโครงสร้างพอสมควรจึงทำให้โครงงานล่าช้า

2. เรื่องของหัวขับเคลื่อนการเคลื่อนที่ของหุ่นยนต์คือ มอเตอร์ไฟฟ้ากระแสตรงมีปัญหาในเรื่องมอเตอร์ไม่สามารถรับน้ำหนักของโครงสร้างของหุ่นยนต์ได้ จึงทำให้ต้องเปลี่ยนมอเตอร์ใหม่ให้มีการรับน้ำหนักที่เพิ่มขึ้นจากเดิม

3. เรื่องของมือจับหุ่นยนต์เป็นชิ้นส่วนที่มีปัญหาเบื่องที่สุดในการทำงาน เพราะมีชิ้นส่วนขนาดเล็กสร้างได้ยากและบังต้องมีความแข็งแรงในการนิ่งจับสิ่งของ

4. การจับสัญญาณพัลส์ที่ได้จากการเคลื่อนที่ของหุ่นยนต์ในส่วนของมือจับ แขนท่อนบน และแขนท่อนล่างมีความละเอียดไม่เพียงพอทำให้ความแม่นยำในการเคลื่อนที่ไปยังตำแหน่งต่างๆ ในแนวคืดและความแม่นยำในการจับวัตถุลดลง

5.5.2 ข้อเสนอแนะ

1. ควรวางแผนก่อนการทำงานว่าจะใช้อุปกรณ์อะไรในการทำโครงสร้างของหุ่นยนต์ แล้วควรเตรียมอุปกรณ์ไว้ก่อนที่จะเริ่มทำโครงสร้างให้ครบหรือเลือกใช้อุปกรณ์ที่หาซื้อได้ยากตามท้องตลาด

2. ในเรื่องการขับเคลื่อนของหุ่นยนต์ เราควรใช้มอเตอร์ที่มีแรงบิดที่เหมาะสมกับน้ำหนักของชิ้นงาน

3. ควรหาอุปกรณ์ที่ง่ายต่อการเขียนรูปและมีความแข็งแรงในการทำมือจับ

4. การควบคุมความเร็วของมอเตอร์เพื่อให้หุ่นยนต์สามารถเคลื่อนที่ยังตำแหน่งที่ถูกต้อง ควรมีการควบคุมความเร็วของมอเตอร์ขณะที่หุ่นยนต์เคลื่อนที่ชิ้นและลงให้มีความเร็วเท่ากัน ซึ่งสามารถควบคุมโดยทางค่านซอฟแวร์ โดยการอุดหนัณความกว้างของสัญญาณพัลส์ ซึ่งจะส่งผลให้ความคลาดเคลื่อนของตำแหน่งการเคลื่อนที่ลดลง

5. ในเรื่องของสัญญาณพัลส์ที่จับได้จากการเคลื่อนที่ของหุ่นยนต์ โดยชุดหัวเข้ารหัสแบบหมุนนี้ในส่วนของมือจับ แขนท่อนบนและแขนท่อนล่างยังให้ความละเอียดไม่เพียงพอ จึงควรหาชุดหัวเข้ารหัสแบบหมุนที่มีความละเอียดในการให้สัญญาณพัลส์ที่มากกว่านี้ โดยอาจใช้งานหัวเข้ารหัสที่ความละเอียดของสัญญาณพัลส์ต่อรอบเพิ่มมากขึ้น หรืออาจใช้หัวเข้ารหัสแบบหมุนสำเร็จรูปที่มีความละเอียดมากๆ และในส่วนของมือจับเราอาจใช้เซ็นเซอร์น้ำหนัก (Load Cell) มาเป็นตัวกำหนดแรงบีบในการจับวัตถุเพื่อให้มือจับสามารถจับวัตถุให้มั่นคงและมีความแม่นยำมากขึ้น

ทั้งนี้แนวทางในการแก้ปัญหาเพื่อเพิ่มศักยภาพการทำงานของหุ่นยนต์แขนกลอตตโนมัติเพื่อเป็นต้นแบบในการพัฒนาสร้างหุ่นยนต์ทำงานจริงการดำเนินธุรกิจที่ได้รับและความคุ้มค่าในการลงทุน แต่เนื่องจากโครงงานนี้สามารถนำไปเป็นตัวอย่างทั่วไปในเรื่องของการศึกษา และการใช้งานจริงได้

จึงควรมีการศึกษาและพัฒนาสร้างต่อเพื่อให้เกิดประโยชน์ในเรื่องของการศึกษาและพัฒนาประเทศต่อไป

5.5.3 แนวทางการพัฒนาต่อ

1. สามารถทำให้แขนกลทำงานให้มีการทำงานแม่นยำมากขึ้น โดยอาจเปลี่ยนจากระบบควบคุมในโกรคอนโทรลเดอร์ไปเป็นระบบ PID Control
2. เพิ่มศักยภาพในการทำงานของแขนกล เช่น การติดกล้องเพื่อตรวจจับสิ่งของ ทั้งรูปทรง ขนาด หรือสี โดยการควบคุมผ่านคอมพิวเตอร์
3. ลดเบอร์เซ็นท์ความคลาดเคลื่อนในการเคลื่อนที่ของแขนกลให้น้อยที่สุด ในแต่ละล่วง
4. พัฒนามือจับให้มีศักยภาพมากขึ้น ทั้งในด้านการจับวัสดุ ให้เร็วขึ้น ความครอบคลุมในการจับวัสดุ
5. เพิ่มความสามารถในการหยับจับวัสดุที่มีน้ำหนักมากขึ้นของแขนกล



เอกสารอ้างอิง

- [1] <http://www.theoldrobots.com/scorbot.html> สืบค้นเมื่อ สิงหาคม 2556
- [2] <http://www.cp.eng.chula.ac.th/~attawith/class/mani.pdf> สืบค้นเมื่อ กันยายน 2556
- [3] http://www.nxp.com/documents/data_sheet/HEF4051B.pdf สืบค้นเมื่อ พฤศจิกายน 2556
- [4] <http://www.thaieasyelec.com/electronics-in-chapter/UART-TTL-RS232-MAX232-MAX3232.html> สืบค้นเมื่อ พฤศจิกายน 2556
- [5] นายดอนสัน ปงพาณ “ไมโครคอนโทรลเลอร์และการประยุกต์ใช้งาน 1”สำนักพิมพ์ สมาคมส่งเสริมเทคโนโลยี (ไทย-ญี่ปุ่น), 2549
- [6] <http://dk.coe.psu.ac.th/assign/encoder/intro/intro02.htm> สืบค้นเมื่อ ตุลาคม 2556
- [7] <http://www.etteam.com/product/02A26.html> สืบค้นเมื่อ พฤศจิกายน 2556
- [8] <http://www.mind-tek.net/8051.php> สืบค้นเมื่อ ธันวาคม 2556
- [9] http://www.hobbyengineering.com/specs/SOLARBOTICS-KCMD-L298_Compact_motor_driver.pdf สืบค้นเมื่อ ธันวาคม 2556
- [10] นายชวัชชัย อัตตวิมูลย์กุล “เครื่องกลไฟฟ้ากระแสตรง”, บริษัทเจริญรุ่งเรืองการพิมพ์, กรุงเทพฯ

ภาคผนวก ก

รายละเอียดของวงจรรวมเบอร์ L298

มหาวิทยาลัยนเรศวร



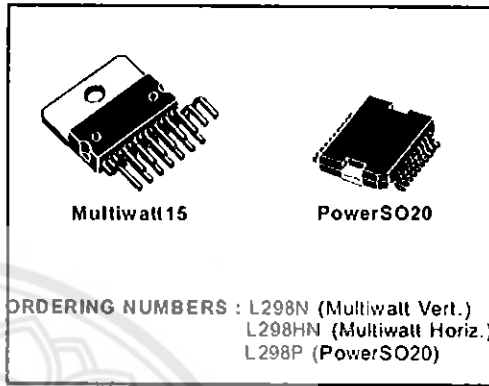
L298

DUAL FULL-BRIDGE DRIVER

- OPERATING SUPPLY VOLTAGE UP TO 46 V
- TOTAL DC CURRENT UP TO 4 A
- LOW SATURATION VOLTAGE
- OVERTEMPERATURE PROTECTION
- LOGICAL "0" INPUT VOLTAGE UP TO 1.5 V
(HIGH NOISE IMMUNITY)

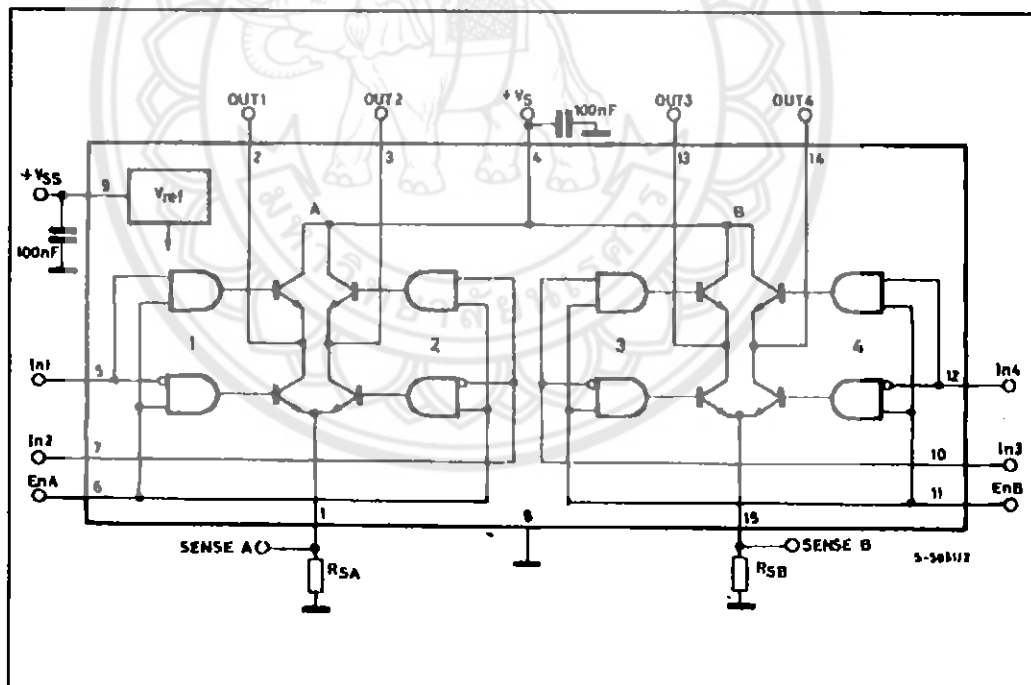
DESCRIPTION

The L298 is an integrated monolithic circuit in a 15-lead Multiwall and PowerSO20 packages. It is a high voltage, high current dual full-bridge driver designed to accept standard TTL logic levels and drive inductive loads such as relays, solenoids, DC and stepping motors. Two enable inputs are provided to enable or disable the device independently of the input signals. The emitters of the lower transistors of each bridge are connected together and the corresponding external terminal can be used for the connection of an external sensing resistor. An additional supply input is provided so that the logic works at a lower voltage.



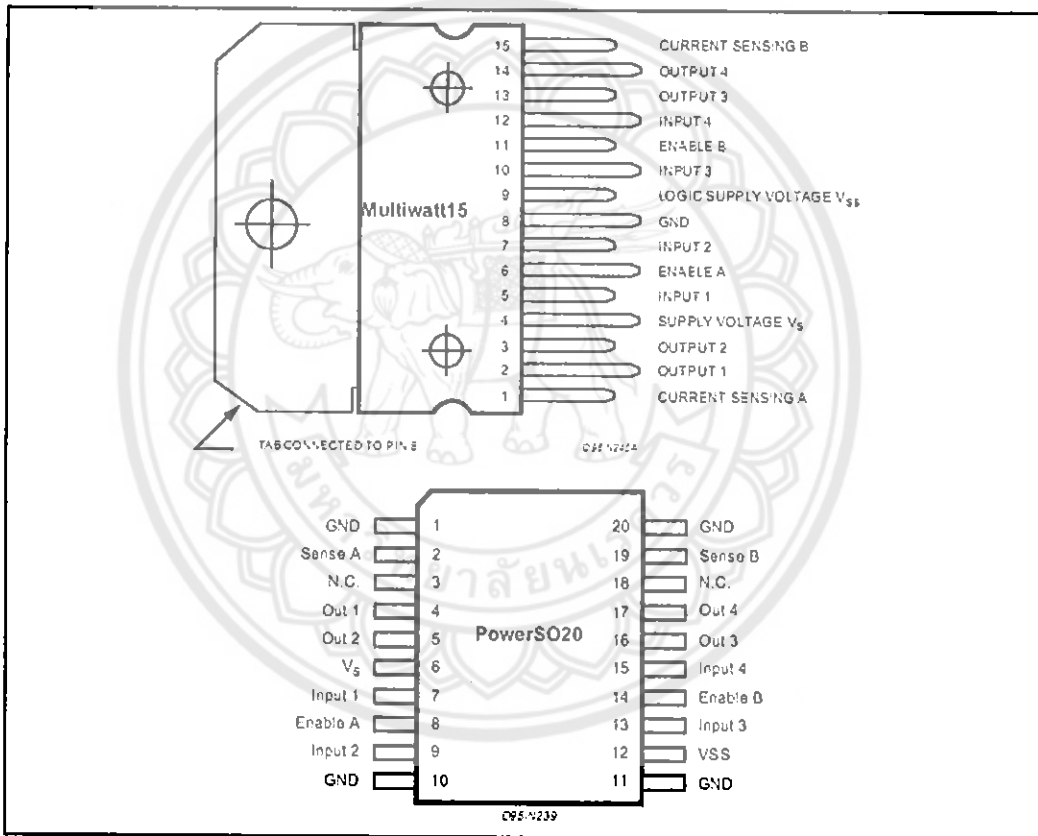
ORDERING NUMBERS : L298N (Multiwall Vert.)
L298HN (Multiwall Horiz.)
L298P (PowerSO20)

BLOCK DIAGRAM



L298**ABSOLUTE MAXIMUM RATINGS**

Symbol	Parameter	Value	Unit
V_s	Power Supply	50	V
V_{ss}	Logic Supply Voltage	7	V
V_i, V_{en}	Input and Enable Voltage	-0.3 to 7	V
I_o	Peak Output Current (each Channel)		
	- Non Repetitive ($t = 100\mu s$)	3	A
	-Repetitive (80% on -20% off; $t_{on} = 10\mu s$)	2.5	A
	-DC Operation	2	A
V_{sens}	Sensing Voltage	-1 to 2.3	V
P_{tot}	Total Power Dissipation ($T_{case} = 75^\circ C$)	25	W
T_{op}	Junction Operating Temperature	-25 to 130	°C
T_{sg}, T_j	Storage and Junction Temperature	-40 to 150	°C

PIN CONNECTIONS (top view)**THERMAL DATA**

Symbol	Parameter	PowerSO20	Multiwatt15	Unit
$R_{th-j-case}$	Thermal Resistance Junction-case	Max.	—	$^{\circ}\text{C/W}$
$R_{th-j-amb}$	Thermal Resistance Junction-ambient	Max.	13 (*)	$^{\circ}\text{C/W}$

(*) Mounted on aluminum substrate

PIN FUNCTIONS (refer to the block diagram)

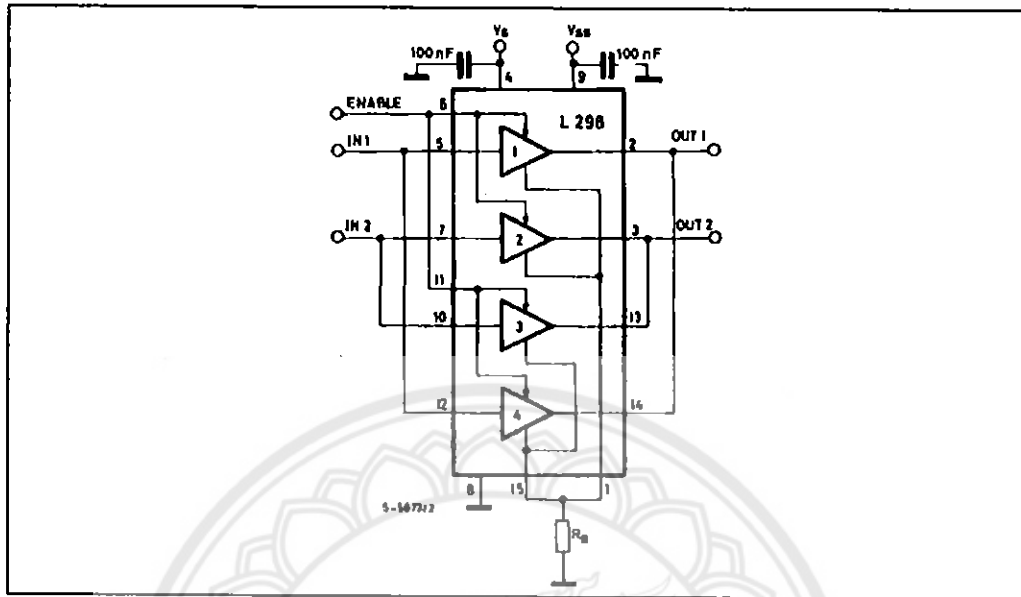
MW.15	PowerSO	Name	Function
1;15	2;19	Sense A; Sense B	Between this pin and ground is connected the sense resistor to control the current of the load.
2;3	4;5	Out 1; Out 2	Outputs of the Bridge A; the current that flows through the load connected between these two pins is monitored at pin 1.
4	6	V _s	Supply Voltage for the Power Output Stages. A non-inductive 100nF capacitor must be connected between this pin and ground.
5;7	7;9	Input 1; Input 2	TTL Compatible Inputs of the Bridge A.
6;11	8;14	Enable A; Enable B	TTL Compatible Enable Input: the L state disables the bridge A (enable A) and/or the bridge B (enable B).
8	1,10,11,20	GND	Ground.
9	12	V _{SS}	Supply Voltage for the Logic Blocks. A 100nF capacitor must be connected between this pin and ground.
10;12	13;15	Input 3; Input 4	TTL Compatible Inputs of the Bridge B.
13;14	16;17	Out 3; Out 4	Outputs of the Bridge B. The current that flows through the load connected between these two pins is monitored at pin 15.
-	3;18	N.C.	Not Connected

ELECTRICAL CHARACTERISTICS ($V_s = 42V$; $V_{SS} = 5V$; $T_j = 25^\circ C$; unless otherwise specified)

Symbol	Parameter	Test Conditions	Min.	Typ.	Max.	Unit
V_s	Supply Voltage (pin 4)	Operative Condition	$V_{IH} + 2.5$		46	V
V_{SS}	Logic Supply Voltage (pin 9)		4.5	5	7	V
I_s	Quiescent Supply Current (pin 4)	$V_{en} = H$; $I_L = 0$		13	22	mA
		$V_i = L$		50	70	mA
I_{ss}	Quiescent Current from V_{SS} (pin 9)	$V_{en} = L$			4	mA
		$V_i = X$				
		$V_{en} = H$		24	36	mA
I_L	Input Low Voltage (pins 5, 7, 10, 12)	$V_i = L$		7	12	mA
		$V_i = X$			6	mA
V_{IL}			-0.3		1.5	V
V_{IH}	Input High Voltage (pins 5, 7, 10, 12)		2.3		V_{SS}	V
I_L	Low Voltage Input Current (pins 5, 7, 10, 12)	$V_i = L$			-10	μA
I_H	High Voltage Input Current (pins 5, 7, 10, 12)	$V_i = H \leq V_{SS} - 0.6V$		30	100	μA
$V_{en} = L$	Enable Low Voltage (pins 6, 11)		-0.3		1.5	V
$V_{en} = H$	Enable High Voltage (pins 6, 11)		2.3		V_{SS}	V
$I_{en} = L$	Low Voltage Enable Current (pins 6, 11)	$V_{en} = L$			-10	μA
$I_{en} = H$	High Voltage Enable Current (pins 6, 11)	$V_{en} = H \leq V_{SS} - 0.6V$		30	100	μA
$V_{CEsat(H)}$	Source Saturation Voltage	$I_L = 1A$ $I_L = 2A$	0.95 2	1.36 2.7	1.7 2.7	V
$V_{CEsat(L)}$	Sink Saturation Voltage	$I_L = 1A$ (5) $I_L = 2A$ (5)	0.85 1.7	1.2 2.3	1.6 2.3	V
V_{CEsat}	Total Drop	$I_L = 1A$ (5) $I_L = 2A$ (5)	1.60		3.2 4.9	V
V_{sense}	Sensing Voltage (pins 1, 15)		-1 (1)		2	V

L298

Figure 7 : For higher currents, outputs can be paralleled. Take care to parallel channel 1 with channel 4 and channel 2 with channel 3.



APPLICATION INFORMATION (Refer to the block diagram)

1.1. POWER OUTPUT STAGE

The L298 integrates two power output stages (A; B). The power output stage is a bridge configuration and its outputs can drive an inductive load in common or differential mode, depending on the state of the inputs. The current that flows through the load comes out from the bridge at the sense output : an external resistor (R_{SA} ; R_{SB}) allows to detect the intensity of this current.

1.2. INPUT STAGE

Each bridge is driven by means of four gates the input of which are IN_1 ; IN_2 ; EN_A and IN_3 ; IN_4 ; EN_B . The IN inputs set the bridge state when The EN input is high; a lowstate of the EN input inhibits the bridge. All the inputs are TTL compatible.

2. SUGGESTIONS

A non inductive capacitor, usually of 100 nF, must be foreseen between both V_S and V_{SS} , to ground, as near as possible to GND pin. When the large capacitor of the power supply is too far from the IC, a second smaller one must be foreseen near the L298.

The sense resistor, not of a wire wound type, must be grounded near the negative pole of V_S that must be near the GND pin of the I.C.

Each input must be connected to the source of the driving signals by means of a very short path.

Turn-On and Turn-Off: Before to Turn-ON the Supply Voltage and before to Turn it OFF, the Enable input must be driven to the Low state.

3. APPLICATIONS

Fig 6 shows a bidirectional DC motor control Schematic Diagram for which only one bridge is needed. The external bridge of diodes D1 to D4 is made by four fast recovery elements ($t_{rr} \leq 200$ nsec) that must be chosen of a VF as low as possible at the worst case of the load current.

The sense output voltage can be used to control the current amplitude by chopping the inputs, or to provide overcurrent protection by switching low the enable input.

The brake function (Fast motor stop) requires that the Absolute Maximum Rating of 2 Amps must never be overcome.

When the repetitive peak current needed from the load is higher than 2 Amps, a paralleled configuration can be chosen (See Fig.7).

An external bridge of diodes are required when inductive loads are driven and when the inputs of the IC are chopped; Shottky diodes would be preferred.

L298

This solution can drive until 3 Amps in DC operation and until 3.5 Amps of a repetitive peak current.

On Fig 8 it is shown the driving of a two phase bipolar stepper motor ; the needed signals to drive the inputs of the L298 are generated, in this example, from the IC L297.

Fig 9 shows an example of P.C.B. designed for the application of Fig 8.

Figure 8 : Two Phase Bipolar Stepper Motor Circuit.

This circuit drives bipolar stepper motors with winding currents up to 2 A. The diodes are fast 2 A types.

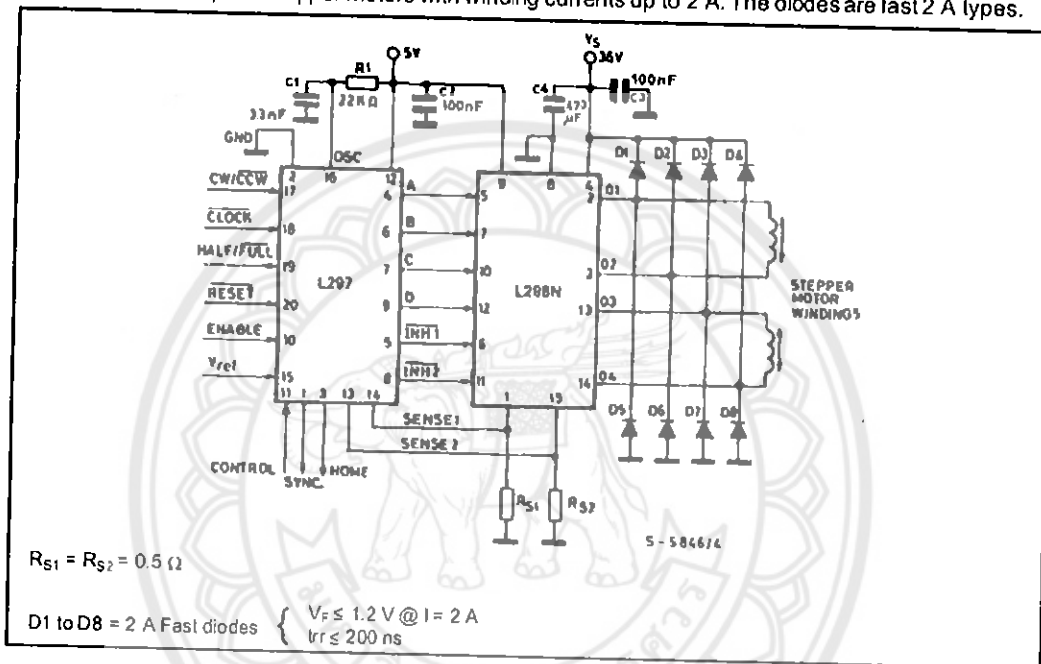


Fig 10 shows a second two phase bipolar stepper motor control circuit where the current is controlled by the I.C. L6506.

L298

Figure 9 : Suggested Printed Circuit Board Layout for the Circuit of fig. 8 (1:1 scale).

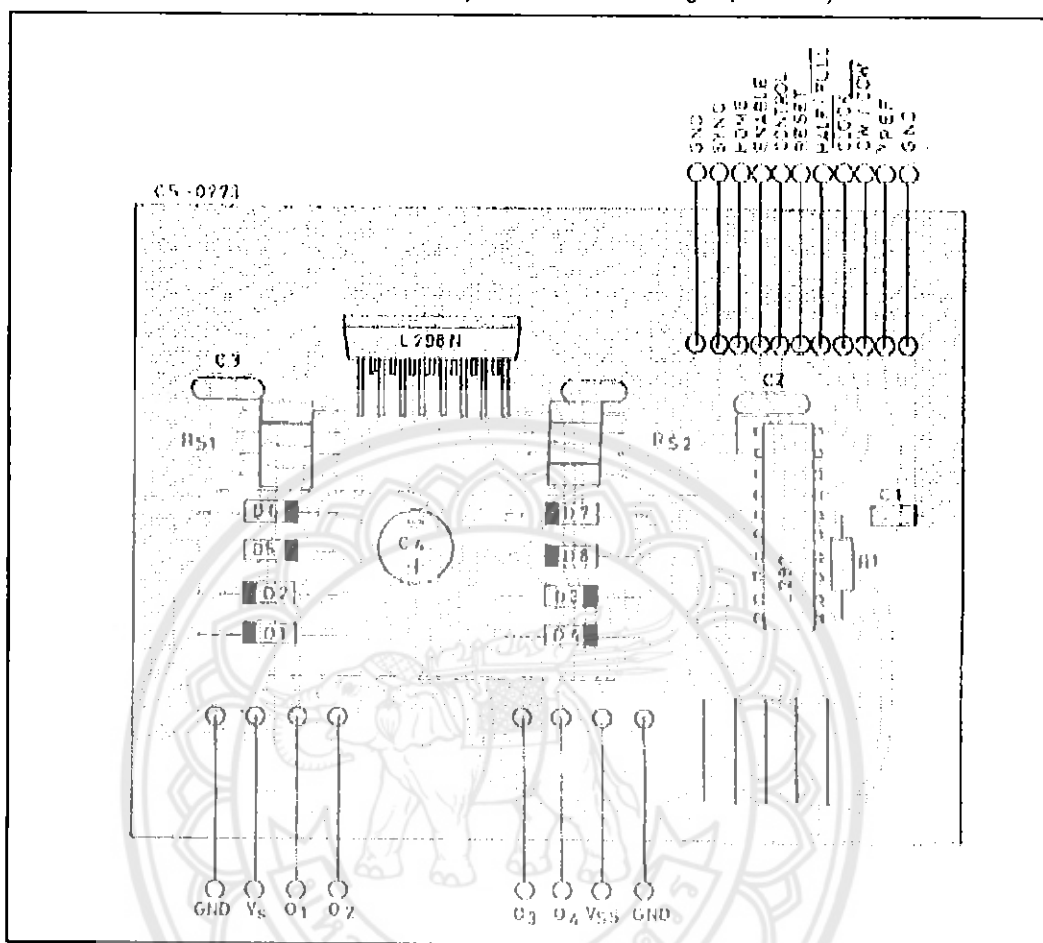
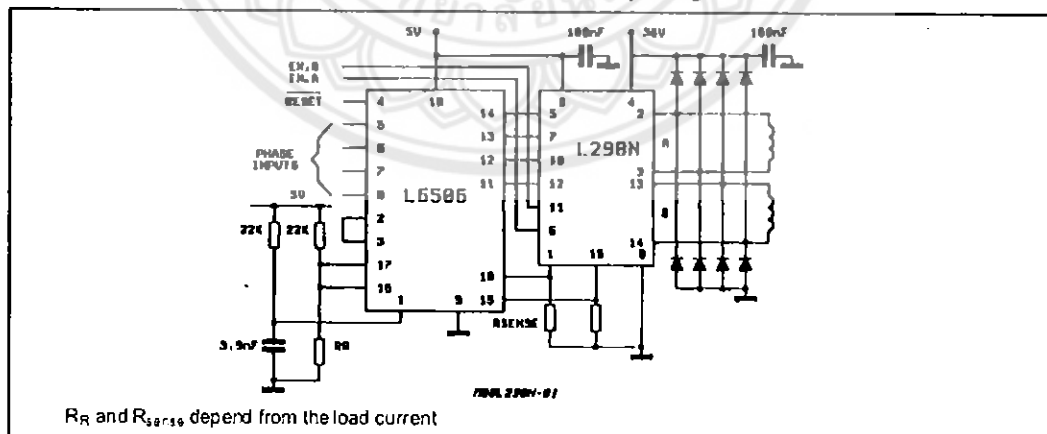


Figure 10 : Two Phase Bipolar Stepper Motor Control Circuit by Using the Current Controller L6506.







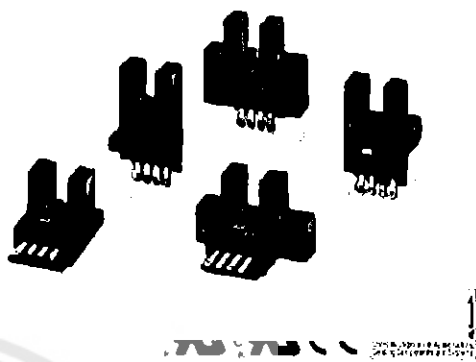
Back

Photomicrosensor

EE-SX67/47

Photomicrosensor with 50- to 100-mA Switching Capacity that can be Built into Equipment

- PNP output models newly added.
- Standard, L-shaped, T-shaped, and Close-mounting: Five series of models available.
- Select from thirty output variations, including Light-ON or Dark-ON/Light-ON (selectable) models.
- Response frequency as high as 1 kHz.
- Easy operation monitoring with bright light indicator.
- Wide operating voltage range from 5 to 24 VDC.
- Models (EE-SX670A and EE-SX670R) with operation indicators that are lit when sensing objects are detected (when light is interrupted) are available.



Ordering Information

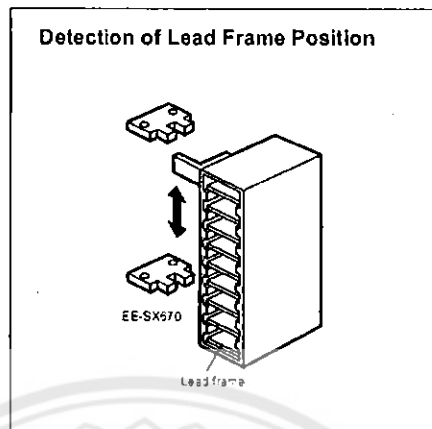
Appearance	Sensing method	Sensing distance	Output configuration	Model		Weight
				NPN	PNP	
Standard	Through-beam type (slot type)	5 mm (slot width)	Dark-ON/Light-ON (selectable) ^{*1}	EE-SX670	EE-SX670P	Approx. 3.1 g
			Light-ON	EE-SX470	EE-SX470P	
L-shaped			Dark-ON/Light-ON (selectable) ^{*1}	EE-SX671	EE-SX671P	Approx. 3.0 g
			Light-ON	EE-SX471	EE-SX471P	
T-shaped			Dark-ON/Light-ON (selectable) ^{*1}	EE-SX672	EE-SX672P	Approx. 2.4 g
			Light-ON	EE-SX472	EE-SX472P	
Close-mounting			Dark-ON/Light-ON (selectable) ^{*1}	EE-SX673	EE-SX673P	Approx. 2.3 g
			Light-ON	EE-SX473	EE-SX473P	
Close-mounting			Dark-ON/Light-ON (selectable) ^{*1}	EE-SX674	EE-SX674P	Approx. 3.0 g
			Light-ON	EE-SX474	EE-SX474P	

Note: *1. The Dark-ON/Light-ON (selectable) models can be used as Light-ON models when the L terminal and positive (+) terminal are short-circuited. An L terminal and positive (+) terminal short-circuit connector (EE-1001-1) is available.

*2. Models with a suffix "A," such as EE-SX670A, have a Dark-ON indicator that is lit when light is interrupted.

*3. Models with a suffix "R," such as EE-SX670R, have a Dark-ON indicator that is lit when light is interrupted.

Application Example

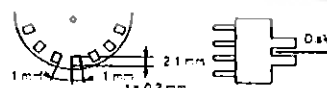


Specifications

■ Ratings

Item	Output	Standard	L-shaped	T-shaped	Close-mounting	
		NPN	EE-SX670 EE-SX670A EE-SX470	EE-SX671 EE-SX671A EE-SX471	EE-SX672 EE-SX672A EE-SX472	EE-SX673 EE-SX673A EE-SX473
	PNP		EE-SX670P EE-SX670R EE-SX470P	EE-SX671P EE-SX671R EE-SX471P	EE-SX672P EE-SX672R EE-SX472P	EE-SX673P EE-SX673R EE-SX473P
Sensing distance				5 mm (slot width)		
Standard sensing object				Opaque: 2 × 0.6 mm min		
Differential travel				0.025 mm		
Light source (peak wavelength)				GaAs infrared LED (940 nm)		
Receiver				Si phototransistor with a sensing wavelength of 850 nm max.		
Operation indicator (see note 1)				Operation indicator (red) lit with incident (Models with a suffix of "A" or "R" have Dark-ON indicators.)		
Power supply voltage				5 to 24 VDC ±10%, ripple (p-p): 10% max.		
Current consumption				35 mA max. (NPN), 30 mA max. (PNP)		
Control output				NPN open collector output model's: At 5 to 24 VDC: 100-mA load current (I_C) with a residual voltage of 0.8 V max. 40-mA load current (I_C) with a residual voltage of 0.4 V max. PNP open collector output model's: At 5 to 24 VDC: 50-mA load current (I_C) with a residual voltage of 1.3 V max.		
Response frequency (see note 2)				1 kHz max. (3 kHz average)		

Note: 1. The indicator is GaP red LED (peak emission wavelength: 690 nm).
2. The response frequency was measured by detecting the following rotating disks.



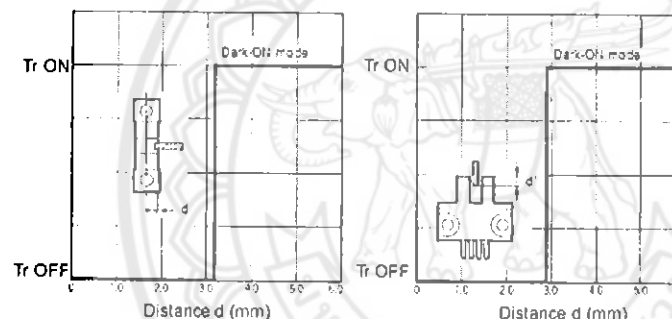
EE-SX67/47 ————— **OMRON** ————— **EE-SX67/47**

■ Characteristics

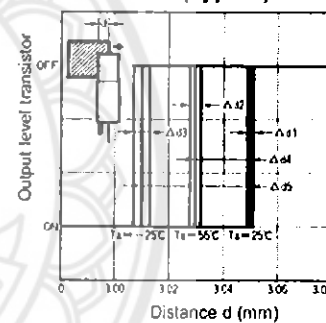
Item	Output	Standard	L-shaped	T-shaped	Close-mounting
		NPN	EE-SX670 EE-SX670A EE-SX470	EE-SX671 EE-SX671A EE-SX471	EE-SX672 EE-SX672A EE-SX472
PNP	EE-SX670P EE-SX670R EE-SX470P	EE-SX671P EE-SX671R EE-SX471P	EE-SX672P EE-SX672R EE-SX472P	EE-SX673P EE-SX673R EE-SX473P	EE-SX674P EE-SX674R EE-SX474P
Ambient illumination (on Receiver lens)	Fluorescent light: 1,000 lx max.				
Ambient temperature	Operating: -25° to 55°C Storage: -30° to 80°C				
Ambient humidity	Operating: 5% to 85% Storage: 5% to 95%				
Vibration resistance	Destruction: 20 to 2,000 Hz, (with a peak acceleration of 10G), 1.5-mm double amplitude for 2 hrs (with 4-minute cycles) each in X, Y, and Z directions				
Shock resistance	Destruction: 500 m/s ² (approx. 50G) for 3 times each in X, Y, and Z directions				
Degree of protection	IEC60529 IP50				
Connection method	Connector type (direct soldering possible)				
Weight	Approx. 3.1 g	Approx. 3.0 g	Approx. 2.4 g	Approx. 2.3 g	Approx. 3.0 g
Material	Case: Polybutylene phthalate (PBT), Cover: Polycarbonate (PC), Emitter/receiver: Polycarbonate (PC)				

Engineering Data

Sensing Position Characteristics (Typical)



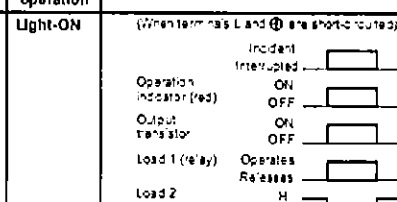
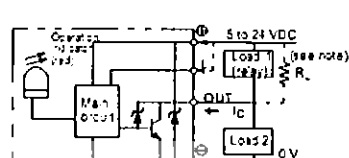
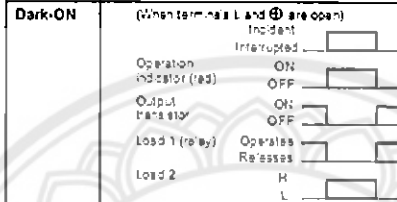
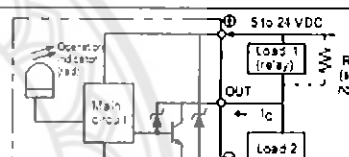
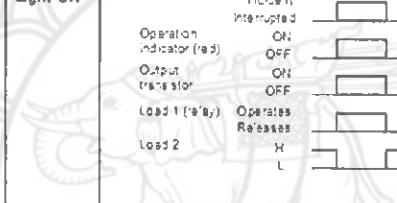
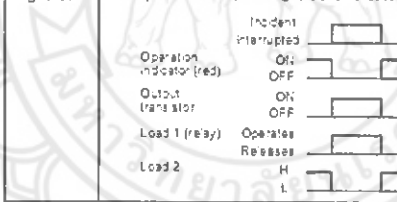
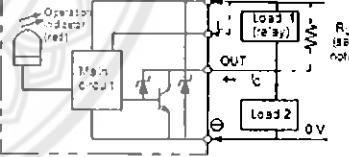
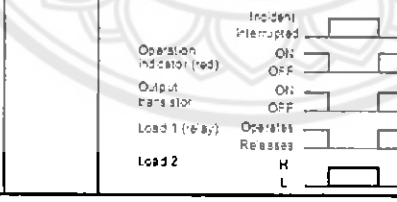
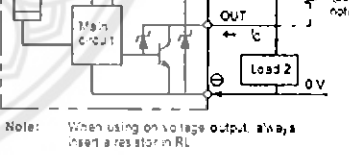
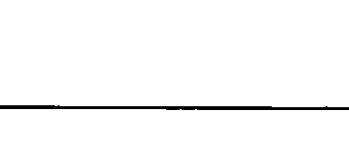
Repeated Sensing Position Characteristics (Typical)



$V_{cc} = 12\text{ V}$
 No. of repetitions: 20
 $\Delta d_1 = 0.002\text{ mm}$
 $\Delta d_2 = 0.004\text{ mm}$
 $\Delta d_3 = 0.005\text{ mm}$
 $\Delta d_4 = 0.02\text{ mm}$
 $\Delta d_5 = 0.04\text{ mm}$

Operation

■ Output Circuit Diagrams

Output configuration	Model	Output transistor operation	Timing Charts	Output Circuit
NPN Output	EE-SX670 EE-SX671 EE-SX672 EE-SX673 EE-SX674	Light-ON	(When terminals L and \oplus are short-circuited) 	 <p>Note: When using on voltage output, always insert a resistor in RL.</p>
		Dark-ON	(When terminals L and \oplus are open) 	 <p>Note: When using on voltage output, always insert a resistor in RL.</p>
	EE-SX470 EE-SX471 EE-SX472 EE-SX473 EE-SX474	Light-ON	(When terminals L and \oplus are short-circuited) 	 <p>Note: When using on voltage output, always insert a resistor in RL.</p>
		Dark-ON	(When terminals L and \oplus are open) 	 <p>Note: When using on voltage output, always insert a resistor in RL.</p>
	EE-SX670A EE-SX671A EE-SX672A EE-SX673A EE-SX674A	Light-ON	(When terminals L and \oplus are short-circuited) 	 <p>Note: When using on voltage output, always insert a resistor in RL.</p>
		Dark-ON	(When terminals L and \oplus are open) 	 <p>Note: When using on voltage output, always insert a resistor in RL.</p>

EE-SX67/47 — OMRON — EE-SX67/47

Output configuration	Model	Output transistor operation	Timing Charts	Output Circuit
PNP Output	EE-SX670P EE-SX671P EE-SX672P EE-SX673P EE-SX674P	Light-ON (When terminals L and \oplus are short-circuited)	Incident Interrupted Operation indicator (red) Output transistor Load (relay) Voltage output	
			ON OFF ON OFF Operates Releases H L	
		Dark-ON (When terminals L and \oplus are open)	Incident Interrupted Operation indicator (red) Output transistor Load 1 (relay) Load 2	
			ON OFF ON OFF Operates Releases H L	
			Incident Interrupted Operation indicator (red) Output transistor Load (relay) Voltage output	
			ON OFF ON OFF Operates Releases H L	
	EE-SX470P EE-SX471P EE-SX472P EE-SX473P EE-SX474P	Light-ON (When terminals L and \oplus are short-circuited)	Incident Interrupted Operation indicator (red) Output transistor Load (relay) Voltage output	
			ON OFF ON OFF Operates Releases H L	
		Dark-ON (When terminals L and \oplus are open)	Incident Interrupted Operation indicator (red) Output transistor Load (relay) Voltage output	
			ON OFF ON OFF Operates Releases H L	
			Incident Interrupted Operation indicator (red) Output transistor Load (relay) Voltage output	
			ON OFF ON OFF Operates Releases H L	
			Incident Interrupted Operation indicator (red) Output transistor Load (relay) Voltage output	
			ON OFF ON OFF Operates Releases H L	

ภาคพนวก ก

รายละเอียดของงานจราจรแบบร' CD4051-3B

มหาวิทยาลัยนเรศวร



Data sheet acquired from Harris Semiconductor
SCMS047G

CD4051B, CD4052B, CD4053B

August 1998 - Revised October 2003

Features

- Wide Range of Digital and Analog Signal Levels
 - Digital 3V to 20V
 - Analog ±20V_{p,p}
- Low ON Resistance, 125Ω (Typ) Over 15V_{p,p} Signal Input Range for V_{DD}-V_{EE} = 18V
- High OFF Resistance, Channel Leakage of ±100pA (Typ) at V_{DD}-V_{EE} = 18V
- Logic-Level Conversion for Digital Addressing Signals of 3V to 20V (V_{DD}-V_{SS} = 3V to 20V) to Switch Analog Signals to 20V_{p,p} (V_{DD}-V_{EE} = 20V)
- Matched Switch Characteristics, r_{ON} = 5Ω (Typ) for V_{DD}-V_{EE} = 15V
- Very Low Quiescent Power Dissipation Under All Digital Control Input and Supply Conditions, 0.2μW (Typ) at V_{DD}-V_{SS} = V_{DD}-V_{EE} = 10V
- Binary Address Decoding on Chip
- 5V, 10V, and 15V Parametric Ratings
- 100% Tested for Quiescent Current at 20V
- Maximum Input Current of 1μA at 18V Over Full Package Temperature Range, 100nA at 18V and 25°C
- Break-Before-Make Switching Eliminates Channel Overlap

Applications

- Analog and Digital Multiplexing and Demultiplexing
- A/D and D/A Conversion
- Signal Gating

CMOS Analog Multiplexers/Demultiplexers with Logic Level Conversion

The CD4051B, CD4052B, and CD4053B analog multiplexers are digitally-controlled analog switches having low ON impedance and very low OFF leakage current. Control of analog signals up to 20V_{p,p} can be achieved by digital signal amplitudes of 4.5V to 20V (if V_{DD}-V_{SS} = 3V, a V_{DD}-V_{EE} of up to 13V can be controlled; for V_{DD}-V_{EE} level differences above 13V, a V_{DD}-V_{SS} of at least 4.5V is required). For example, if V_{DD} = +4.5V, V_{SS} = 0V, and V_{EE} = +13.5V, analog signals from -13.5V to +4.5V can be controlled by digital inputs of 0V to 5V. These multiplexer circuits dissipate extremely low quiescent power over the full V_{DD}-V_{SS} and V_{DD}-V_{EE} supply-voltage ranges, independent of the logic state of the control signals. When a logic '1' is present at the inhibit input terminal, all channels are off.

The CD4051B is a single 8-Channel multiplexer having three binary control inputs, A, B, and C, and an inhibit input. The three binary signals select 1 of 8 channels to be turned on, and connect one of the 8 inputs to the output.

The CD4052B is a differential 4-Channel multiplexer having two binary control inputs, A and B, and an inhibit input. The two binary input signals select 1 of 4 pairs of channels to be turned on and connect the analog inputs to the outputs.

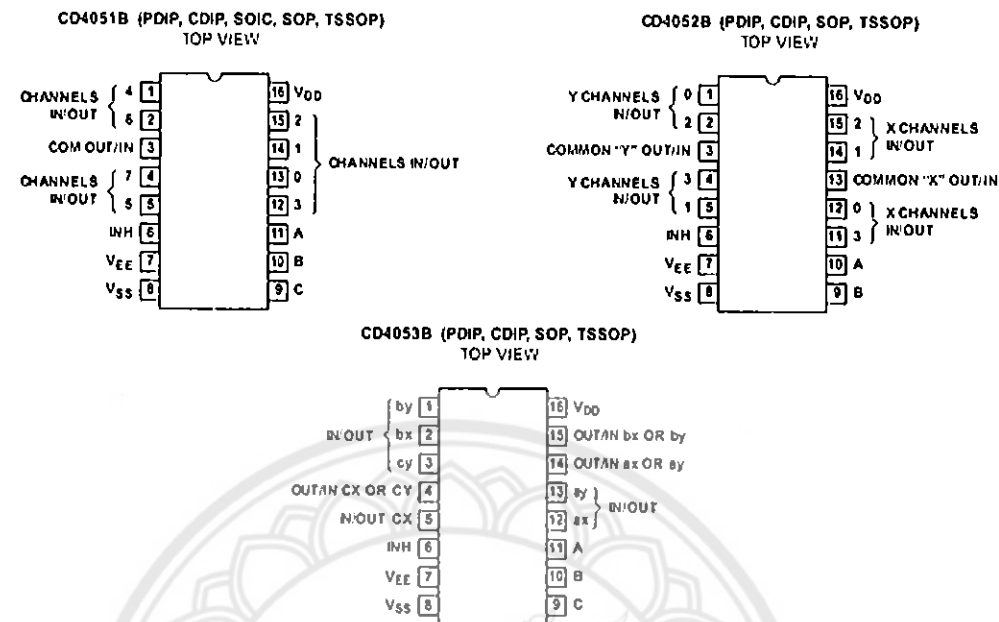
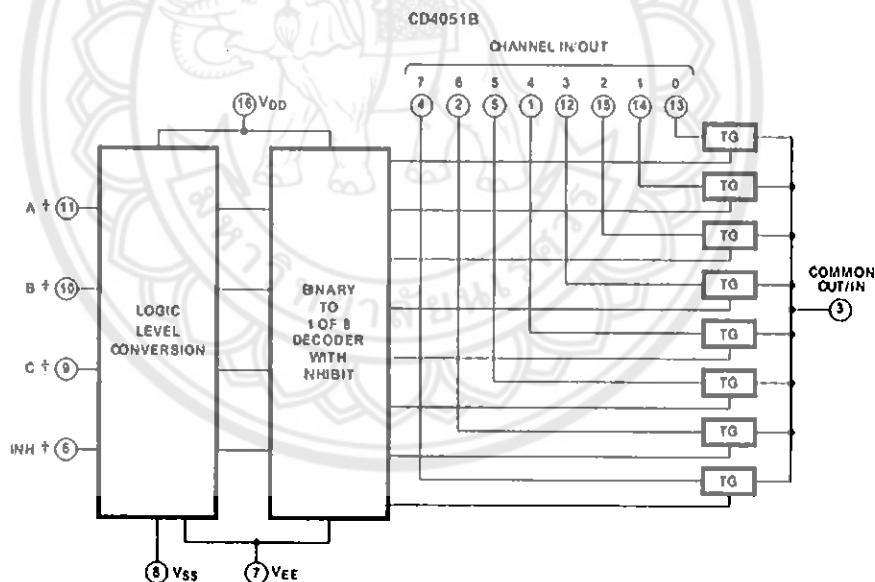
The CD4053B is a triple 2-Channel multiplexer having three separate digital control inputs, A, B, and C, and an inhibit input. Each control input selects one of a pair of channels which are connected in a single-pole, double-throw configuration.

When these devices are used as demultiplexers, the 'CHANNEL IN/OUT' terminals are the outputs and the 'COMMON OUT/IN' terminals are the inputs.

Ordering Information

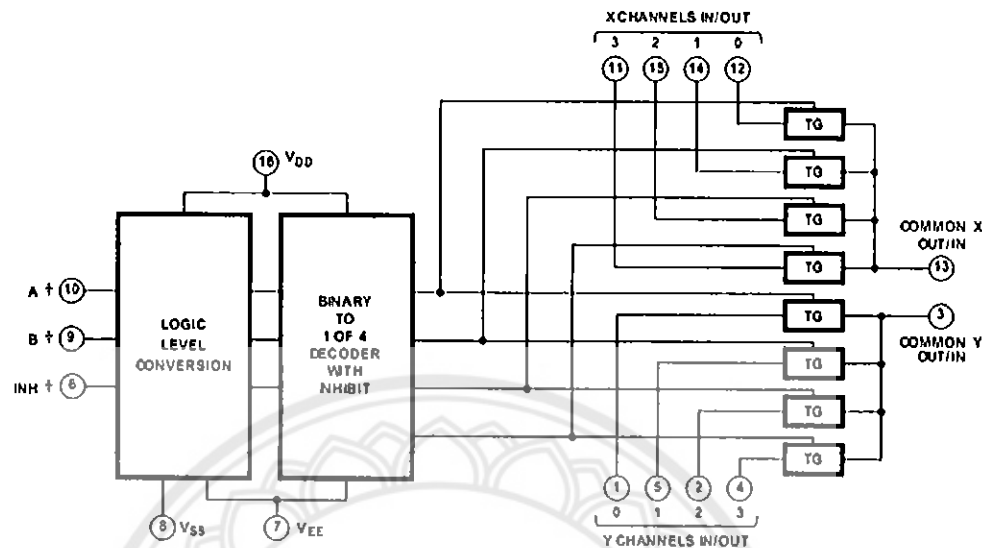
PART NUMBER	TEMP. RANGE (°C)	PACKAGE
CD4051BF3A, CD4052BF3A, CD4053BF3A	-55 to 125	16 Ld CERAMIC D-P
CD4051BE, CD4052BE, CD4053BE	-55 to 125	16 Ld PDIP
CD4051BM, CD4051BMT, CD4051BM96 CD4052BM, CD4052BMT, CD4052BM96 CD4053BM, CD4053BMT, CD4053BM96	-55 to 125	16 Ld SOIC
CD4051BNSR, CD4052BNSR, CD4053BNSR	-55 to 125	16 Ld SOP
CD4051BPW, CD4051BPWR, CD4052BPW, CD4052BPWR CD4053BPW, CD4053BPWR	-55 to 125	16 Ld TSSOP

NOTE: When ordering, use the entire part number. The suffixes 96 and R denote tape and reel. The suffix T denotes a small-quantity reel of 250.

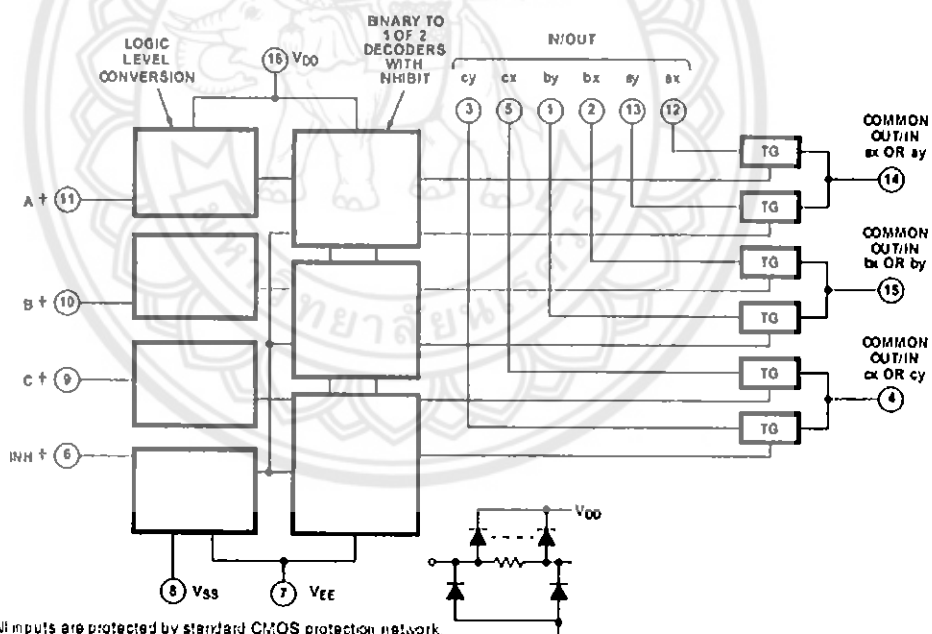
CD4051B, CD4052B, CD4053B**Pinouts****Functional Block Diagrams**

CD4051B, CD4052B, CD4053B**Functional Block Diagrams (Continued)**

CD4052B



CD4053B



CD4051B, CD4052B, CD4053B**TRUTH TABLES**

INPUT STATES				"ON" CHANNEL(S)
INHIBIT	C	B	A	
CD4051B				
0	0	0	0	0
0	0	0	1	1
0	0	1	0	2
0	0	1	1	3
0	1	0	0	4
0	1	0	1	5
0	1	1	0	6
0	1	1	1	7
1	X	X	X	None
CD4052B				
INHIBIT	B	A		
0	0	0		Qx, Qy
0	0	1		1x, 1y
0	1	0		2x, 2y
0	1	1		3x, 3y
1	X	X		None
CD4053B				
INHIBIT	A OR B OR C			
0	0			0x or bx or cx
0	1			0y or by or cy
1	X			None

X = Don't Care

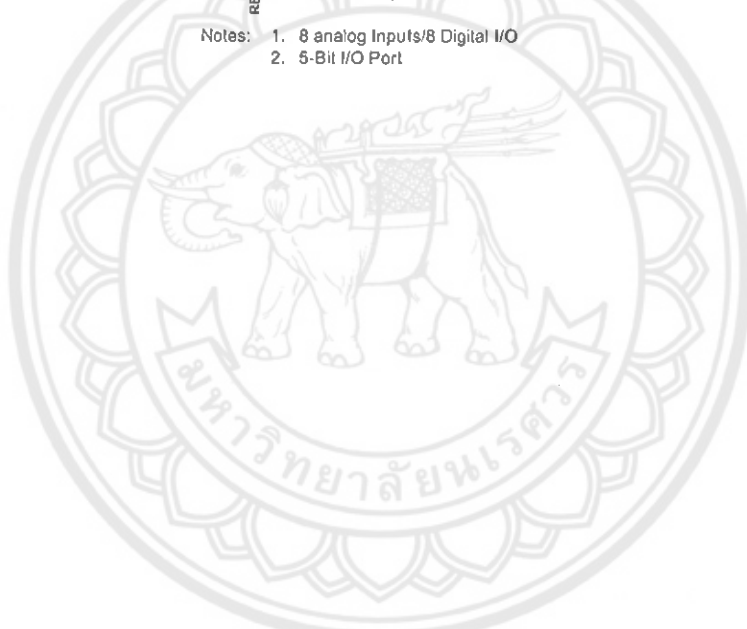
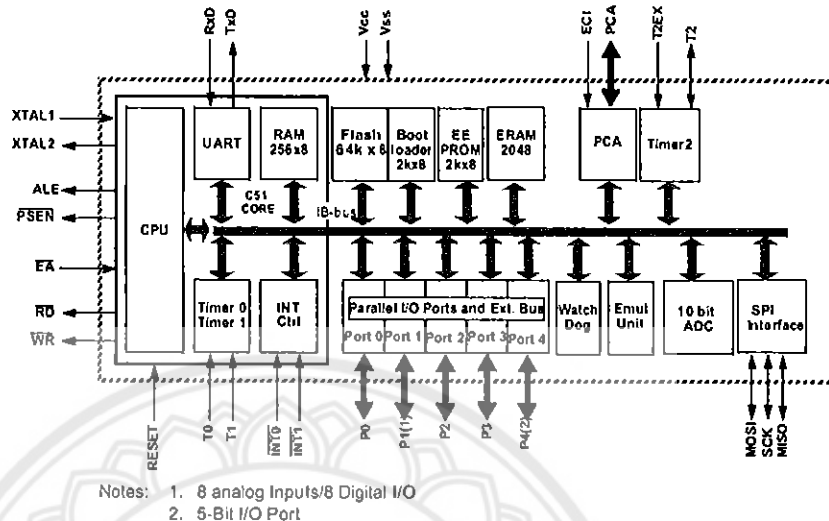
ภาคผนวก ง

รายละเอียดของไมโครโปรเซสเซอร์ รุ่น AT89C51AC3

มหาวิทยาลัยนเรศวร

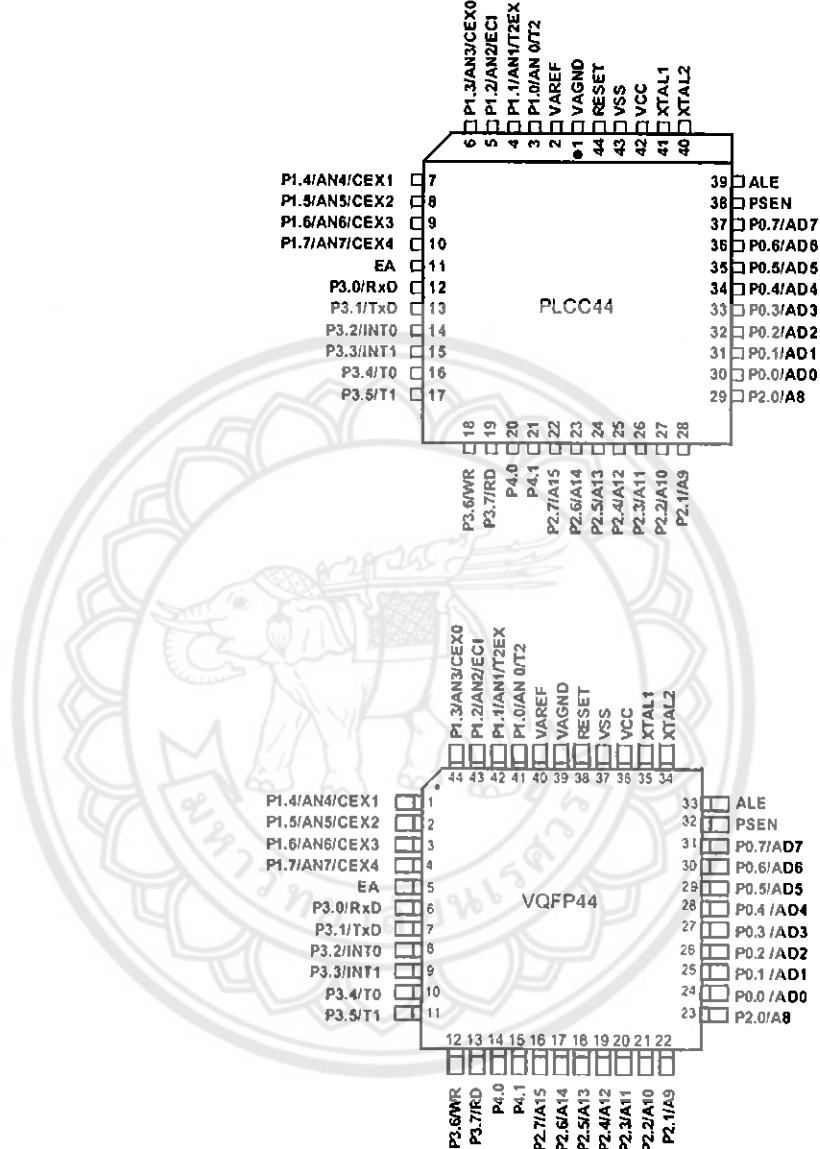


Block Diagram

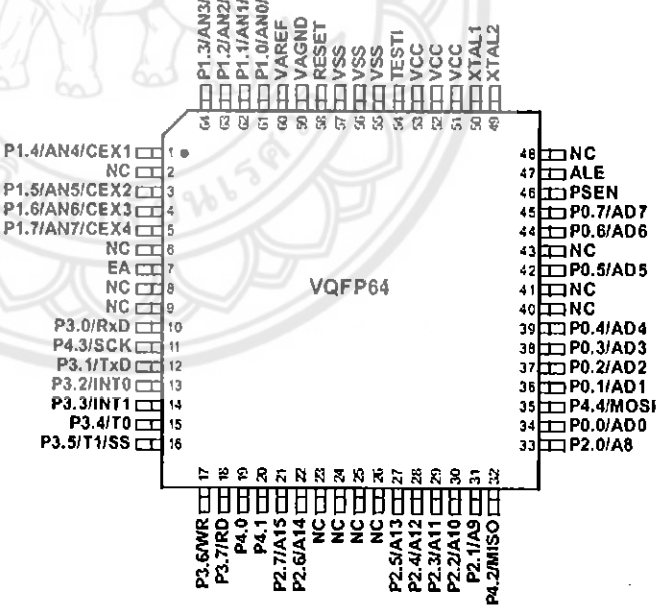
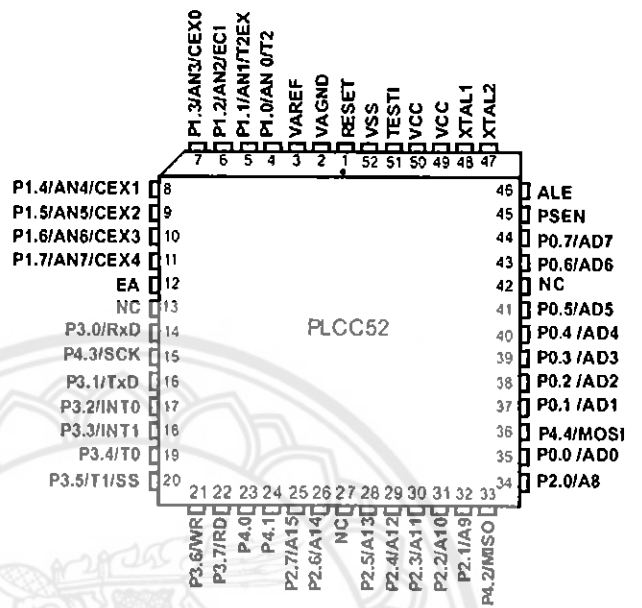


AT89C51AC3

Pin Configuration



AT89C51AC3



AT89C51AC3

Pin Name	Type	Description
VSS	GND	Circuit ground
TESTI	I	Must be connected to VSS
VCC		Supply Voltage
VAREF		Reference Voltage for ADC
VAGND		Reference Ground for ADC
P0:0:7	I/O	<p>Port 0: Is an 8-bit open drain bi-directional I/O port. Port 0 pins that have 1's written to them float, and in this state can be used as high-impedance inputs. Port 0 is also the multiplexed low-order address and data bus during accesses to external Program and Data Memory. In this application it uses strong internal pull-ups when emitting 1's. Port 0 also outputs the code Bytes during program validation. External pull-ups are required during program verification.</p>
P1:0:7	I/O	<p>Port 1: Is an 8-bit bi-directional I/O port with internal pull-ups. Port 1 pins can be used for digital input/output or as analog inputs for the Analog Digital Converter (ADC). Port 1 pins that have 1's written to them are pulled high by the internal pull-up transistors and can be used as inputs in this state. As inputs, Port 1 pins that are being pulled low externally will be the source of current (I_{L}, see section "Electrical Characteristic") because of the internal pull-ups. Port 1 pins are assigned to be used as analog inputs via the ADCCF register (in this case the internal pull-ups are disconnected). As a secondary digital function, port 1 contains the Timer 2 external trigger and clock input; the PCA external clock input and the PCA module I/O. P1.0/AN0/T2 Analog input channel 0, External clock input for Timer/counter2. P1.1/AN1/T2EX Analog input channel 1, Trigger input for Timer/counter2. P1.2/AN2/EC1 Analog input channel 2, PCA external clock input. P1.3/AN3/CEX0 Analog input channel 3, PCA module 0 Entry of input/PWM output. P1.4/AN4/CEX1 Analog input channel 4, PCA module 1 Entry of input/PWM output. P1.5/AN5/CEX2 Analog input channel 5, PCA module 2 Entry of input/PWM output. P1.6/AN6/CEX3 Analog input channel 6, PCA module 3 Entry of input/PWM output. P1.7/AN7/CEX4 Analog input channel 7, PCA module 4 Entry of input/PWM output. Port 1 receives the low-order address byte during EPROM programming and program verification. It can drive CMOS inputs without external pull-ups.</p>
P2:0:7	I/O	<p>Port 2: Is an 8-bit bi-directional I/O port with internal pull-ups. Port 2 pins that have 1's written to them are pulled high by the internal pull-ups and can be used as inputs in this state. As inputs, Port 2 pins that are being pulled low externally will be the source of current (I_{L}, see section "Electrical Characteristic") because of the internal pull-ups. Port 2 emits the high-order address byte during accesses to the external Program Memory and during accesses to external Data Memory that uses 16-bit addresses (MOVX @DPTR). In this application, it uses strong internal pull-ups when emitting 1's. During accesses to external Data Memory that use 8 bit addresses (MOVX @Ri), Port 2 transmits the contents of the P2 special function register. It also receives high-order addresses and control signals during program validation. It can drive CMOS inputs without external pull-ups.</p>

Pin Name	Type	Description
P3.0:7	I/O	<p>Port 3: Is an 8-bit bi-directional I/O port with internal pull-ups. Port 3 pins that have 1's written to them are pulled high by the internal pull-up transistors and can be used as inputs in this state. As inputs, Port 3 pins that are being pulled low externally will be a source of current (I_{IL}, see section "Electrical Characteristic") because of the internal pull-ups. The output latch corresponding to a secondary function must be programmed to one for that function to operate (except for TxD and WR). The secondary functions are assigned to the pins of port 3 as follows:</p> <p>P3.0/RxD: Receiver data input (asynchronous) or data input/output (synchronous) of the serial interface P3.1/TxD: Transmitter data output (asynchronous) or clock output (synchronous) of the serial interface P3.2/INT0: External interrupt 0 input/timer 0 gate control input P3.3/INT1: External interrupt 1 input/timer 1 gate control input P3.4/T0: Timer 0 counter input P3.5/T1/SS: Timer 1 counter input SPI Slave Select P3.6/WR: External Data Memory write strobe; latches the data byte from port 0 into the external data memory P3.7/RD: External Data Memory read strobe; Enables the external data memory. It can drive CMOS inputs without external pull-ups.</p>
P4.0:4	I/O	<p>Port 4: Is an 2-bit bi-directional I/O port with internal pull-ups. Port 4 pins that have 1's written to them are pulled high by the internal pull-ups and can be used as inputs in this state. As inputs, Port 4 pins that are being pulled low externally will be a source of current (I_{IL}, on the datasheet) because of the internal pull-up transistor. The secondary functions are assigned to the 5 pins of port 4 as follows:</p> <p>P4.0: Regular Port I/O P4.1: Regular Port I/O P4.2/MSO: Master Input Slave Output of SPI controller P4.3/SCK: Serial Clock of SPI controller P4.4/MOSI: Master Output Slave Input of SPI controller It can drive CMOS inputs without external pull-ups.</p>

ประวัติผู้ดำเนินโครงการ

ชื่อ นายจริกาท พันธุ์ทอง

ภูมิลำเนา 128 หมู่ 5 ต.ครีกิริม อ.พรหมพิราม จ.พิษณุโลก 65180

ประวัติการศึกษา

- จบระดับมัธยมศึกษาจากโรงเรียนมัธยมสาธิต
มหาวิทยาลัยนเรศวร
- ปัจจุบันกำลังศึกษาในระดับปริญญาตรีชั้นปีที่ 4
สาขาวิชาวิศวกรรมไฟฟ้า คณะวิศวกรรมศาสตร์
มหาวิทยาลัยนเรศวร

E-mail: jraphat_ae_ft@hotmail.com

ชื่อ นายณัฐพล ดีเกตุ

ภูมิลำเนา 63/1 หมู่ 9 ต.นาต่อง อ.พรหมพิราม จ.พิษณุโลก 65180

ประวัติการศึกษา

- จบระดับมัธยมศึกษาจากโรงเรียนพระมหาวิทยา
- ปัจจุบันกำลังศึกษาในระดับปริญญาตรีชั้นปีที่ 4
สาขาวิชาวิศวกรรมไฟฟ้า คณะวิศวกรรมศาสตร์
มหาวิทยาลัยนเรศวร

E-mail: nuttapond53@email.nu.ac.th

ชื่อ นายปริญญา เขตสنان

ภูมิลำเนา 60 หมู่ที่ 6 ต.โพนงาม อ.กมลาไสย จ.กาฬสินธุ์ 46130

ประวัติการศึกษา

- จบระดับมัธยมศึกษาจากโรงเรียนกนกลาไส
- ปัจจุบันกำลังศึกษาในระดับปริญญาตรีชั้นปีที่ 4
สาขาวิชาวิศวกรรมไฟฟ้า คณะวิศวกรรมศาสตร์
มหาวิทยาลัยนเรศวร

E-mail: parin_parinya@hotmail.com